Universität Ulm

Zentrum für Innere Medizin

Medizinische Klinik I Ärztlicher Direktor: Prof. Dr. med. G. Adler Schwerpunkt Endokrinologie, Diabetes und Stoffwechsel Schwerpunktleiter: Prof. Dr. med. B. O. Böhm

Immunglobulin G-Isotypen der Autoantikörper gegen Glutamatdecarboxylase 65

Dissertation

zur Erlangung des Doktorgrades der Medizin der Medizinischen Fakultät der Universität Ulm

vorgelegt von

Christiane Michaela Heinrich

aus Landsberg am Lech

2008

Amtierender Dekan: Prof. Dr. med. Klaus-Michael Debatin

1. Berichterstatter: Prof. Dr. med. B. O. Böhm

2. Berichterstatter: Prof. Dr. med. R. W. Holl

Tag der Promotion: 20.11.2008

Meiner Familie in Dankbarkeit gewidmet.

<u>Inhaltsverzeichnis</u>

	14			
Inha	Itev	10r7 <i>c</i>	NICH	nie
Inha	11121	CI ZC	7161	แแจ

Ab	kurzur	ıasverz	eichnis	ŝ

1	Einleitung	g und Fragestellung	1
	1.1 Einleitu	ung	1
	1.2 Frages	tellung	13
2	Material u	ınd Methoden	15
	2.1 Probar	nden	15
	2.2 Versuc	hsdurchführung	15
	2.2.1	Aufbereitung des Probandenmaterials	15
	2.2.2	Enzyme-Linked Immunosorbent Assay (ELISA)	16
	2.2.3	Multiplex Cytokine-Assay	19
	2.3 Statisti	k	22
3	Ergebnis	se	23
	3.1 Probar	nden	23
	3.2 GAD65	-Antikörper	24
	3.2.1	Deskriptive Statistik	24
	3.2.2	Korrelation GAD65 ELISA mit RIA	26
	3.2.3	Korrelation RIA und GAD65 ELISA mit T1D- Manifestationsalter	29
	3.3 Zytokir	ne	33
	3.3.1	Deskriptive Statistik	33
	3.3.2	Korrelation Zytokine mit T1D-Manifestationsalter und Geschlecht	36
	3.3.3	Korrelation der Zytokine untereinander	40
	3.4 Korrela	ation der Zytokine mit GAD65-Antikörper	44
	3.4.1	Korrelation der Zytokine mit GADA (RIA), GADA (ELISA) – Bivariater Test	44
	3.4.2	Korrelation unterschiedlicher Zytokine mit Geschlecht, Manifestationsalter, Diabetesdauer, GADA (RIA) und GADA (ELISA) – Multivariate Testmodelle	44

	• 4		
Inha	Itsve	rzeic	hnıs

4	Diskussion	46
	4.1 Zusammenfassung der Ergebnisse	46
	4.1.1 Antikörper	46
	4.1.2 Zytokine	50
	4.1.3 Antikörper und Zytokine	54
	4.1.4 Probleme bei der Arbeit	55
	4.2 Erklärungsmodelle - Immunnetzwerk	57
	4.3 Schlussfolgerung	58
5	Zusammenfassung	59
6	Literaturverzeichnis	61
7	Abbildungsverzeichnis	77
8	Tabellenverzeichnis	79
9	Anhang	80
10	Danksagung	102
11	Lebenslauf	104

Abkürzungsverzeichnis

aa Aminosäure (amino acid)

ABTS 2,2'-Azinobis-(3-ethylbenzthiazolin-6-sulfonsäure)

ADBW Arbeitsgemeinschaft Diabetologie Baden Württemberg

APS Autoimmunes Polyglanduläres Syndrom

EBV Epstein-Barr-Virus

ELISA Enzyme-Linked ImmunoSorbent Assay

FACS Fluorescence Activating Cell Sorter

GABA Gamma-Aminobuttersäure (Gamma-aminobutyric acid)

GAD Glutamatdecarboxylase

GAD65 Glutamatdecarboxylase 65kD

GADA Autoantikörper gegen Glutamatdecarboxylase

G-CSF Granulozytes-Colony Stimulating Factor

GLUT-2 Glucosetransporter-2

GM-CSF Granulozytes and Monozytes-Colony Stimulating Factor

HLA Human Leucocyte Antigen

HRP Horseradish Peroxidase

I Insulin

IA-2 Tyrosinphosphatase

IA2-Ab Autoantikörper gegen Tyrosinphosphatase

IAA Insulin-Autoantikörper

ICA Islet Cell Antibody (Antikörper gegen Inselzellgewebe)

IDDM Insulin Dependent Diabetes Mellitus

IDF International Diabetes Federation

IFN-γ Interferon gamma

Ig Immunglobulin

IL Interleukin

IL-1b Interleukin 1b

IL-2 Interleukin 2

IL-4 Interleukin 4

IL-5 Interleukin 5

IL-6 Interleukin 6

IL-7 Interleukin 7

IL-8 Interleukin 8

IL-10 Interleukin 10

IL-12 Interleukin 12

IL-13 Interleukin 13

IL-17 Interleukin 17

Inc. Incorporation

kDa Kilodalton

LADA Latent Autoimmune Diabetes in Adults

MCP-1 Monocyte Chemoattractant Protein-1

MHC Major Histocompatibility Complex

MICA Monoclonal Islet Cell Antibodies

MIP-1β Macrophage Inflammatory Protein 1 beta

MP Microplate

MW Mittelwert

n.b. nicht bekannt

NK-Zellen Natürliche Killerzellen

NO Stickstoffmonoxid

p Irrtumswahrscheinlichkeit

PE Phycoerythrin

PTP Protein-Tyrosine-Phosphatase

r Spearman Korrelationskoeffizient

RIA Radioimmunoassay

Abkürzungsverzeichnis

RNA Ribonucleinsäure

rpm rounds per minute (Umdrehungen pro Minute)

RT Raumtemperatur

SPIDM Slowly Progressing Insulin Dependent Diabetes Mellitus

T1D Typ 1 Diabetes mellitus

T2D Typ 2 Diabetes mellitus

TNF-α Tumor Nekrose Faktor alpha

U Units

UU Ulm Units

W Well

WHO World Health Organization

1 Einleitung und Fragestellung

1.1 Einleitung

Diabetes mellitus ist die häufigste chronische Stoffwechselerkrankung [34]. Nach neuesten Daten der Internationalen Diabetes-Föderation (IDF) wird die Zahl der Diabetes-Patienten weltweit aktuell auf 246 Millionen Menschen geschätzt [54]. Ein Anstieg auf bis zu 380 Millionen Diabetes-Patienten wird für die kommenden 20 Jahre vorausgesagt [54].

Diabetes ist "die größte Epidemie in der Geschichte der Menschheit" verdeutlichte der derzeitige IDF-Präsident Martin Silink diese alarmierenden Zahlen [134].

In Deutschland wird die Prävalenz von Diabetes mellitus derzeit auf 8 Millionen Betroffene geschätzt [43].

Einteilung des Diabetes mellitus

Diabetes mellitus umfasst eine Gruppe von metabolischen Störungen, welche durch eine Hyperglykämie charakterisiert ist [111].

Es gibt zwei Hauptkategorien des Diabetes mellitus, den Diabetes mellitus Typ 1 (T1D) und den Diabetes mellitus Typ 2 (T2D).

T1D entsteht als Folge einer zellulär mediierten, chronischen, irreversiblen Autoimmundestruktion der Insulin produzierenden β-Zellen des Pankreas [107]. Dieser Typ ist durch einen absoluten Insulinmangel charakterisiert [111]. Die Manifestation der Erkrankung findet in den meisten Fällen (ca. 70-80%) vor dem 35. Lebensjahr statt, wird jedoch auch zunehmend im höheren Alter beobachtet [107].

Im Gegensatz dazu beruht der T2D auf einer gestörten Insulinsekretion der pankreatischen β-Zellen und einer Insulinresistenz in den Zielgeweben der Insulinwirkung [107]. Hier spricht man von einem relativen Insulinmangel [107]. Meist ist der T2D mit einem sog. metabolischen Syndrom, d.h. stammbetonter Adipositas, Hypertonie und bzw. oder Dyslipoproteinämie, assoziiert [107]. Diese

Form des Diabetes manifestiert sich meist im höheren Lebensalter, wird jedoch in Folge des veränderten Essverhaltens und Bewegungsmangel auch immer häufiger bereits bei Jugendlichen gesehen [111].

In der vorliegenden Arbeit beschäftige ich mich mit dem immun-mediierten Diabetes mellitus Typ 1.

Typ 1 Diabetes kann in drei Subtypen unterteilt werden:

- Typ 1 Diabetes mit Manifestation im Kindes- und Jugendalter
- Typ 1 Diabetes mit Manifestation im Erwachsenenalter
- "Latent Autoimmune Diabetes in Adults" (LADA).

Diese Einteilung zeigt, dass der T1D in nahezu jedem Alter auftreten kann. Die Subtypen unterscheiden sich sowohl hinsichtlich ihres Phänotyps als auch der Krankheitssymptomatik (Tab. 1).

Tab. 1: Charakteristika der Typ 1 Diabetes Subklassen, T1D mit Manifestation im Kindes- und Jugendalter, T1D mit Manifestation im Erwachsenenalter und Latent Autoimmune Diabetes in Adults (LADA), und des Typ 2 Diabetes

	T1D mit Manifestation im Kindes- und Jugendalter	T1D mit Manifestation im Erwachsenen- alter	LADA	T2D
Erkrankungs- alter	im Kindes- und Jugendalter	im Erwachsenenalter	im Erwachsenenalter	im mittleren bis höheren Alter
Gewicht	normal	normal	normal bis übergewichtig	übergewichtig
Auftreten der Symptome	meist akut	meist akut	meist akut	meist langsam
Insulin- bedürftigkeit	von Anfang an	von Anfang an	nach einigen Monaten bis Jahren meist insulinbedürftig	erst im späteren Verlauf
Krankheits- zeichen	Polyurie, Polydipsie, Gewichtsverlust, Juckreiz, erhöhte Infektanfälligkeit, anhaltende Müdigkeit, Leistungsabfall	Polyurie, Polydipsie, Gewichtsverlust, Juckreiz, erhöhte Infektanfälligkeit, anhaltende Müdigkeit, Leistungsabfall	Beschwerden treten rascher als beim T2D auf, Krankheit schreitet bis zum Insulinmangel schneller voran.	wenig, bis gar keine Symptome, häufig Zufallsbefund
	Ketoazidose	Ketoazidose	Ketoazidose selten	Ketoazidose sehr selten

Sonderform LADA

Beim "Latent Autoimmune Diabetes in Adults" handelt es sich um eine Sonderform, die eigentlich zwischen dem T1D und dem T2D einzuordnen ist. Das Erscheinungsbild der Patienten ähnelt dem der T2D-Patienten, die genetischen und die immunologischen Merkmale entsprechen jedoch zu großen Teilen dem T1D [99].

LADA wird bei mehr als 10% der initial nicht insulinbedürftigen, und somit zunächst als Typ 2 diagnostizierten, Diabetespatienten gefunden. Diese Sonderform des Typ 1 Diabetes zeigt somit vermutlich eine höhere Prävalenz als der "klassische" T1D [83].

LADA wird durch drei klinische Merkmale definiert: der Patient muss zum Zeitpunkt der Diagnose des Diabetes älter als 30 Jahre sein, es müssen Diabetes-assoziierte Autoantikörper nachweisbar sein und der Patient sollte initial, für einen Zeitraum von mindestens sechs Monaten nach Diagnose, kein Insulin zur Therapie benötigen [35].

"Latent" steht bei LADA dafür, dass ohne eine Testung auf Diabetes-assoziierte Antikörper es nicht möglich wäre zu erkennen, dass es sich um autoimmunen Diabetes handelt. "Adult" wurde gewählt, da man davon ausging, dass diese Diabetesform nur bei Erwachsenen vorkommt [84].

Diese Form des Diabetes wurde früher auch "Slowly Progressing Insulin Dependent Diabetes" (SPIDM) [73] oder "Typ 1.5 Diabetes" [99] genannt.

Ätiologie des Typ 1 Diabetes

Typ 1 Diabetes mellitus entsteht auf der Grundlage einer genetischen Prädisposition. Zusätzlich triggern verschiedene Umweltfaktoren den Beginn von autoimmunologischen Prozessen, die zur Zerstörung der pankreatischen β-Zellen und schließlich zur Manifestation des T1D führen.

Genetische Faktoren

Bei der Entstehung des T1D spielt die genetische Prädisposition eine bedeutende Rolle.

Es ist bekannt, dass etwa 5-10 % der T1D-Patienten eine positive Familienanamnese aufweisen [17]. Verwandte ersten Grades tragen ein höheres Risiko an T1D zu erkranken, als Personen aus der allgemeinen Bevölkerung (ca. 5-6% gegenüber ca. 0,4%) [122]. Des Weiteren wurde gezeigt, dass monozygote Zwillinge eine deutlich höhere Konkordanz für die Erkrankung (30-40%) aufweisen als dizygote Zwillinge (6%) [101, 117].

Die T1D-Entstehung ist v.a. mit den Genen des sog. "Major-Histocompatibility-Complex" (MHC) auf Chromosom 6p21 des menschlichen Genoms (IDDM1) assoziiert [7, 20, 27, 147]. Es sind die "Human Leucocyte Antigen" (HLA)-Klasse-II-Allele, die etwa 60-70% der genetischen Prädisposition zum T1D ausmachen [70]. Das höchste genetische Risiko für Typ 1 Diabetes ist mit den Genotypen DRB1*0401/DQB1*0302 und DRB1*0301/DQB1*0201 verbunden [155].

Mittlerweile sind mehr als 20 verschiedene weitere genetische Loci mit der Entstehung des T1D in Verbindung gebracht worden.

Umweltfaktoren

Neben der genetischen Prädisposition steht auch der Einfluss von exogenen Faktoren in Zusammenhang mit der Ätiologie des T1D. Untersuchungen an Zwillingen zeigten, dass nur bei 30-40% von monozygoten Zwillingen beide Geschwister an T1D erkranken [101, 117]. Wenn dabei der erste Zwilling erst nach dem 25. Lebensjahr die Erkrankung entwickelt, ergibt sich sogar nur eine Konkordanz von 5% [167]. Diese Ergebnisse lassen auf einen nicht unerheblichen Einfluss von Umweltfaktoren bezüglich der Manifestation eines T1D schließen.

Der Typ 1 Diabetes weist eine steigende Inzidenz auf. Einige Studien konnten zeigen, dass diese Zunahme des T1D nicht in allen Altersklassen gleichmäßig verteilt ist, sondern, dass vielmehr ein deutlicher Shift zu einer Manifestation im jüngeren Alter beobachtet werden kann [113, 160]. Diese Veränderungen geschehen zu schnell, um durch eine Veränderung im Genpool erklärt werden zu können. Sie scheinen wohl vielmehr das Ergebnis von Veränderungen in unserer Umwelt zu sein [37, 45].

Eine sehr häufig diskutierte These stellt der Einfluss von Virusinfektionen auf die Entwicklung von T1D dar. In frisch manifestierten T1D-Patienten konnten in epidemiologischen Untersuchungen gehäuft Virusantikörper gefunden werden [141]. Es werden Zusammenhänge mit Enteroviren, Rotaviren, Rubellaviren, Zytomegalieviren, Epstein-Barr-Viren bzw. Retroviren vermutet [25, 52, 100, 104, 170, 171, 172]. Als möglicher Pathomechanismus im T1D wird das sogenannte "Molecular Mimicry" diskutiert. Unter "Molecular Mimicry" versteht man, dass Moleküle auf der Oberfläche von Krankheitserregern körpereigenen Molekülen ähneln oder mit ihnen identisch sind, sogenannte Sequenzhomologien. Werden diese Moleküle vom Immunsystem als Antigen erkannt, kann sich die darauf folgende Immunreaktion nicht nur gegen den Erreger, sondern auch gegen körpereigenes Gewebe richten. Dieser Vorgang wird auch Kreuzreaktion genannt und gilt als eine der Ursachen zur Entwicklung von Autoimmunerkrankungen.

Sequenzhomolgien wurden z.B. zwischen den Cocksackie-B4-Viren und dem T1D-assoziierten Autoantigen Glutamatdecarboxylase (GAD65) entdeckt [3, 68]. Auch zwischen dem Virusprotein 7 des Rotavirus und einem weiteren T1D-assoziierten Autoantigen, der Tyrosinphosphatase (IA-2), finden sich strukturelle Ähnlichkeiten [47, 48]. Durch die Studie von *Richter et al.* wurde diese Hypothese des "Molecular Mimicry" jedoch in Frage gestellt. Es konnte dabei keine Kreuzreaktivität von Autoantikörpern zwischen dem Coxsackie-B4-2C Protein und der Glutamatdecarboxylase festgestellt werden [118].

Neben Viren wurden auch Nahrungsbestandteile, Impfungen, klimatische Faktoren, Toxine, wie z.B. Nitrosamine, und Stress als exogene Trigger zur Entstehung des T1D genannt [25, 26, 32, 72, 159].

Obwohl extensive Forschung zu diesen Einflussfaktoren betrieben wird, konnte noch kein exogenes Agens definitiv als triggernder Faktor für den T1D bewiesen werden.

Pathogenese des Typ 1 Diabetes:

Typ 1 Diabetes ist eine Autoimmunerkrankung, die durch T-zell vermittelte Zerstörung der insulinproduzierenden β -Zellen in den pankreatischen Inseln verursacht wird [23].

Die genetische Prädisposition stellt eine Voraussetzung für die Entstehung des T1D dar. Ein auslösender Faktor führt zum Beginn der autoimmunen β -Zelldestruktion. Es kommt zu einer vollständigen Infiltration der Inseln durch pathogene T-Zellen, aber auch von B-Zellen und Makrophagen. Bereits in dieser Phase, der sog. prädiabetischen Phase, können Inselzellantikörper und Insulin-Autoantikörper auftreten. Sobald mehr als 80-90% der β -Zellen ihre Funktion verloren haben kommt es zur klinischen Manifestation der Erkrankung (Abb. 1). [111]

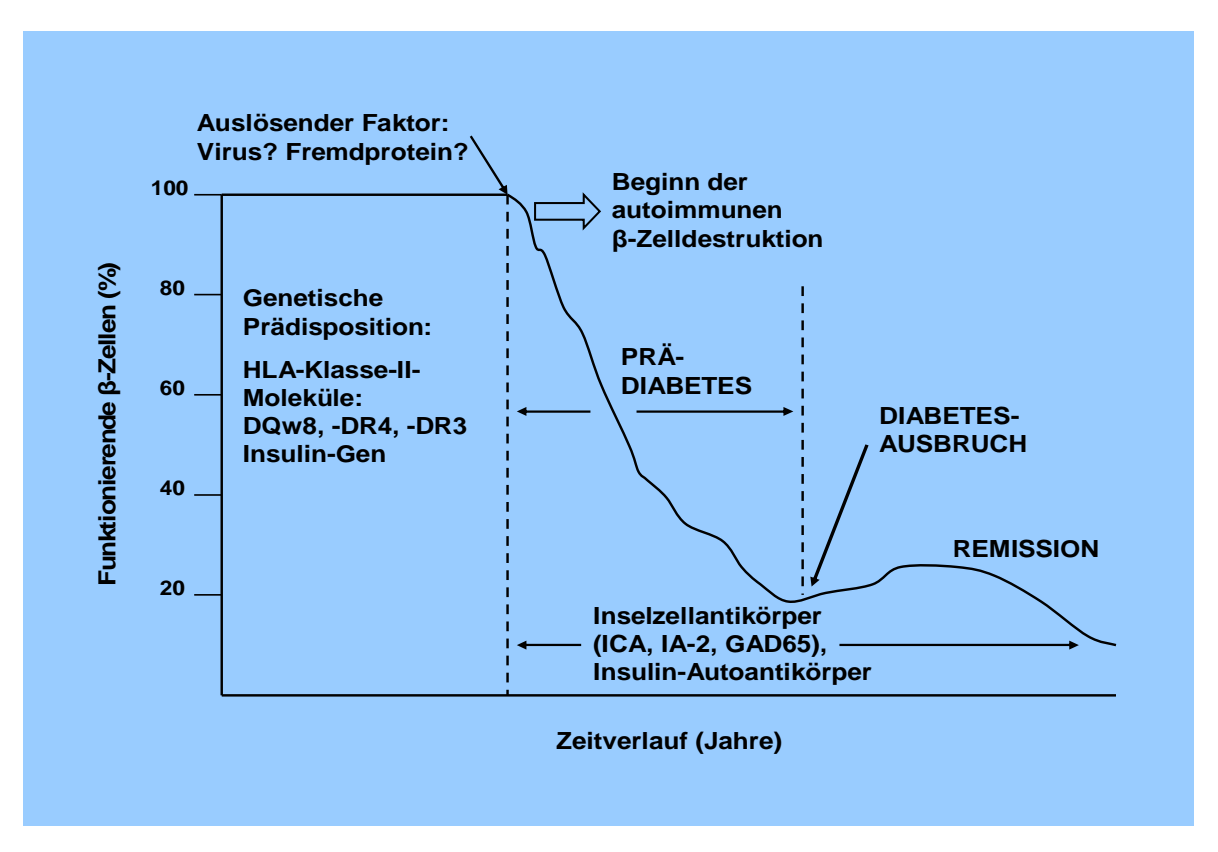


Abb. 1: Hypothetisches Modell zur T1D-Entstehung
HLA = Human Leucocyte Antigen, ICA = Islet cell Antibody (Antikörper gegen Inselzellgewebe), IA-2 = Tyrosinphosphatase, GAD65 = Glutamatdecarboxylase 65;
Modifiziert nach Spinas GA, Lehmann R: Der Diabetes mellitus: Diagnose, Klassifikation und Pathogenese. Schweiz Med Forum 20: 519-525 (2001) [140]

Bei T1D-Manifestation ist somit die Mehrzahl der pankreatischen Inseln zerstört. Die Primärprävention der Erkrankung erfordert daher eine frühzeitige Erkennung der Immunprozesse und ein zeitiges Eingreifen in die fortschreitende Zerstörung der insulinproduzierenden Zellen.

Bei der Pathogenese des T1D sind verschiedene Immunphänomene beteiligt: Die Zerstörung der pankreatischen β-Zellen ist durch humorale und zelluläre Autoimmunphänomene gekennzeichnet.

Exogene wie endogene Antigene werden durch antigenpräsentierende Zellen (dendritische Zellen, B-Lymphozyten und Makrophagen) über MHC-Klasse-I bzw. MHC-Klasse-II Moleküle den CD8+ bzw. CD4+ T-Zellen präsentiert. Autoreaktive T-Zellen werden im Thymus durch negative Selektion eliminiert, so dass eine Immunität gegenüber körpereigenen Zellen im Vorfeld ausgeschlossen sein müsste. In peripheren lymphatischen Geweben wird eine Autoreaktivität zusätzlich durch den Mechanismus der peripheren Toleranz (Ignoranz, Anergie, regulatorische T-Zellen [T_{req}]) überwacht.

Es wird angenommen, dass bei der Entstehung des T1D ein genetisch bedingter Defekt in der T-Zell-Toleranz vorhanden ist, der dazu führt, dass autoantigenspezifische CD8+ T-Effektorzellen in der Peripherie vorhanden sind [76]. In tierexperimentellen Studien wurde auch den CD4+ Th1-Zellen eine zentrale Rolle in der Pathogenese des T1D zugesprochen [77, 98].

Die T-Zell Reaktionen sind dabei gegen verschiedene Antigene der pankreatischen β-Zellen, sog. Autoantigene, gerichtet. *Bottazzo et al.* fanden im Jahr 1974 Antikörper, die gegen Bestandteile der Pankreasinseln gerichtet sind und als sog. Zytoplasmatische Inselzell-Antikörper (ICA) bekannt wurden [13]. Bis heute konnten viele Antigene gefunden werden, die von den sog. ICA erkannt werden (Tab. 2). Die Hauptautoantigene sind dabei Glutamatdecarboxylase 65 (GAD65), Thyrosinphosphatase IA-2 und Insulin (I) [81].

Tab. 2: Auflistung der bei Typ 1 Diabetes entdeckten Autoantigene

Autoantigen	Autor, Jahr	Quelle
Glutamatdecarboxylase 65	Baekkeskov, 1990	[4]
Tyrosinphosphatase IA-2	Lan, 1994	[79]
Insulin	Palmer, 1983	[105]
Heat-Shock-Protein-65	Jones, 1990	[62]
Carboxypeptidase H	Castano, 1991	[18]
ICA 69	Pietropaolo, 1993	[109]
GLUT-2	Inman, 1993	[53]
SOX-13 (ICA-12)	Kasimiotis, 2000	[65]
Sulfatide	Buschard, 1993	[15]

Der Prozess, der im T1D zur Bildung von Inselzell-Autoantikörpern führt, ist größtenteils unbekannt. *Jury et al.* konnten zeigen, dass bei der Produktion von GAD65-Autoantikörpern die antigenabhängige B-Zell-Aktivierung eine bedeutende Rolle spielt [63]. B-Zellen benötigen die Hilfe von CD4+ Th2-Zellen und die von ihnen sezernierten Zytokine IL-4, IL-5 und IL-6, um sich zu Plasmazellen differenzieren zu können und die Antikörperproduktion aufzunehmen [58].

Annähernd alle T1D-Patienten unter 30 Jahre haben mindestens einen der Hauptautoantikörper. Nach dem 30. Lebensjahr sind nur noch etwa 40% der Patienten autoantikörperpositiv [123].

Ob die Inselzell-Antikörper eine direkte Rolle im autoimmunen Netzwerk des T1D spielen oder lediglich einen unspezifischen Nebeneffekt der Inselzellzerstörung darstellen, ist dabei noch unklar [119].

Die Detektion der Autoantikörper zum Zeitpunkt der T1D-Manifestation kann eine Aussicht auf die Progressivität der Erkrankung geben [149]. GAD65-Antikörper und Protein-Thyrosinphosphatase-Antikörper (IA2-Ab) stellen dabei die wichtigsten Parameter dar, die die Entwicklung der Insulinbedürftigkeit vorhersagen können [148].

Autoantigene und Autoantikörper im T1D

Glutamatdecarboxylase

Das Enzym Glutamatdecarboxylase (GAD65) katalysiert die Synthese des inhibitorischen Neurotransmitters Gamma-Amino-Buttersäure (GABA) aus Glutaminsäure. Es wird sowohl in neuronalen Geweben als auch in den endokrinen β -Zellen des Pankreas expremiert. Die Funktion von Gamma-Amino-Buttersäure in den β -Zellen des Pankreas ist noch nicht bekannt. Man vermutet, dass es eine Rolle bei parakrinen Signaltransduktionen zwischen den β -Zellen und den benachbarten α - und δ -Zellen und im Energiehaushalt der β -Zellen spielt [125, 136].

Man kennt zwei Isoformen der Glutamatdecarboxylase, GAD65 und GAD67. GAD65 hat ein Molekulargewicht von 65 kD und ist auf Chromosom 10p11 kodiert; GAD67 weist ein Molekulargewicht von 67 kD auf und ist auf Chromosom 2q31

lokalisiert. Die beiden Isoformen sind in ihrer Aminosäuresequenz (aa) zu 65% identisch und unterscheiden sich v.a. in ihren jeweils ersten 100 aa [14, 64].

Im Serum von T1D-Patienten können zum Zeitpunkt der Manifestation der Erkrankung sowohl Antikörper gegen GAD65 als auch Antikörper gegen GAD67 gefunden werden. Im Laufe der Erkrankung nimmt der Antikörper-Titer meist ab [68].

Antikörper gegen GAD65 (GADA) haben sich als serologische Marker für den präklinischen als auch für den klinischen T1D erwiesen, wogegen Antikörper gegen GAD67 eine geringe Bedeutung haben [130]. Bereits viele Jahre vor der klinischen Manifestation des T1D können sich Antikörper gegen GAD65 entwickeln. Zum Zeitpunkt der Manifestation findet man bei 70-80% der T1D-Patienten GAD65-Autoantikörper [130, 131, 158].

Bei Patienten mit Diabetesmanifestation im Erwachsenenalter, bei denen eine Klassifikation der Erkrankung in Typ 1 oder Typ 2 nicht eindeutig ist, stellen die Autoantikörper gegen GAD65 einen wichtigen Parameter dar. Hohe GADA-Titer im Serum der Patienten deuten auf einen progressiven Verlust der β -Zellen hin. Bei niedrigen GADA-Leveln läuft der β -Zell-Verlust dagegen deutlich langsamer ab [11,12]. Das Vorhandensein von GAD65-Autoantikörpern zum Zeitpunkt der Diabetesmanifestation gibt einen Hinweis auf spätere Insulinbedürftigkeit [89].

GAD65-Autoantikörper können sowohl mittels RIA (Standardverfahren) als auch durch ELISA nachgewiesen werden. Sie sind sehr sensitive Marker für die Prädiktion des T1D [153], sind jedoch nicht spezifisch für den Diabetes, sondern kommen auch bei seltenen anderen Erkrankungen, wie dem *Stiff-person Syndrome* oder dem autoimmunen polyendokrinen Syndrom (APS) vor [135, 152]. *Richter et al.* konnten als erste humane monoklonale Autoantikörper gegen GAD65 (MICA) aus Patienten mit neu diagnostiziertem T1D isolieren [118] und die Charakteristika dieser Antikörper detailliert beschreiben.

Protein-Tyrosinphosphatase IA-2

Protein-Tyrosinphosphatase IA-2 ist ein Mitglied der transmembranen Protein-Tyrosinphosphatase(PTP)-Familie und ist auf Chromosom 2q35 lokalisiert [81]. Dieses Protein wird sowohl in neuroendokrinen Geweben, als auch in den β -Zellen und α -Zellen der Pankreasinseln expremiert.

Autoantikörper gegen IA-2 (IA2-Ab) sind bei 50-70% der T1D-Patienten mit Manifestation im Kindes- und Jugendalter und bei 30-50% der T1D-Patienten mit Manifestation im Erwachsenenalter nachweisbar [131, 158, 166]. Die sensitivste Methode zur Detektion der IA2-Ab ist der Radioimmunoassay (RIA).

Insulin

Insulin ist ein kleines Protein von 51 Aminosäuren, das auf Chromosom 11p15 kodiert ist [106]. Es ist das einzige Hauptautoantigen im T1D, das β-zellspezifisch ist [60]. Autoantikörper gegen Insulin (IAA) sind bei 50-70% der Kinder, die an T1D erkrankt sind, zu finden. Bei älteren Patienten sind sie in nur 20-30% der Fälle vorhanden [157, 158, 165, 166]. Die Standardmethode zum Nachweis der IAA ist der Radioimmunoassay (RIA). Nach Beginn einer Insulintherapie des T1D können Antikörper gegen das exogene Insulin induziert werden, die nicht von den IAAs unterschieden werden können. Deshalb ist bei Patienten, die eine Insulintherapie erhalten, die Bestimmung der IAAs nicht mehr sinnvoll und aussagekräftig.

Antikörperstruktur und -einteilung

Antikörper, auch Immunglobuline (Ig) genannt sind bifunktionelle Moleküle, die im Wesentlichen zwei verschiedene Aufgaben haben: Antigenerkennung und Interaktion mit Effektormolekülen und Effektorzellen. Diese beiden Aufgaben spiegeln sich in der Struktur der Antikörper wider. Sie bestehen aus einem variablen Teil, der je nach Antigenspezifität verschieden ist, und einem konstanten Teil, der die Effektormechanismen auslöst und sich zwischen den verschiedenen Klassen und Subklassen der Immunglobuline unterscheidet.

Alle Antikörper besitzen eine Grundstruktur, die aus vier Polypeptidketten, zwei schweren Ketten und zwei leichten Ketten, besteht. Die schweren und leichten Ketten werden durch intra- und intermolekulare Disulfidbrücken und Protein-Protein-Wechselwirkungen stabilisiert.

Beim Menschen gibt es fünf Klassen von Immunglobulinen: IgM, IgD, IgG, IgE und IgA. In der vorliegenden Arbeit wurde ausschließlich Immunglobulin G untersucht. Diese Antikörperklasse kann erneut in die Subklassen IgG1, IgG2, IgG3 und IgG4 unterteilt werden. Diese vier IgG-Subklassen stellen den Hauptanteil (75%) des

Serumimmunglobulins dar [138]. Sie weisen zu mehr als 95% Homologien in ihrer Aminosäuresequenz der konstanten Domänen der schweren Ketten auf.

Zytokine

Zytokine sind regulatorische Peptide die von allen kernhaltigen Zellen des Körpers produziert werden können. Sie wirken in der Regel lokal über Oberflächenrezeptoren und aktivieren Signaltransduktionskaskaden, die zu veränderter Genexpression, Stoffwechselaktivität, Zelldifferenzierung, Proliferation, Migration und Apoptose führen können [57].

Bei Typ 1 Diabetes wird ein Ungleichgewicht der Zytokine als pathophysiologischer Faktor diskutiert.

Man kann die Zytokine aufgrund ihrer Struktur verschiedenen Familien zuordnen: Es gibt Hämatopoetine, Interferone, Chemokine und Mitglieder der TNF-Familie. Tab. 3 gibt eine Übersicht über die Zytokine, die in der vorliegenden Arbeit untersucht wurden.

Zytokine können auf der Basis ihrer biologischen Antwort, abhängig von deren Effekt auf immunologische Zellen, in proinflammatorische und anti-inflammatorische Zytokine eingeteilt werden. Die proinflammatorischen Zytokine IFN- γ , TNF- α und IL-2 werden von Th1-Zellen gebildet und führen in Richtung zellulärer Immunantwort [102]. IL-4, IL-5, IL-10 und IL-13 sind dagegen antiinflammatorische Zytokine, die von Th2-Zellen produziert werden und eine humorale Immunantwort induzieren [102]. Monozyten und Makrophagen produzieren die proinflammatorischen Zytokine IL-1 (α und β), TNF- α und IFN- γ [168].

Tab. 3: Zytokine (Klassenzuordnung, Produktionsort und Wirkungen)

GM-CSF = Granulozyten-Makrophagen koloniestimuliernder Faktor, G-CSF = Granulozyten koloniestimuliernder Faktor, IFN- γ = Interferon γ , TNF- α = Tumor Nekrose Faktor α , MCP-1 = Monocyte Chemoattractant Protein 1, MIP-1 β = Makrophagen inflammatorisches Protein 1 β , IL = Interleukin, NK-Zellen = natürliche Killerzellen.

Zytokine	Klasse	Produzierende Zellen	Wirkungen
GM-CSF	Hämatopoetine	Makrophagen, T-Zellen, Thymozyten, B-Zellen, NK-Zellen	stimuliert Wachstum und Differenzierung der myelomonozytischen Linie, besonders der dendritischen Zellen
G-CSF	Hämatopoetine	Fibroblasten, Monozyten	stimuliert Entwicklung und Differenzierung neutrophiler Zellen
IFN-γ	Interferone	T-Zellen, NK-Zellen	Aktivierung der Makrophagen, erhöhte Expression von MHC-Molekülen und Komponenten des Antigenprozessierungssystems, Ig-Klassenwechsel, hemmt Th2-Zellen
TNF-α	TNF-Familie	Makrophagen, NK-Zellen, T-Zellen	lokale Entzündungen, Endothelaktivierung
MCP-1	CC-Chemokine	Monozyten, Makrophagen, Fibroblasten, Keratinozyten	aktiviert Makrophagen, Histaminfreisetzung bei basophilen Zellen, stimuliert TH2-Immunität
MIP-1β	CC-Chemokine	Monozyten, Makrophagen, neutrophile Zellen, Endothel	konkurriert mit HIV-1
IL-1β	keine Zuordnung	Makrophagen, Endothelzellen, B-Zellen, Fibroblasten, Epithelzellen, Astrozyten, Keratinozyten	Fieber, T-Zell-Aktivierung, Makrophagenaktivierung
IL-2	Hämatopoetine	T-Zellen	Proliferation der T-Zellen
IL-4	Hämatopoetine	T-Zellen, Mastzellen	B-Zell-Aktivierung, IgE-Wechsel, hemmt TH1-Zellen
IL-5	Hämatopoetine	T-Zellen, Mastzellen	Wachstum und Differenzierung der eosinophilen Zellen
IL-6	Hämatopoetine	T-Zellen, Makrophagen, Endothelzellen	Wachstum und Differenzierung von T- und B-Zellen, Produktion von Akute-Phase-Proteinen, Fieber
IL-7	Hämatopoetine	Nicht T-Zellen	Wachstum von Prä-B-Zellen und Prä-T-Zellen
IL-8	CXC-Chemokin	Monozyten, Makrophagen, Fibroblasten, Keratinozyten, Endothelzellen	mobilisiert, aktiviert und degranuliert neutrophile Zellen, Angiogenese
IL-10	keine Zuordnung	T-Zellen, Makrophagen, EBV-transformierte B- Zellen	wirksamer Inhibitor von Makrophagenfunktionen
IL-12	keine Zuordnung	B-Zellen, Makrophagen	aktiviert NK-Zellen, induziert die Differenzierung von CD4+ T-Zellen zu Th1-ähnlichen Zellen
IL-13	Hämatopoetine	T-Zellen	Wachstum und Differenzierung der B-Zellen, hemmt Th1-Zellen und die Produktion inflammatorischer Cytokine durch Makrophagen
IL-17	keine Zuordnung	CD4+ Gedächtniszellen	induziert Cytokinproduktion bei Epithelien, Endothelien und Fibroblasten

Nach Janeway CA, Travers P, Walport M, Shlomchik M: Anhang III: Cytokine und ihre Rezeptoren. In: Janeway CA, Travers P, Walport M, Shlomchik M (Hrsg) Immunologie, 5. Aufl, Spektrum Akademischer Verlag Heidelberg, Berlin, S. 725-727 (2002c) [59]

1.2 Fragestellung

Typ 1 Diabetes kann in fast jedem Alter auftreten. Die Ursachen für die hohe Variabilität im Manifestationsalter sind jedoch bis heute nicht ausreichend bekannt. Man weiß, dass in den verschiedenen Altersgruppen das Vorkommen der Autoantikörper eine unterschiedliche Verteilung annimmt. So werden bei Kindern mit T1D häufig Insulinautoantikörper gefunden [156], bei Erwachsenen dagegen selten. IA-2 Antikörper fallen oft nach Diagnose wieder ab [38] und GAD65-Autoantikörper neigen dazu, lange zu persistieren [28]. Des Weiteren finden sich Unterschiede in den HLA-Merkmalen der verschiedenen Altersgruppen. Tab. 4 soll einen Überblick über die Krankheitsmerkmale der verschiedenen T1D-Subklassen geben.

Tab. 4: Merkmale (Erkrankungsalter, Konkordanz unter Zwillingen, HLA-Merkmale, Autoantikörper und Plasmainsulin) der verschiedenen T1D-Subklassen: T1D mit Manifestation im Kindesund Jugendalter, T1D mit Manifestation im Erwachsenenalter, Latent Autoimmune Diabetes in Adults (LADA).

IAA = Insulin-Autoantikörper, GADA = GAD65-Autoantikörper, IA-2-Ab = Autoantikörper gegen Tyrosinphosphatase, HLA = Human Leucocyte Antigen

	T1D mit Manifestation im Kindes- und Jugendalter	T1D mit Manifestation im Erwachsenenalter	LADA
Erkrankungsalter	im Kindes- und Jugendalter	im Erwachsenenalter	im Erwachsenenalter
Konkordanz unter monozygoten Zwillingen	mittelgradig	sehr niedrig	?
HLA-DR3/-DR4	mittelgradig	selten	selten-mittelgradig
Protektive HLA- Genotypen (HLA-DR2)	sehr niedrig	niedrig	mittelgradig
Autoantikörper	IAA GADA IA-2-Ab	GADA IA-2-Ab	GADA IA-2-Ab
Plasmainsulin	sehr niedrig	niedrig	niedrig

Nach Leslie RDG, Williams R, Pozzilli P: Type 1 diabetes and latent autoimmune diabetes in adults (LADA): one end of the rainbow. J Clin Endocrin Metab 91: 1654-1659 (2006) [84]

Unklar war bisher, ob in den verschiedenen Krankheitsklassen des T1D Unterschiede in der Immunreaktion zu finden sind. Um dieser Frage nachzugehen sollen die GAD65-Autoantikörper, insbesondere die Immunglobulin-Klasse IgG, und die Zytokinmuster im Serum von T1D-Patienten untersucht werden.

Folgende Fragestellungen wurden in der vorliegenden Arbeit untersucht:

- 1. Wie sieht die Verteilung der IgG-Subklassen der GAD65-Autoantikörper in den verschiedenen Krankheitsklassen des T1D aus?
- 2. Gibt es Unterschiede im Profil der Zytokine zwischen T1D-Patienten mit Erkrankungsmanifestation im Kindes- und Jugendalter, im Erwachsenenalter und LADA-Patienten?
- 3. Kann ein Zusammenhang zwischen Zytokinen und GAD65-Autoantikörper-Subklassen gefunden werden?

2 Material und Methoden

2.1 Probanden

Das untersuchte Probandenkollektiv besteht aus Patienten mit manifestem T1D. Es wurde Material von zwei verschiedenen, Baden-Württemberg basierten Populationsstudien verwendet. Dies waren die ADBW-End-1-Studie und die ICA/GAD A-Studie (Bad Mergentheim).

Die Rekrutierung der Patienten mit T1D (N=242) erfolgte in der Diabetesklinik Bad Mergentheim (N_1 =210) und im Rahmen der ADBW End-1-Studie in Baden-Württemberg (N_2 =32). Einschlusskriterien waren die Diagnose eines manifesten T1D gemäß den WHO-Kriterien (Diabetic Medicine, 1998) und ein hoher Antikörpertiter gegen die Glutamatdecarboxylase 65 (RIA) von mindestens 30 U/ml.

Ausschlusskriterien: Patienten mit Typ 2 Diabetes mellitus oder eine sehr seltene Diabetesform, wie z.B. ein pankreatopriver Diabetes.

Von jedem Patienten wurden 5-10 ml Vollblut gewonnen.

2.2 Versuchsdurchführung

2.2.1 Aufbereitung des Probandenmaterials

Das Serum wurde nach Zentrifugation bei 3000rpm für 10-20min bei 4℃ gewonnen. Es wurde zur weiteren Diagnostik bei -20°C archiviert.

Bei allen Patienten wurden die Autoantikörper-Titer gegen Glutamatdecarboxylase 65 mittels eines Radio-Immunoassay (RIA), der Standard-Methode für diese Messung, bestimmt.

Bei Radio-Immunoassays wurden zu einer Lösung von radioaktiv markiertem Antigen, im vorliegenden Fall ³⁵S-GAD65, das Testserum gegeben und inkubiert.

Waren im Serum GAD65-Antikörper vorhanden, so banden diese das radioaktiv markierte Antigen GAD65. Komplex-gebundenes Antigen wurde von getrennt und die Radioaktivität ungebundenem Antigen der GAD65-Antigen/Antikörper-Komplexe wurde bestimmt und mit Standardkurven verglichen.

2.2.2 Enzyme-Linked Immunosorbent Assay (ELISA)

Die Bestimmung der Glutamatdecarboxylase-Autoantikörper (GADA), im speziellen die Subklassen Immunglobulin G_{gesamt}, Immunglobulin G1 und Immunglobulin G4, erfolgte mittels eines ELISA von *Roche*, das auf der Basis humaner monoklonaler Antikörper (MICA) gegen GAD65 entwickelt wurde.

Materialien und Reagenzien:

Diaplets Anti-GAD^{plus} Kit, Roche, Deutschland

96 Well Streptavidin-vorbeschichtete Mikroplatten (MP) Module

GAD-Biotin

Beschichtungspuffer

Probenpuffer

Waschpuffer

Konjugier-Puffer

Anti-GAD Standard

Anti-GAD Positivkontrolle

Anti-human-IgG-HRP

ABTS Substratlösung

Doppeldestilliertes Wasser

Maus anti-Human IgG1 Monoklonale Antikörper, HRP konjugiert, Genetex, USA Maus anti-Human IgG4 Monoklonale Antikörper, HRP konjugiert, Genetex, USA ELISA-Lesegerät SLT Spectra (405/620nm), SLT Labinstruments, Österreich Mikroplatten-Schüttler Biometra WT16

Synelisa Software, elias Medizintechnik, Freiburg, Deutschland

Versuchablauf:

In einem ersten Schritt wurde GAD-Biotin mit 0,5 ml doppel-destilliertem Wasser für 10 min bei Raumtemperatur (RT) redilutiert. Nach 30 min wurden dem GAD-Biotin 15 ml Beschichtungspuffer zugefügt. Zu 50 ml Waschpuffer wurden 450 ml doppel-destilliertes Wasser gegeben; anschließend 10min abgedunkelt bei RT

bewegt und 30 min abgedunkelt inkubiert (RT). Die Serumproben wurden 5 min bei 3000 rpm zentrifugiert. Anti-human-IgG-HRP wurde mit 1 ml doppeldestilliertes Wasser redilutiert und 15 min gerollt.

Von der GAD-Biotin-Lösung wurden 100 µl/W in die 96 Well Streptavidin-vorbeschichtete Mikroplatte gegeben und anschließend 60 min bei 300 rpm RT inkubiert. GAD-Biotin wurde durch Streptavidin an die Mikroplatte gebunden. Ungebundenes GAD-Biotin wurde durch vier Waschvorgänge mit je 200 µl Waschpuffer-Verdünnung entfernt. Anschließend wurden die Standard- und Proben-Verdünnungen (100 µl/W) zugegeben. Die Verdünnungen der Standards und Proben mit dem Probenpuffer wurden wie folgt gewählt:

•	Standard, Positivkontrolle	1:25
•	Serum zur Bestimmung von Immunglobulin G _{gesamt}	1:1000
•	Serum zur Bestimmung von Immunglobulin G1	1:20
•	Serum zur Bestimmung von Immunglobulin G4	1:10.

Bei 90-minütiger Inkubation (300rpm, RT) wurden die GAD-spezifischen Autoantikörper an GAD-Biotin gebunden. Anschließend vier Waschvorgänge (je 200 μ l). Es wurden dann jeweils die mit Peroxidase (HRP) gekennzeichneten Antihuman-IgG_{gesamt}, -IgG1 oder IgG4 in die Wells gegeben (100 μ l/W). Die Verdünnungen mit dem Konjugier-Puffer waren wie folgt:

•	Anti-human-IgG _{gesamt} -HRP	1:29
•	Maus anti-Human IgG1-HRP	1:150
•	Maus anti-Human IgG4-HRP	1:75

Diese Antikörper banden bei Inkubation (60 min, 300 rpm, RT) an ein zweites differentes Epitop der GAD-Autoantikörper. Ungebundene Antikörper wurden durch vier Waschvorgänge mit je 200 µl Waschpuffer-Verdünnung entfernt.

Zuletzt wurde die Peroxidase, die in dem Komplex gebunden war, durch ein ABTS Substrat (100 µl/W) entwickelt. Der grüne Farbumschlag wurde quantitativ in einem Fotometer bei 405 nm bestimmt (Abb. 2).

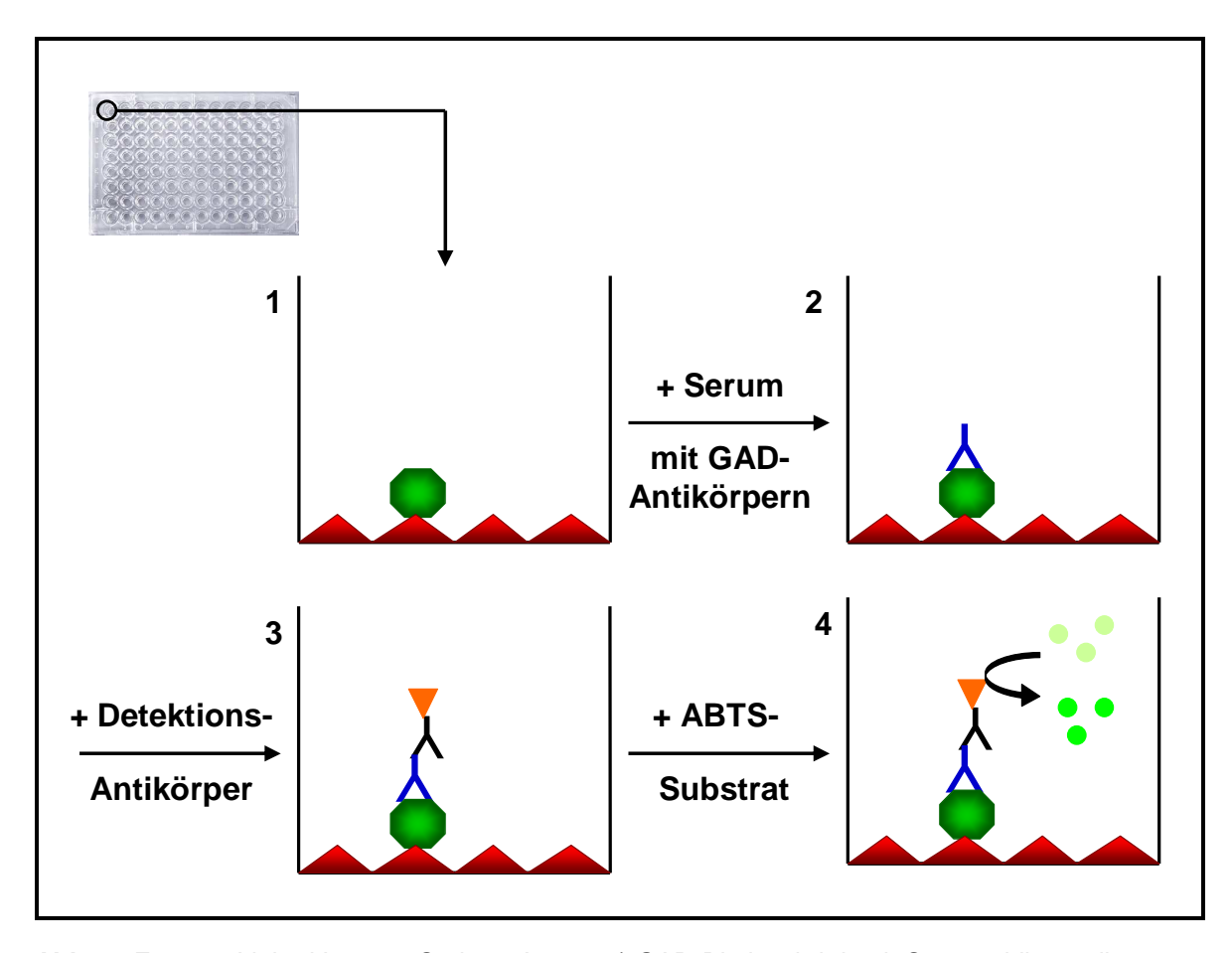


Abb. 2: Enzyme Linked ImmunoSorbant Assay: 1) GAD-Biotin wird durch Streptavidin an die Mikroplatte gebunden; 2) GAD-Autoantikörper (IgG_{gesamt}, IgG1 oder IgG4) aus dem Serum binden GAD-Biotin; 3) Peroxidase (HRP) gekoppelte Detektionsantikörper binden GAD-Autoantikörper; 4) Zugabe des ABTS-Substrates führt zum Farbumschlag durch die Peroxidase

2.2.3 Multiplex Cytokine-Assay

Es wurde ein Bio-Plex Cytokine Assay angewandt. Dieser Test ist darauf ausgelegt 17 humane Zytokine (Interleukine 1 β , 2, 4, 5, 6, 7, 8, 10, 12,13, 17, TNF α , INF- γ , GM-CSF, G-CSF, MCP-1 und MIP-1 β) in einem Ansatz zu detektieren und zu quantifizieren. Grundsätzlich ist der Ablauf des Assays mit einem Sandwich ImmunoAssay zu vergleichen.

Materialien und Reagenzien

Bio-Plex Cytokine Assay, Bio-Rad Laboratories Inc., USA

Bio-Plex Assay-Puffer

Bio-Plex Waschpuffer

Bio-Plex Detektionsantikörper-Verdünnungsmittel

Streptavidin-PE

96-Well Filter-Platte

Anti-Zytokin Konjugier-Puffer

Zytokin Detektionsantikörper

Zytokin-Standards

Bio-Plex humanes Serumproben-Verdünnungsmittel

Bio-Plex humanes Serumstandard-Verdünnungsmittel

Anti-Zytokin konjugierte Beads (25x Konzentration)

Bio-Plex Suspensions-Array System, Bio-Rad Laboratories Inc., USA

Bio-Plex Validations-Kit, Bio-Rad Laboratories Inc., USA

Bio-Plex Kalibrierungs-Kit, Bio-Rad Laboratories Inc., USA

Mikrotiterplatten-Schüttler, Bio-Rad Laboratories Inc., USA

Filterplatten-Vakuumgerät, Bio-Rad Laboratories Inc., USA

Vortexer, Bio-Rad Laboratories Inc., USA

Versuchsablauf

Zunächst wurde die Serumproben mit Bio-Plex humanes Serumproben-Verdünnungsmittel (Verhältnis 1:3) verdünnt. Ein Röhrchen Zytokin-Standard wurde 30 sec *quick-spin* zentrifugiert und anschließend wurden 500 µl Bio-Plex humanes Serumstandard-Verdünnungsmittel zugegeben, so dass eine 50000 pg/ml Standardlösung entsteht. Aus dieser Standardlösung wurde mit dem Serumstandard-Verdünnungsmittel eine Verdünnungsreihe mit den Konzentrationen 8000 pg/ml, 2000 pg/ml, 500 pg/ml, 125 pg/ml, 31,25 pg/ml, 7,81 pg/ml, 1,95 pg/ml und 0,49 pg/ml hergestellt. Anti-Zytokin konjugierte Beads (240 µl) wurden für 15-20 sec gevortext und dann mit Bio-Plex Assay-Puffer (5760 µl) verdünnt. Zytokin-Detektionsantikörper (120 µl) wurde 30 sec *quick-spin*

zentrifugiert und mit Bio-Plex Detektionsantikörper-Verdünnungsmittel (2880 μl) verdünnt. Streptavidin-PE (60 μl) wurde 30 sec *quick-spin* zentrifugiert und Bio-Plex Assay-Puffer (5940 μl) wurde zugefügt.

Die Wells der 96-Well Filter-Platte wurden mit Assay-Puffer (150 μl/W) angefeuchtet. Der Puffer wurde mit dem Filterplatten-Vakuumgerät wieder entfernt. Die Bead-Verdünnung wurde 15-20 sec gevortext und 50 μl/W auf die Mikroplatte gegeben. Diese Verdünnung enthielt kovalent an farbkodierte 5,5 μm polystyrene Beads gebundene Antikörper, die spezifisch gegen Zytokine gerichtet sind. Der Puffer dieser Verdünnung wurde durch Vakuum-Filtration entfernt. Anschließend fanden zwei Waschvorgänge mit je 100 μl Waschpuffer statt. Die Standard- und Serumproben-Verdünnungen wurden in die Wells (50 μl/W) gegeben.

Es folgte eine 30-minütige lichtabsente Inkubation auf dem Mikroplatten-Schüttler (300 rpm, RT), wobei die Zytokine aus Serumproben/Standards durch Antikörper gebunden wurden. Der Puffer wurde durch Vakuum-Filtration entfernt, anschließend fanden drei Waschvorgänge mit je 100 μl Waschpuffer statt. Die Detektions-Antikörper (25 μl/W) wurden zugegeben, die während einer 30-minütigen lichtabsenten Inkubation (300 rpm, RT) an Zytokine banden. Nach Vakuumfiltration und drei Waschvorgängen (je 100 μl Waschpuffer) wurde in jedes Well 50 μl Streptavidin-PE Verdünnung gegeben. Eine 10-minütige lichtabsente Inkubation (300 rpm, RT) folgte. Anschließend wurden Vakuumfiltration und drei Waschvorgänge durchgeführt, die Beads in den Wells mit je 125 μl Bio-Plex Assay-Puffer resuspendiert und für 30 Sekunden bei 1100 rpm auf dem Mikroplatten-Schüttler inkubiert.

Anschließend fand der Lesevorgang statt und ermittelte durch Bead-Farben und Immunfluoreszenz sowohl Qualität als auch Quantität der Zytokine. (Abb. 3)

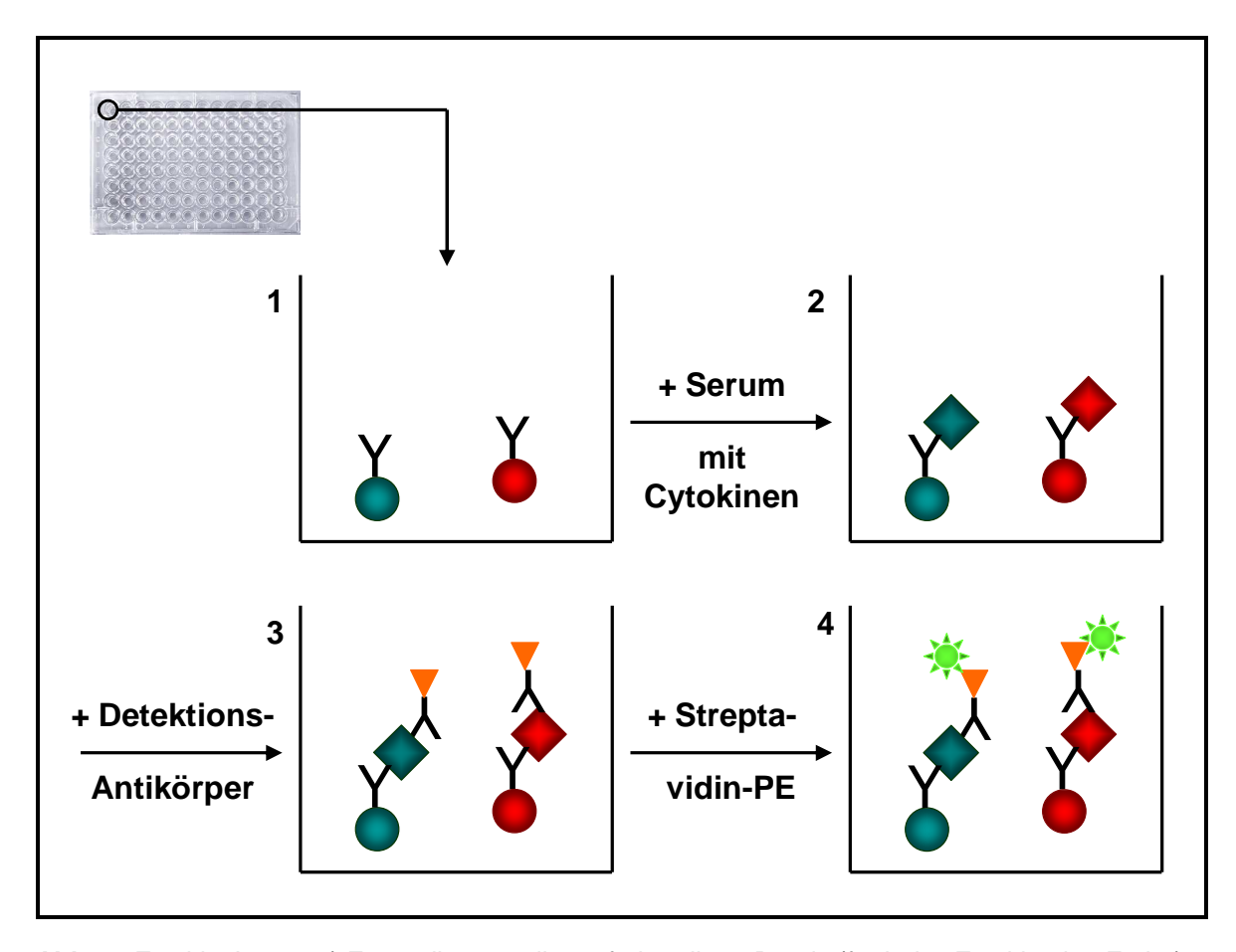


Abb. 3: Zytokin-Assay: 1) Erstantikörper, die an farbcodierte Beads (für jedes Zytokin eine Farbe) gekoppelt sind; 2) Zytokine aus Serum binden an Erstantikörper; 3) Biotinylierte Detektionsantikörper binden Zytokine; 4) Zugabe von Streptavidin-Phycoerythrin bewirkt Immunfluoreszenz

2.3 Statistik

Die statistische Auswertung erfolgte in Zusammenarbeit mit Prof. Dr. med. R.W. Holl, Abteilung Epidemiologie, Universität Ulm, unter Verwendung des Programms SAS® (Version 9.1, SAS Institute Inc., Cary, NC, USA).

Da keine Normalverteilung der Werte vorlag, wurden in den Ergebnissen als Parameter der Median, sowie das erste und dritte Quartil verwendet.

Als Signifikanzniveaus wurden zwei Stufen festgelegt:

- p-Werte < 0,05 niedrig signifikant
- p-Werte < 0,001 signifikant.

Es wurde der Spearmansche Rangkorrelationskoeffizient verwendet, um mögliche Korrelationen zwischen den GAD65-Autoantikörperprofilen und den Zytokinprofilen der Testseren zu untersuchen. Die Nullhypothese lautete, dass es keine Korrelation gibt. Generell kann der Koeffizient Werte von -1 bis +1 annehmen. Werte bei +1 weisen auf eine positive Korrelation hin, Werte bei -1 auf eine negative Korrelation. Werte um 0 schließen eine Korrelation nahezu aus.

Der Wilcoxon-Test fand Anwendung in der Beurteilung eventueller Geschlechtsunterschiede der Ergebnisse.

Multivariate statistische Verfahren wurden angewandt, um die mehrdimensionale Datenvielfalt vereinfacht darzustellen. Hier wurden unter anderem die Hauptkomponentenanalyse und die Faktorenanalyse durchgeführt. Diese sind Hypothesen generierende Verfahren, die multiple Variablen auf wenige sog. Hauptkomponenten bzw. Faktoren reduzieren. Bei der Hauptkomponentenanalyse werden Hauptkomponenten als Linearkombinationen aus den vorhandenen Variablen bestimmt. Bei der Faktorenanalyse werden die Variablen als Linearkombinationen der Faktoren beschrieben.

Die graphische Darstellung der Daten wurde mit MS Excel XP (Microsoft, Berlin, Deutschland) vorgenommen.

Die Ergebnisse wurden im Text zur Verbesserung der Übersichtlichkeit auf ein bis drei Dezimalstellen gerundet angegeben.

3 Ergebnisse

3.1 Probanden

Es wurden 242 Seren von T1D Patienten untersucht. Von diesen sind 87 Patienten männlich, 150 Patienten weiblich und bei 5 Patienten ist das Geschlecht nicht in den Daten belegt worden (Abb. 4). Diese 5 Patienten wurden von den weiteren Auswertungen ausgeschlossen, so dass wir auf eine Gesamtzahl von 237 Patienten kommen.

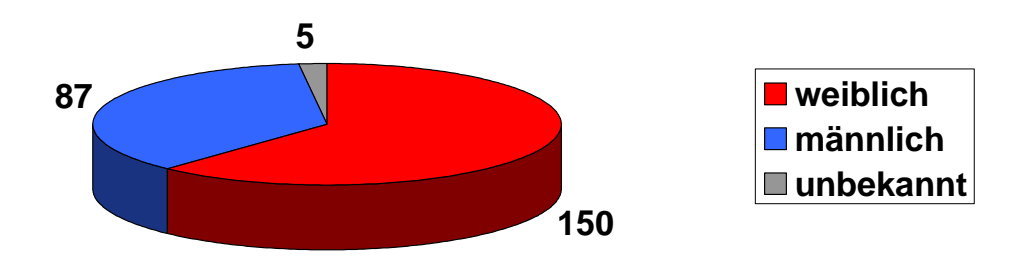


Abb. 4: Geschlechtsverteilung der Probanden

Das Alter der Probanden bei Probeentnahme reichte von 6 Jahren bis 79 Jahren. Das durchschnittliche Alter bei Probenentnahme war $41,1\pm16,5$ Jahre. Das durchschnittliche Alter bei Manifestation des T1D lag bei $39,5\pm15,8$ Jahren. Somit ergibt sich eine mittlere Diabetesdauer bei Probeentnahme von $1,6\pm3,5$ Jahren. Bei 151 Probanden fand die Probeentnahme zum Zeitpunkt der T1D-Manifestation statt; bei 86 Probanden zu einem späteren Zeitpunkt nach Manifestation der Erkrankung.

3.2 GAD65-Antikörper

3.2.1 Deskriptive Statistik

Die GAD65-Antikörper wurden jeweils allgemein im Radioimmunoassay und speziell nach Immunglobulin G-Subklassen (IgG_{gesamt} , IgG1 und IgG4) mittels ELISA bestimmt.

Radioimmunoassay

Die GAD65-Antikörpertiter, die mittels RIA bestimmt wurden, reichten bei den T1D-Patienten von 31 U/ml bis 166 U/ml. Der mediane GADA-Titer lag bei 65,0 U/ml (1.Quartil: 51,0 U/ml; 3.Quartil: 83,0 U/ml) (Abb. 5).

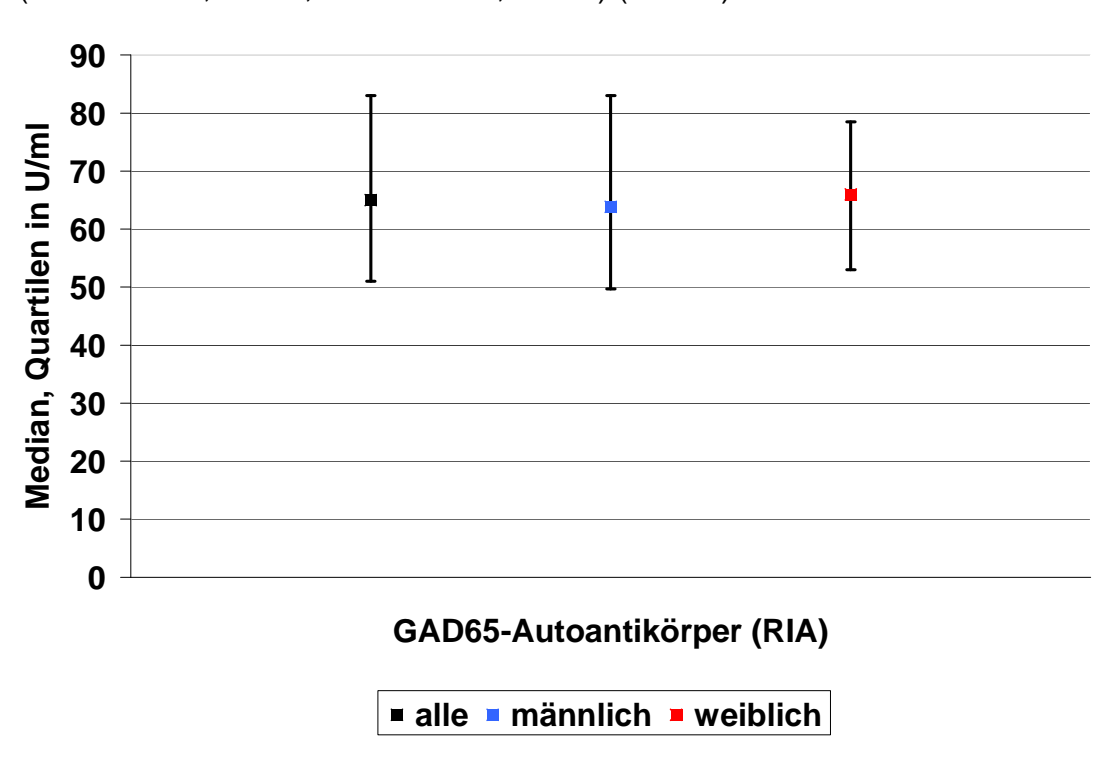


Abb. 5: Median, erstes und drittes Quartil der GAD65-Autoantikörper (detektiert mittels Radioimmunoaasay, RIA) aller Patienten, der männlichen und der weiblichen Patienten.

Enzyme Linked ImmunoSorbant Assay

IgG_{gesamt}:

Der GAD65-Antikörper-Titer von IgG_{gesamt} reichte von 1,00 ng/ml bis 1410,00 ng/ml mit einem Median von 80,70 ng/ml (33,16 ng/ml; 339,63 ng/ml). (Abb. 6).

Für die GAD65-Antikörper-Subklassen IgG1 und IgG4 konnten keine absoluten Werte ermittelt werden, da die im ELISA verwendeten Standardwerte nur auf IgG_{gesamt} ausgelegt waren. Daher werden im Weiteren GAD65-Antikörper-Titer von IgG1 und IgG4 in der Einheit Ulm-Units (UU) angegeben.

IgG1:

Die Werte von GADA der Subklasse IgG1 reichten von 1,00 UU bis 1410,00 UU. Der Median lag bei 5,33 UU (2,37 UU; 38,56 UU). (Abb. 6).

IgG4:

Die IgG4-Subklasse der GADA nahm Werte von 1,00 UU bis 1059,79 UU an; mit einem Median von 17,60 UU (10,13 UU; 26,74 UU) (Abb. 6).

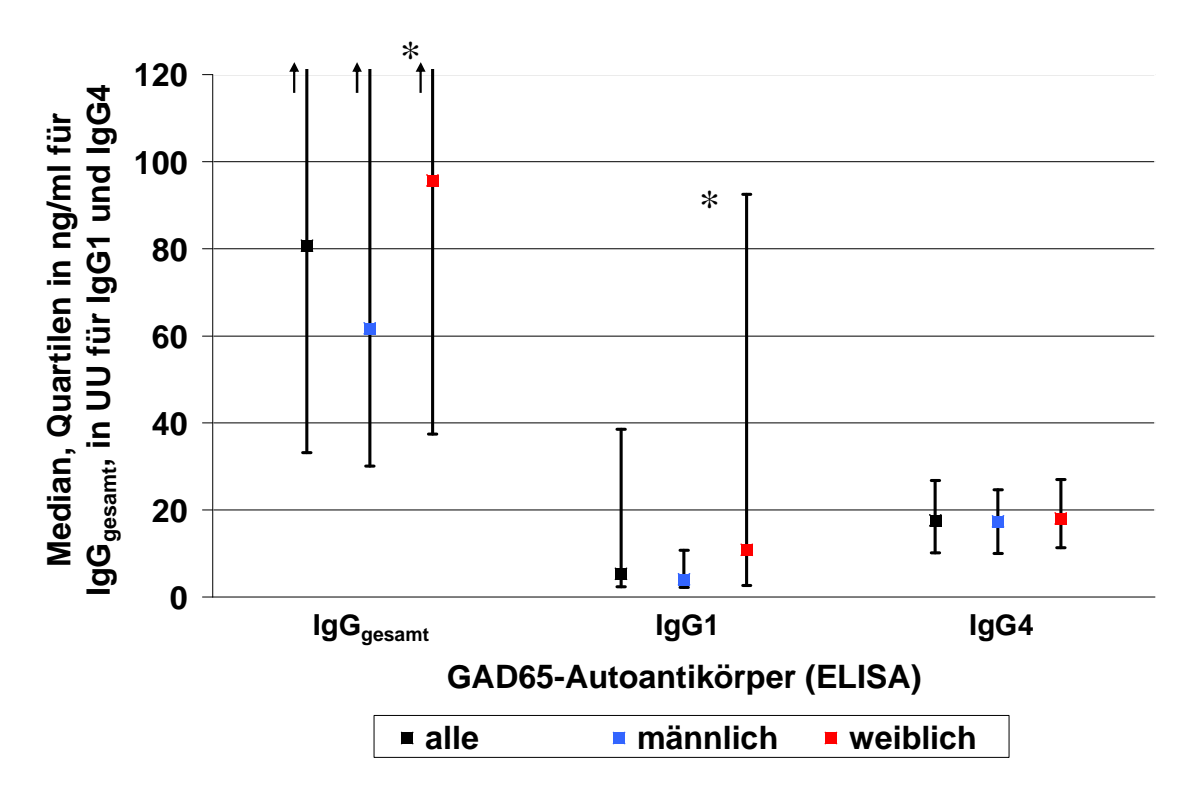


Abb. 6: Median, erstes und drittes Quartil der GAD65-Autoantikörper IgG_{gesamt}, IgG1 und IgG4 (detektiert mittels Enzyme Linked ImmunoSorbant Assay, ELISA) für alle Patienten, männliche und weibliche Patienten (*: p<0,05) (Werte mit Pfeil ↑ liegen außerhalb des dargestellten Datenbereichs). UU = Ulm Units (arbiträre Einheit)

Korrelation GAD65 ELISA mit RIA

Korrelation GADA-IgGgesamt (ELISA) mit GADA (RIA):

Der Spearman Korrelationkoeffizient (r) der Korrelation von GADA IgG_{gesamt} (ELISA) und GADA (RIA) lag für alle Patienten gemeinsam (n=237) bei r=0,482 (p<0,0001), für männliche Patienten bei r=0,504 (p<0,0001) und für weibliche Patienten bei r=0,471 (p<0,0001). Teilt man das Probandenkollektiv in zwei Altersgruppen mit der Grenze von 40 Jahren so ergab sich für Patienten unter 40 Jahren ein Korrelationskoeffizient von r=0,574 (p<0,0001) und für über 40-Jährigen Probanden ein Koeffizient von r=0,378 (p<0,0001). Betrachtet man lediglich die Patienten, bei denen die GADA-Bestimmung zum Zeitpunkt der T1D-Manifestation stattfand, so zeigte sich ein Korrelationskoeffizient von r=0,504 (p<0,0001). Abb. 7 zeigt die bivariate Darstellung der Ergebnisse.

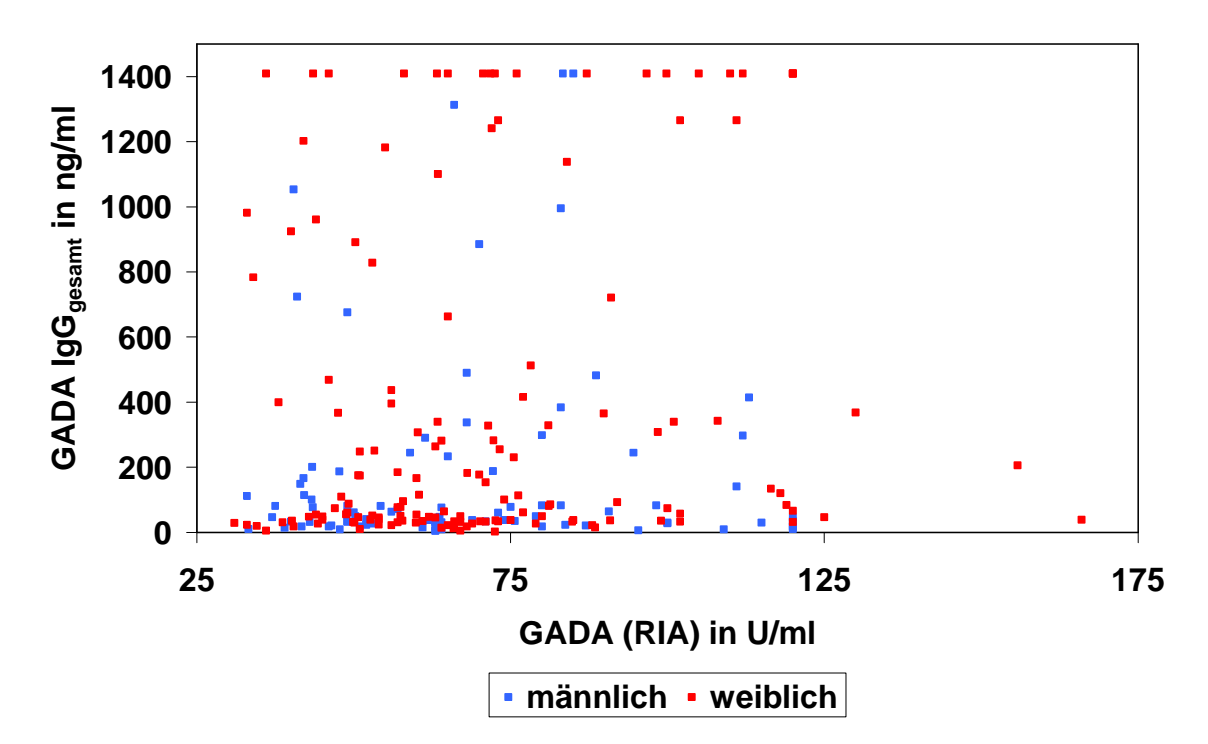


Abb. 7: Bivariate Darstellung:
GAD65-Autoantikörper (GADA) IgG_{gesamt} (Enzyme Linked ImmunoSorbant Assay, ELISA) und GAD65-Autoantikörper (Radioimmunoassay, RIA)

Korrelation GADA-IgG1 (ELISA) mit GADA (RIA):

Bei der Korrelationsanalyse von GADA IgG1 (ELISA) zu GADA (RIA) lag der Spearman-Korrelationskoeffizient für alle Patienten gemeinsam bei r=0,534 (p<0,0001). Für das männliche Patientenkollektiv ergab sich ein Koeffizient von r=0,520 (p<0,0001) und für das weibliche Patientenkollektiv ein Koeffizient von r=0,535 (p<0,0001). Bei Patienten unter 40 Jahre lag der Korrelationskoeffizient bei r=0,584 (p<0,0001), bei Patienten über 40 Jahren bei r=0,488 (p<0,0001). Für Patienten, bei denen die GADA-Bestimmung bei T1D-Manifestation erfolgte, ergab sich ein Spearman-Korrelationskoeffizient von r=0,562 (p<0,0001). Eine Übersicht der Ergebnisse gibt Abb. 8.

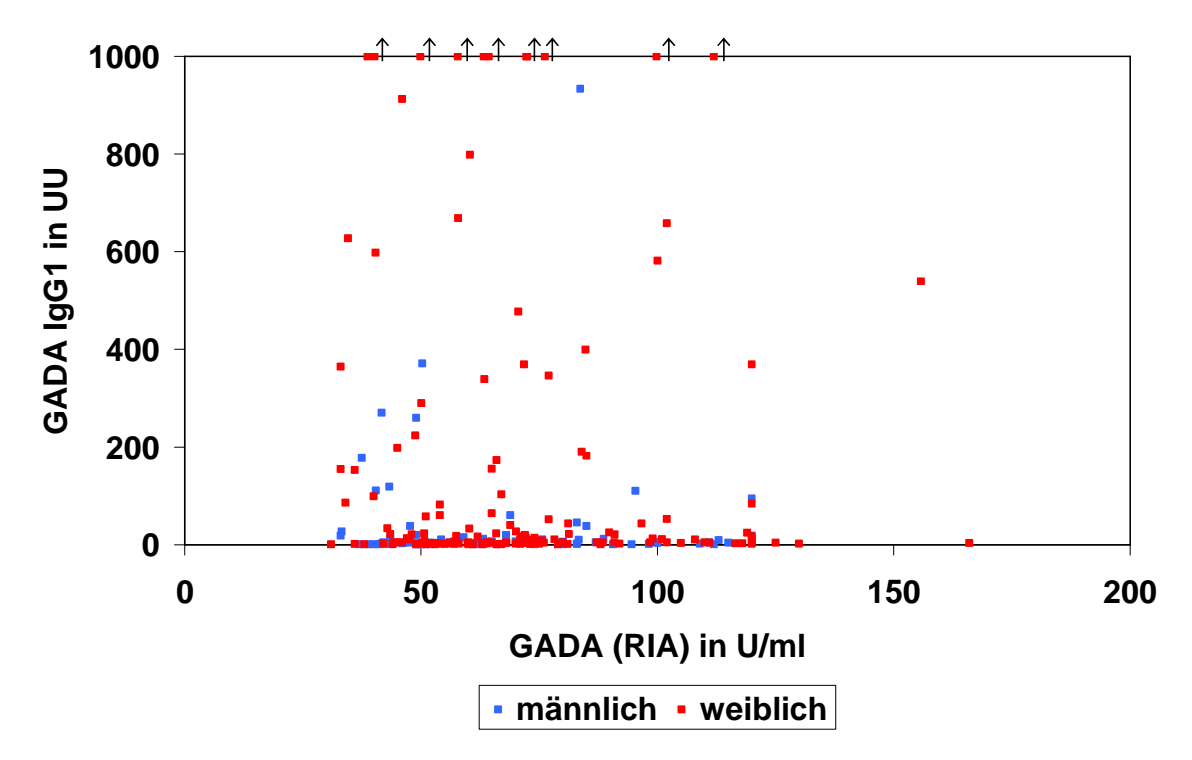


Abb. 8: Bivariate Darstellung:
GAD65-Autoantikörper (GADA) IgG1 (Enzyme Linked ImmunoSorbant Assay, ELISA) und
GAD65-Autoantikörper (Radioimmunoassay, RIA)
(Werte mit Pfeil ↑ liegen außerhalb des dargestellten Datenbereichs)
UU = Ulm Units (arbiträre Einheit)

Korrelation GADA-IgG4 (ELISA) mit GADA (RIA):

Es konnten keinerlei Korrelation zwischen den GADA-IgG4 im ELISA und den GADA-Titern im RIA für alle Proben gemeinsam, die männlichen und weiblichen Probandenkollektive, die Patientengruppe unter 40 Jahren und bei Betrachtung der Patienten mit GADA-Bestimmung bei T1D-Manifestation festgestellt werden. Bei der T1D-Patientengruppe über 40 Jahren ergab sich ein Spearman-Korrelationskoeffizient von r= -0,220 bei lediglich niedriger Signifikanz (p=0,0162) (Abb. 9).

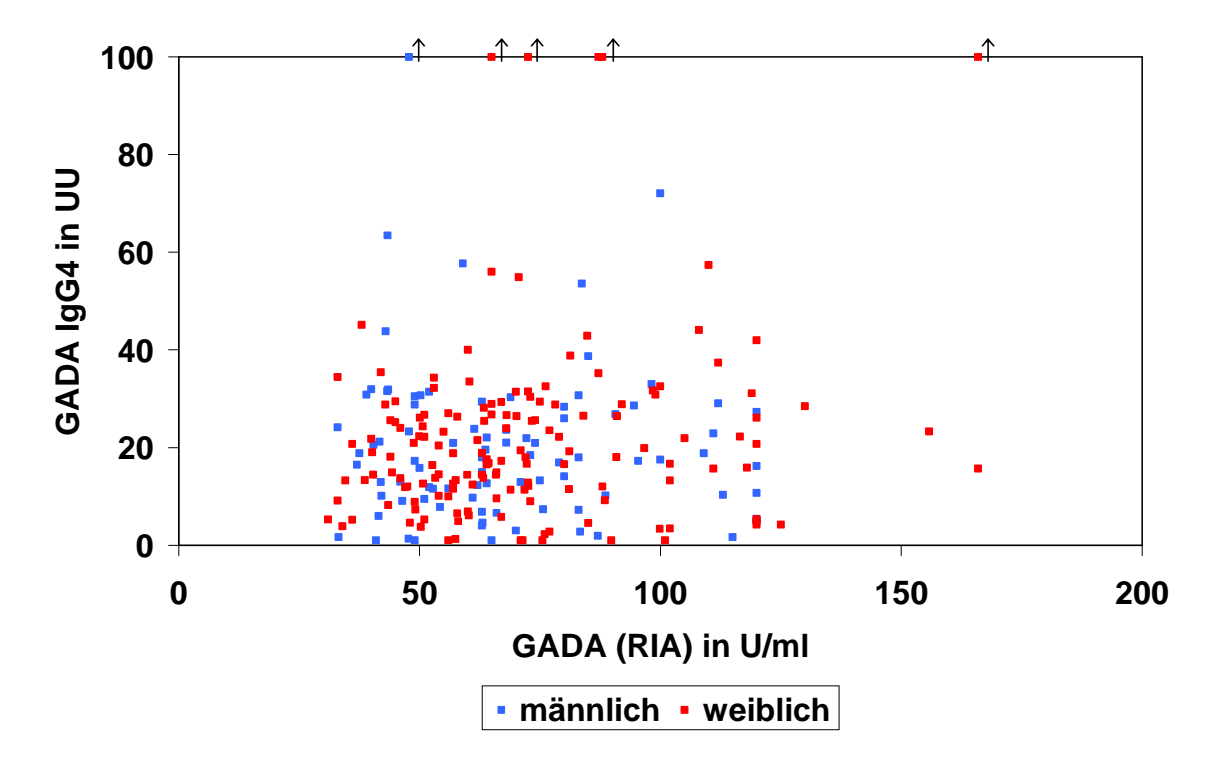


Abb. 9: Bivariate Darstellung:
GAD65-Autoantikörper (GADA) IgG4 (Enzyme Linked ImmunoSorbant Assay, ELISA) und
GAD65-Autoantikörper (Radioimmunoassay, RIA)
(Werte mit Pfeil ↑ liegen außerhalb des dargestellten Datenbereichs)
UU = Ulm Units (arbiträre Einheit)

3.2.3 Korrelation RIA und GAD65 ELISA mit T1D-Manifestationsalter

Es wurden ausschließlich Patienten bewertet, bei denen der GADA-Titer zum Zeitpunkt der T1D-Manifestation bestimmt wurde (n=151).

Korrelation GADA (RIA) mit Alter bei T1D-Manifestation:

Es ergaben sich keine signifikanten Korrelationen zwischen den GAD-Antikörpertitern, die durch RIA bestimmt wurden, und dem Alter bei T1D-Manifestation (Abb. 10).

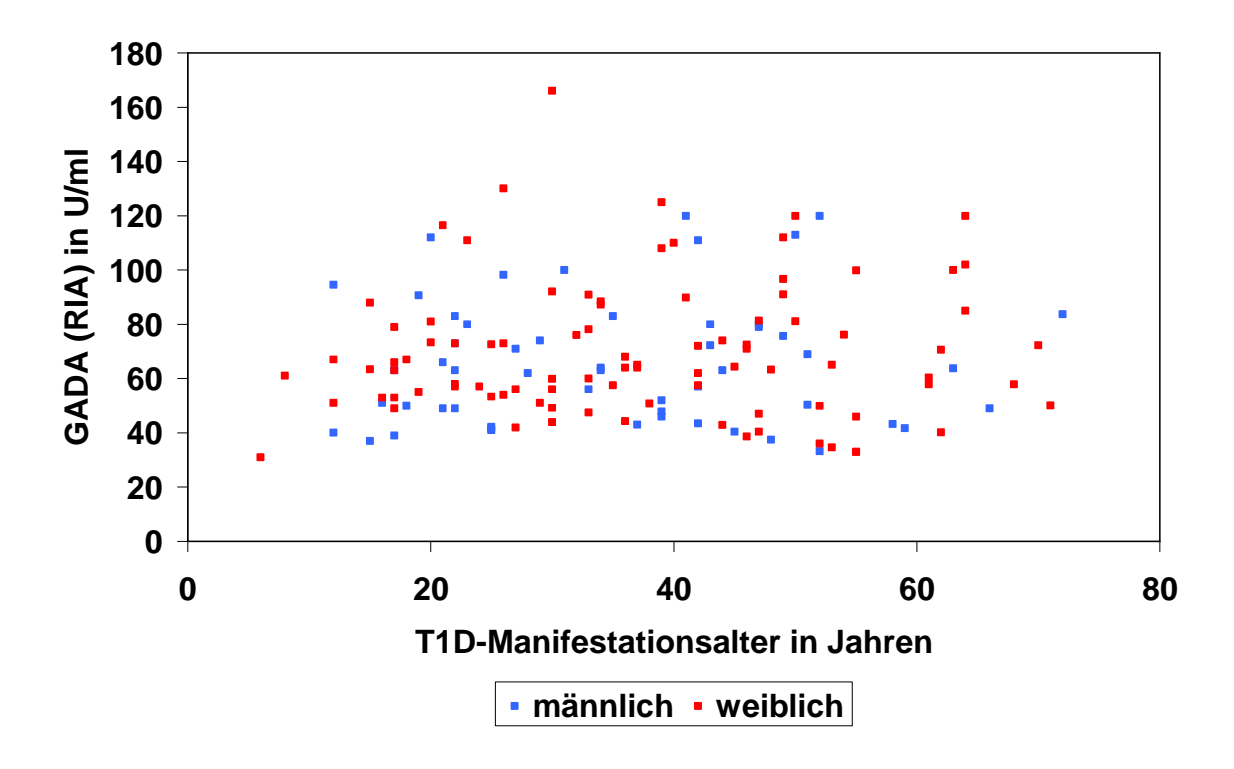


Abb. 10: Bivariate Darstellung:
GAD65-Autoantikörper (GADA) (detektiert mittels Radioimmunoassay, RIA) und
Manifestationsalter des Typ 1 Diabetes (T1D)

Korrelation GADA IgG_{gesamt} (ELISA) mit Alter bei T1D-Manifestation:

Bei den über 40-jährigen Patienten ergab sich für die Korrelations von GAD65-Autoantikörper IgG_{gesamt} (ELISA) mit dem Alter bei T1D-Manifestation ein Spearman-Korrelationskoeffizient r=0,240 bei niedriger Signifikanz (p=0,0453). Bei Untersuchung aller Patienten, bei der alleinigen Betrachtung der männlichen bzw. weiblichen Patienten und bei der Altersgruppe der unter 40-jährigen Patienten konnten keine Korrelationen zwischen GAD65-Autoantikörper IgG_{gesamt} (ELISA) und dem Alter bei T1D-Manifestation nachgewiesen werden (Abb. 11).

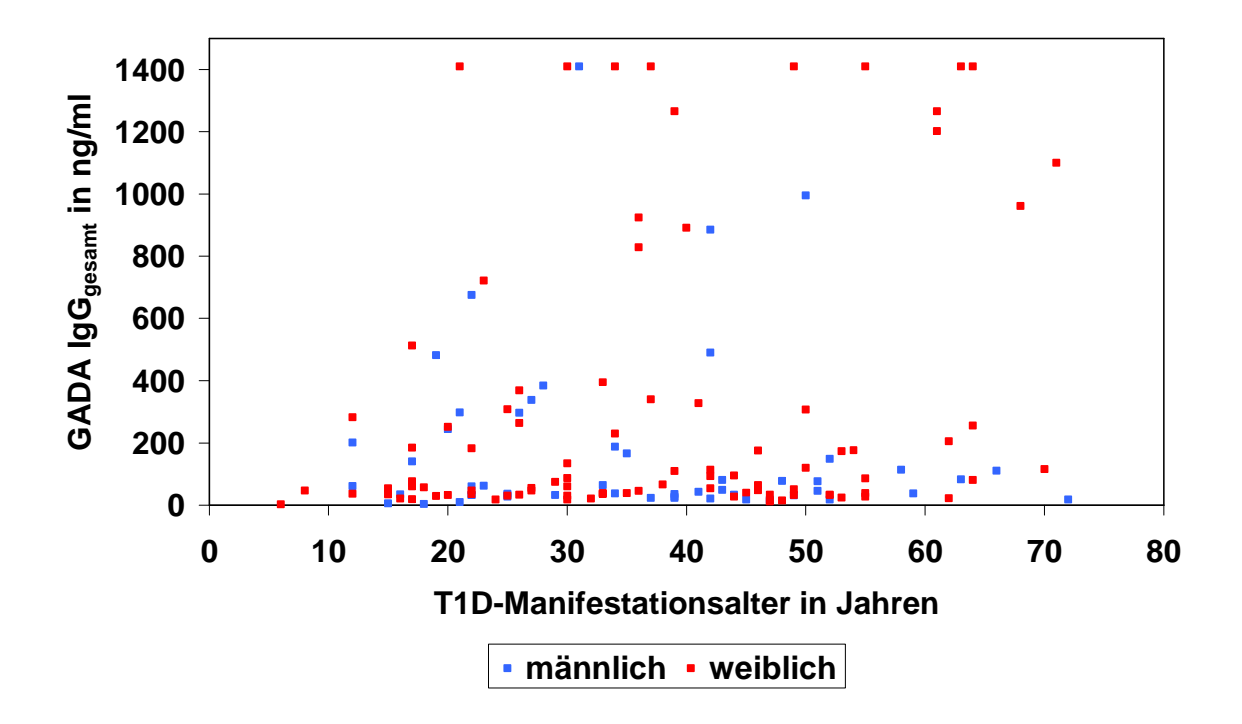


Abb. 11: Bivariate Darstellung:

GAD65-Autoantikörper (GADA) IgG_{gesamt} (detektiert mittels Enzyme Linked ImmunoSorbant Assay, ELISA) und Manifestationsalter des Typ 1 Diabetes (T1D)

Korrelation GADA-IgG1 (ELISA) mit Alter bei T1D-Manifestation:

Betrachtet man alle Patienten mit GADA-Bestimmung bei T1D-Manifestation, so ergab sich ein Spearman-Korrelationskoeffizient von r=0,159 bei niedriger Signifikanz (p=0,0476). Bei dem weiblichen Probandenkollektiv lag der Korrelationskoeffizient bei r=0,289 (p=0,0108) und bei den Patienten über 40 Jahre bei r=0,236 (p=0,0495). Bei den männlichen Probanden und bei dem Probandenkollektiv jünger als 40 Jahre konnten keine signifikanten Korrelationen gefunden werden (Abb. 12).

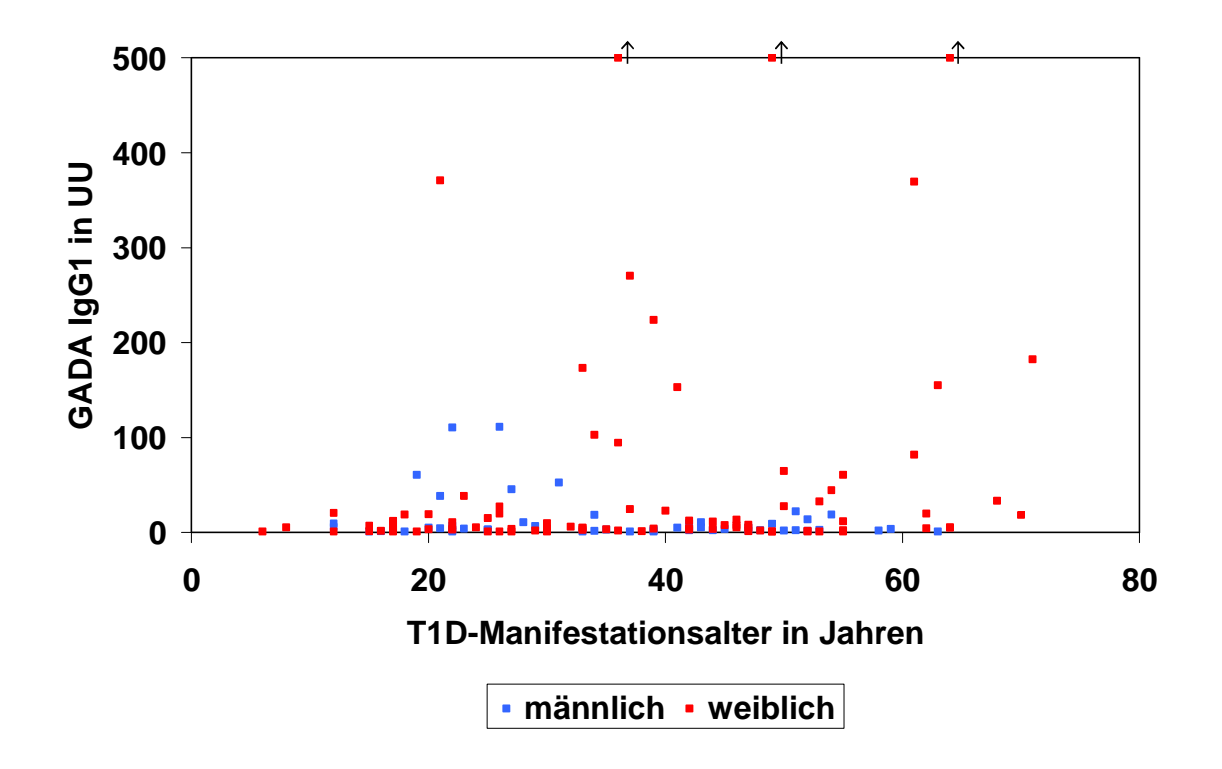


Abb. 12: Bivariate Darstellung:
GAD65-Autoantikörper (GADA) IgG1 (detektiert mittels Enzyme Linked ImmunoSorbant
Assay, ELISA) und Manifestationsalter des Typ 1 Diabetes (T1D)
(Werte mit Pfeil ↑ liegen außerhalb des dargestellten Datenbereichs)
UU = Ulm Units (arbiträre Einheit)

Korrelation GADA-IgG4 (ELISA) mit Alter bei T1D-Manifestation:

Für GADA-IgG4 ergaben sich keine signifikanten Zusammenhänge mit dem Alter bei T1D-Manifestation (Abb. 13).

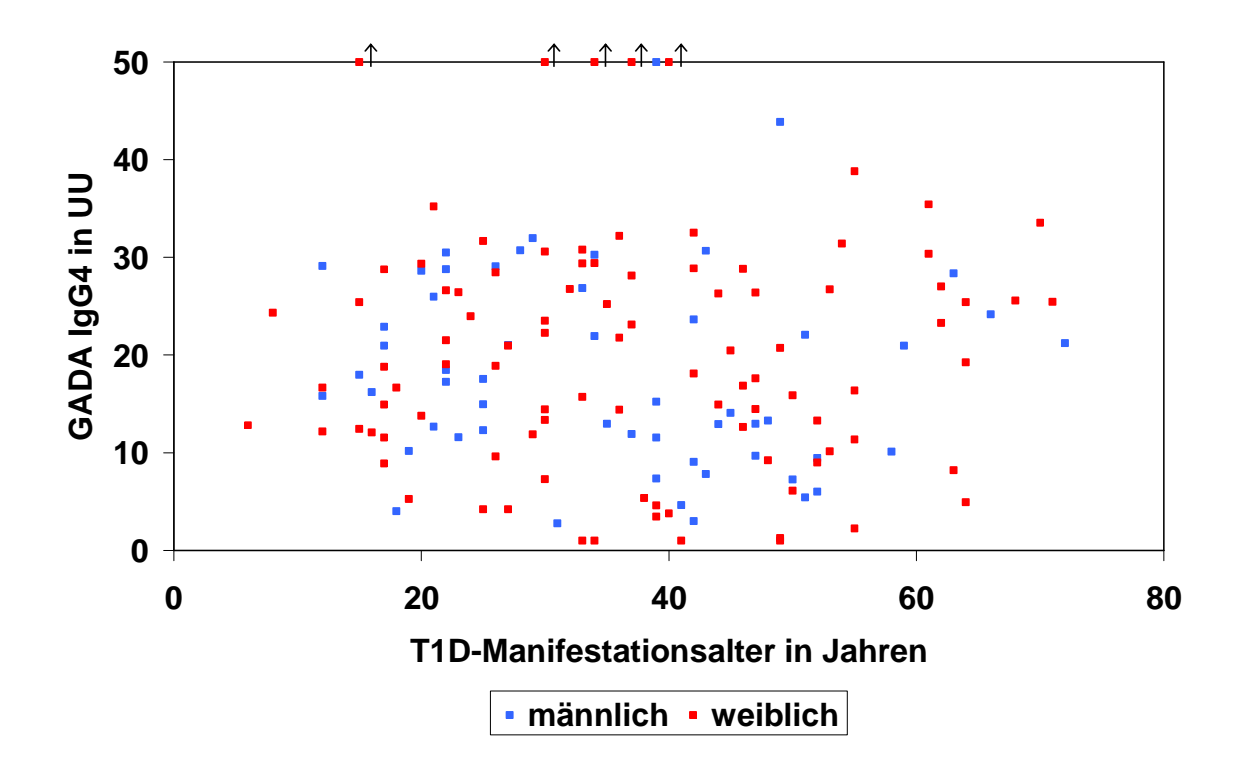


Abb. 13: Bivariate Darstellung:
GAD65-Autoantikörper (GADA) IgG4 (detektiert mittels Enzyme Linked ImmunoSorbant
Assay, ELISA) und Manifestationsalter des Typ 1 Diabetes (T1D)
(Werte mit Pfeil ↑ liegen außerhalb des dargestellten Datenbereichs).
UU = Ulm Units (arbiträre Einheit)

3.3 Zytokine

3.3.1 Deskriptive Statistik

Tabelle 5 zeigt die Ergebnisse des Zytokin-Assays. Es wurden für alle gemessenen Zytokine jeweils das Minimum und Maximum, der Median und das erste und dritte Quartil des gesamten Probandenkollektivs (n=237) ermittelt. Die Referenzwerte der Zytokine ergaben sich aus gesunden Kontrollpersonen (n=4), deren Zytokintiter zusätzlich im Rahmen des Zytokin-Assays bestimmt wurden.

Tab. 5: Zytokinwerte: Minimum, Maximum, Median, erstes und drittes Quartil und Referenzwerte (Min-Max; Median). GM-CSF = Granulozyten-Makrophagen koloniestimuliernder Faktor, G-CSF = Granulozyten koloniestimuliernder Faktor, IFN- γ = Interferon γ , TNF- α = Tumor Nekrose Faktor α , MCP-1 = Monocyte Chemoattractant Protein 1, MIP-1 β = Makrophagen Inflammatorisches Protein 1 β , IL = Interleukin, Min = Minimum, Max = Maximum

	Minimum	Maximum	Median	1.Quartil	3.Quartil	Referenzwert (Min-Max; Median)					
in pg/ml											
GM-CSF	0,001	5723,84	0,001	0,001	2,96	0,001; 0,001					
G-CSF	0,001	2537,33	4,30	0,90	8,74	0,001; 0,001					
IFN-γ	0,001	5586,25	0,001	0,001	7,79	0,001; 0,001					
TNF-α	0,001	814,07	0,60	0,001	1,49	0,001-1,02; 0,46					
MCP-1	35,67	40000,00	146,30	107,62	207,10	29,97-84,36; 55,78					
MIP-1β	17,78	40000,00	83,55	63,28	112,05	66,87-129,52; 81,83					
IL-1β	0,001	40000,00	0,41	0,08	1,31	0,001; 0,001					
IL-2	0,001	1347,74	0,001	0,001	4,71	0,001; 0,001					
IL-4	0,001	418,01	0,001	0,001	0,94	0,001; 0,001					
IL-5	0,001	28,28	0,59	0,33	0,90	0,10-0,77; 0,14					
IL-6	1,62	40000,00	34,41	23,43	79,69	0,68-15,86; 9,71					
IL-7	1,96	130,78	9,35	6,23	12,90	3,55-7,33; 4,52					
IL-8	0,001	40000,00	9,33	6,92	12,93	4,48-8,67; 5,26					
IL-10	0,001	362,33	2,66	1,51	4,74	0,001-2,22; 0,48					
IL-12	0,001	1154,88	0,001	0,001	1,00	0,001; 0,001					
IL-13	0,001	551,40	1,25	0,49	2,95	0,001-0,99; 0,14					
IL-17	0,001	681,89	0,001	0,001	1,96	0,001; 0,001					

Um ein detailliertes Resultat zu erhalten, wurden die Ergebnisse innerhalb verschiedener Kollektive (alle Probanden, männliche Probanden, weibliche Probanden) untersucht.

In Abb. 14-16 sind die medianen Zytokinspiegel sowie erstes und drittes Quartil dieser Probandenkollektive dargestellt.

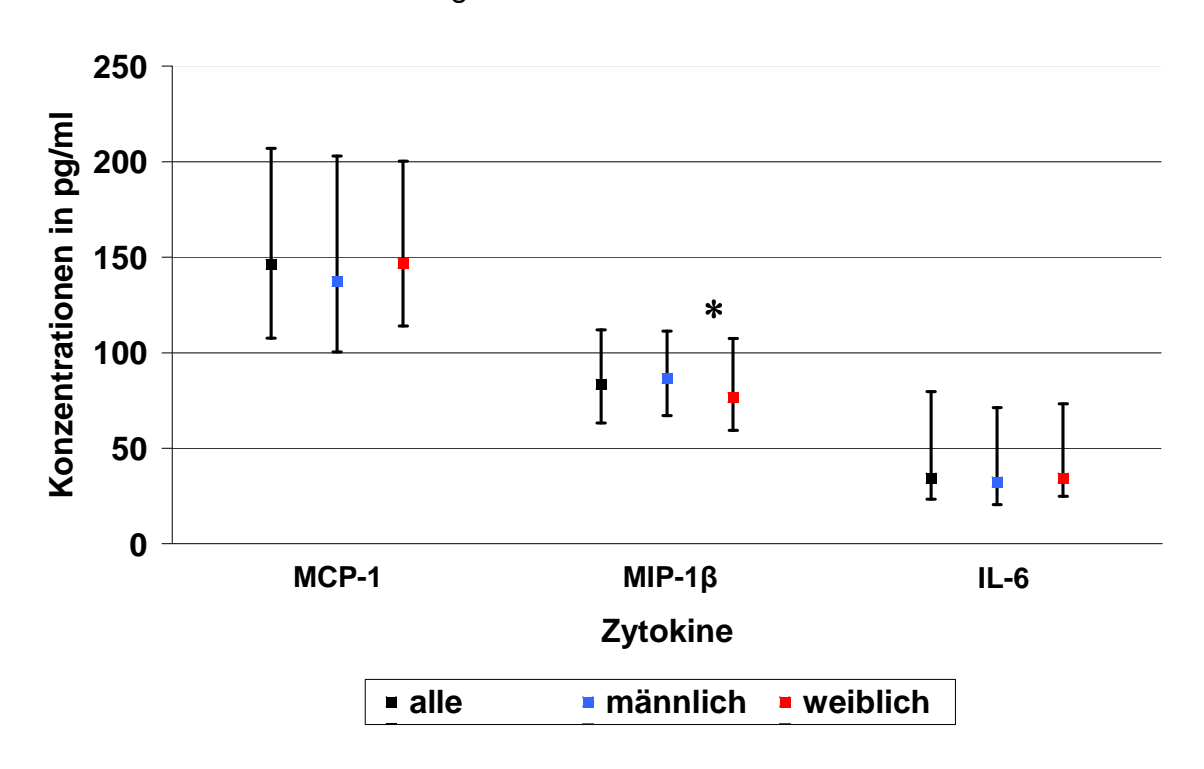


Abb. 14: Mediane Zytokinspiegel, erstes und drittes Quartil von MCP-1, MIP-1 β und IL-6 für alle Patienten, männliche und weibliche Patienten (*: p<0,05). MCP-1 = Monocyte Chemoattractant Protein 1, MIP-1 β = Makrophagen Inflammatorisches Protein 1 β , IL = Interleukin

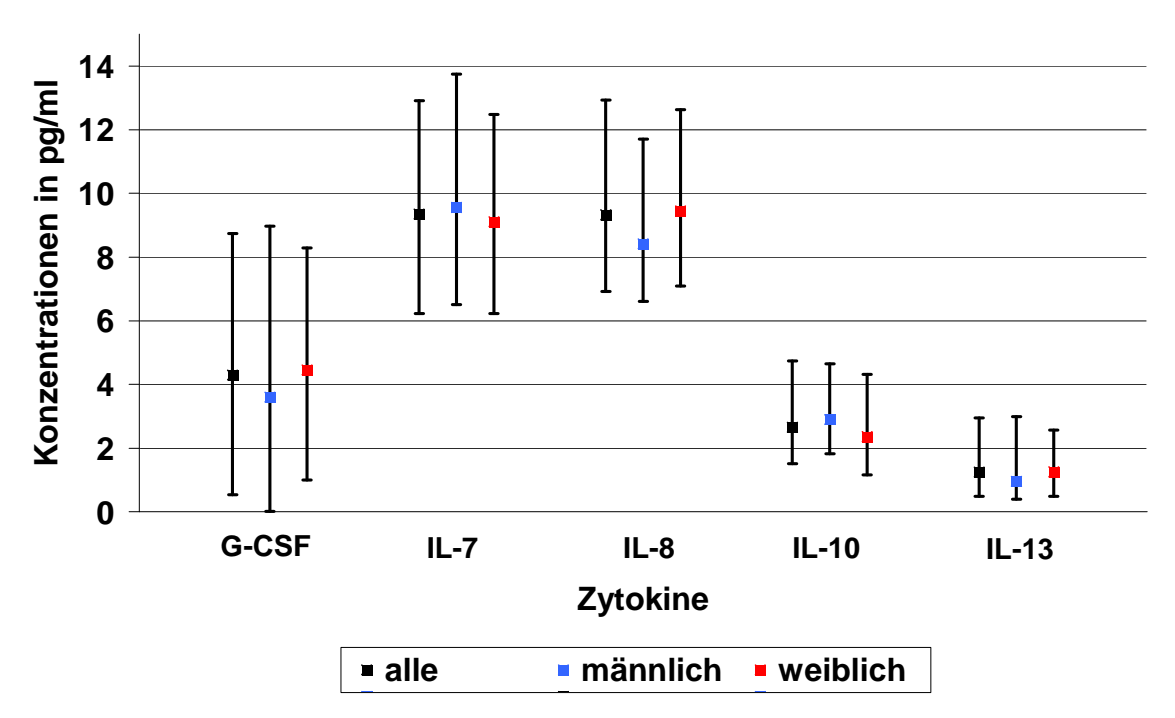


Abb. 15: Mediane Zytokinspiegel, erstes und drittes Quartil von G-CSF, IL-7, IL-8, IL-10 und IL-13 für alle Patienten, männliche und weibliche Patienten.

G-CSF = Granulozyten koloniestimuliernder Faktor, IL = Interleukin

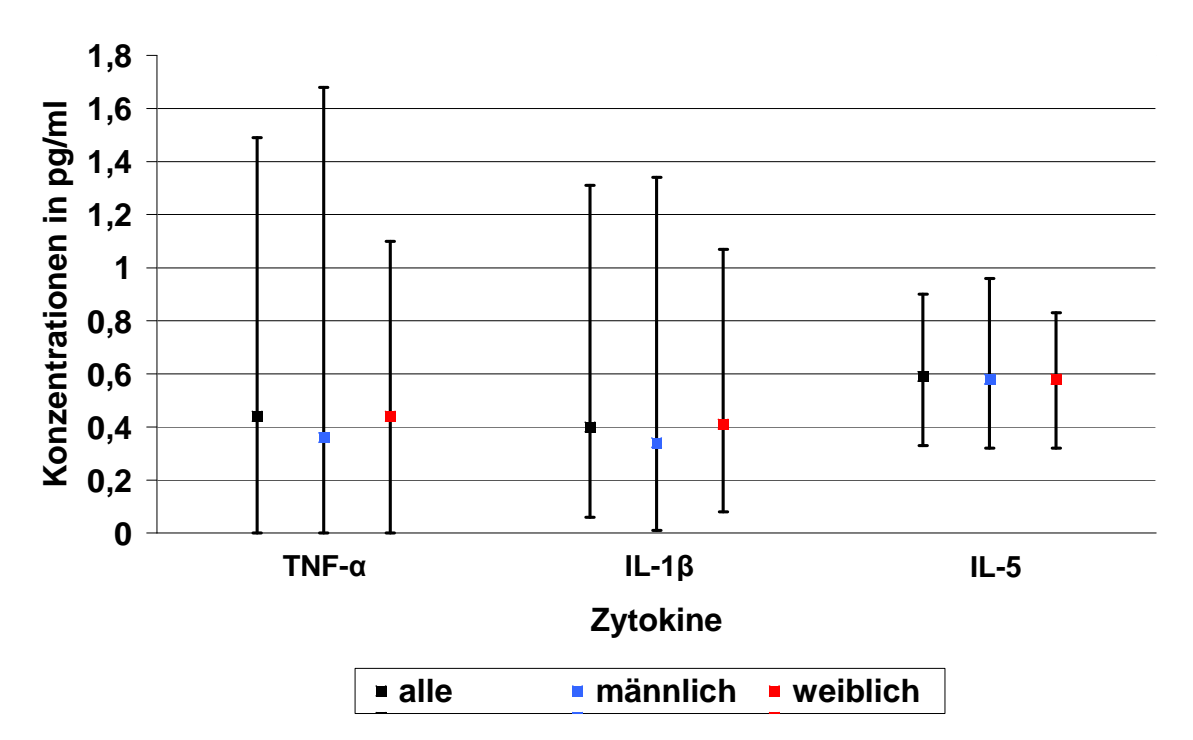


Abb. 16: Mediane Zytokinspiegel, erstes und drittes Quartil von TNF- α , IL-1 β und IL-5 für alle Patienten, männliche und weibliche Patienten. TNF- α = Tumor Nekrose Faktor α , IL = Interleukin

Die medianen Zytokinspiegel von IL-4, IL-12, IL-17, IL-2, GM-CSF und IFN-γ lagen für alle Patienten, als auch für das männliche und weibliche Patientenkollektiv bei 0,001 pg/ml.

3.3.2 Korrelation Zytokine mit T1D-Manifestationalter und Geschlecht

Wird das gesamte T1D-Patientenkollektiv (n=237) betrachtet, so ergaben sich für TNF-α, MCP-1, IL-4, IL-5, IL-8 und IL-17 signifikant positive Korrelationen zwischen den Zytokinspiegel und dem Alter bei T1D-Manifestation. Für GM-CSF, G-CSF, IFN-γ, MIP-1β, IL-1β, IL-6, IL-12 und IL13 konnten niedrig-signifikante Korrelationen gezeigt werden. Für die Zytokine GM-CSF, IFN-γ, IL-7, IL-10 und IL-13 konnten keine signifikanten Korrelationen mit dem Alter bei T1D-Manifestation nachgewiesen werden. (Tab. 6)

Tab. 6: Korrelation Zytokine mit Alter bei T1D-Manifestation – alle T1D-Patienten.
 Fett gedruckt: signifikante Korrelation, normal gedruckt: niedrig-signifikante Korrelation, schwach gedruckt: keine Korrelation.
 GM-CSF = Granulozyten-Makrophagen koloniestimuliernder Faktor, G-CSF = Granulozyten koloniestimuliernder Faktor, IFN-γ = Interferon gamma, TNF-α = Tumor Nekrose Faktor α, MCP-1 = Monocyte Chemoattractant Protein 1, MIP-1β = Makrophagen Inflammatorisches Protein 1 β, IL = Interleukin

	Spearman Korrelationskoeffizient	p-Wert
GM-CSF	0,117	0,066
G-CSF	0,194	0,002
IFN-γ	0,092	0,150
TNF-α	0,286	<0,0001
MCP-1	0,292	<0,0001
MIP-1β	0,235	0,0002
IL-1β	0,160	0,012
IL-2	-0,135	0,034
IL-4	0,253	<0,0001
IL-5	0,259	<0,0001
IL-6	0,231	0,0002
IL-7	-0,125	0,050
IL-8	0,287	<0,0001
IL-10	-0,010	0,876
IL-12	0,196	0,002
IL-13	0,027	0,670
IL-17	0,315	<0,0001

Bei alleiniger Betrachtung der Patienten, bei denen die Zytokinbestimmung zum Zeitpunkt der T1D-Manifestation stattfand (n=151), ergaben sich stärkere Korrelationen als bei der Betrachtung aller Patienten. So zeigten sich für TNF-α, MCP-1, MIP-1β, IL-1β, IL-4, IL-5, IL-6, IL-8, IL-12 und IL-17 signifikant positive Korrelationen zwischen den Zytokinspiegeln und dem Alter bei T1D-Manifestation. Für GM-CSF, G-CSF, IFN-γ, IL-7 und IL-13 ergaben sich niedrig-signifikante Korrelationen. Für IL-2 und IL-10 ergaben sich keine signifikanten Korrelationen zum Manifestationsalter des T1D. (Tab. 7)

Tab. 7: Korrelation Zytokine mit Alter bei T1D-Manifestation – Patienten mit Zytokinbestimmung bei T1D-Manifestation.

Fett gedruckt: signifikante Korrelation, normal gedruckt: niedrig-signifikante Korrelation, schwach gedruckt: keine Korrelation.

GM-CSF = Granulozyten-Makrophagen koloniestimuliernder Faktor, G-CSF = Granulozyten koloniestimuliernder Faktor, IFN- γ = Interferon gamma, TNF- α = Tumor Nekrose Faktor α , MCP-1 = Monocyte Chemoattractant Protein 1, MIP-1 β = Makrophagen Inflammatorisches Protein 1 β , IL = Interleukin

	Spearman Korrelationskoeffizient	p-Wert
GM-CSF	0,232	0,003
G-CSF	0,285	0,0003
IFN-γ	0,283	0,0003
TNF-α	0,421	<0,0001
MCP-1	0,374	<0,0001
MIP-1β	0,356	<0,0001
IL-1β	0,326	<0,0001
IL-2	-0,001	0,990
IL-4	0,394	<0,0001
IL-5	0,316	<0,0001
IL-6	0,322	<0,0001
IL-7	-0,176	0,027
IL-8	0,362	<0,0001
IL-10	0,055	0,493
IL-12	0,328	<0,0001
IL-13	0,188	0,018
IL-17	0,434	<0,0001

In Abb. 17-20 sind die Korrelationen zwischen den Zytokinspiegeln und dem T1D-Manifestationsalter dargestellt. In diesen Korrelationsplots wurden alle Probanden (n=237) beachtet.

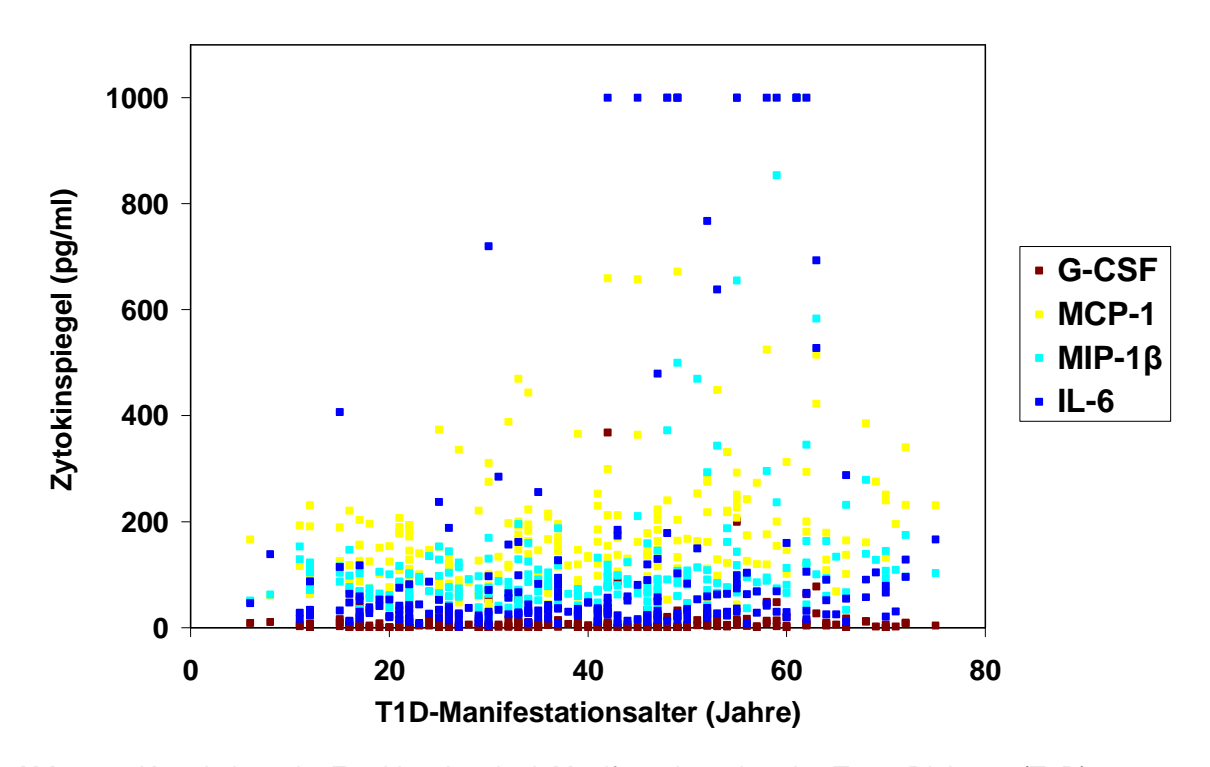


Abb. 17: Korrelationsplot Zytokinspiegel mit Manifestationsalter des Typ 1 Diabetes (T1D): G-CSF, MCP-1, MIP-1 β und IL-6 G-CSF = Granulozyten koloniestimuliernder Faktor, MCP-1 = Monocyte Chemoattractant Protein 1, MIP-1 β = Makrophagen Inflammatorisches Protein 1 β , IL = Interleukin

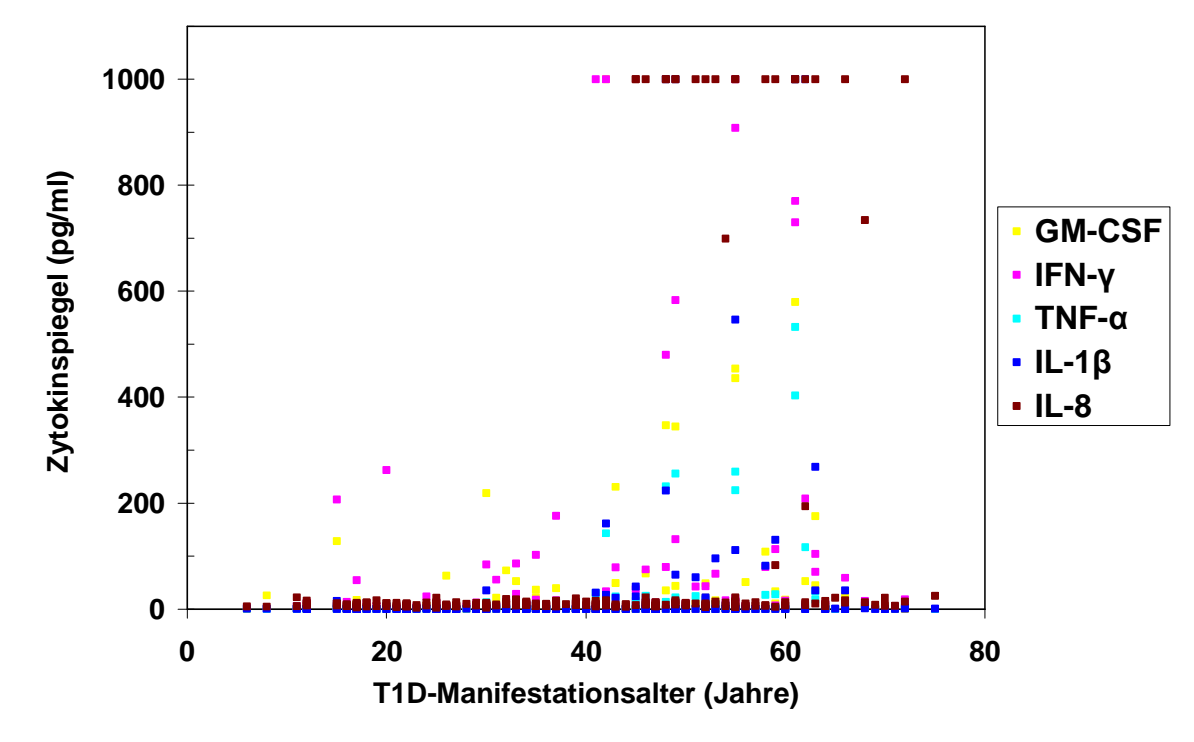


Abb. 18: Korrelationsplot Zytokinspiegel mit Manifestationsalter des Typ 1 Diabetes (T1D): GM-CSF, IFN- γ , TNF- α , IL-1 β und IL-8 GM-CSF = Granulozyten-Makrophagen koloniestimuliernder Faktor, IFN- γ = Interferon gamma, TNF- α = Tumor Nekrose Faktor α , IL = Interleukin

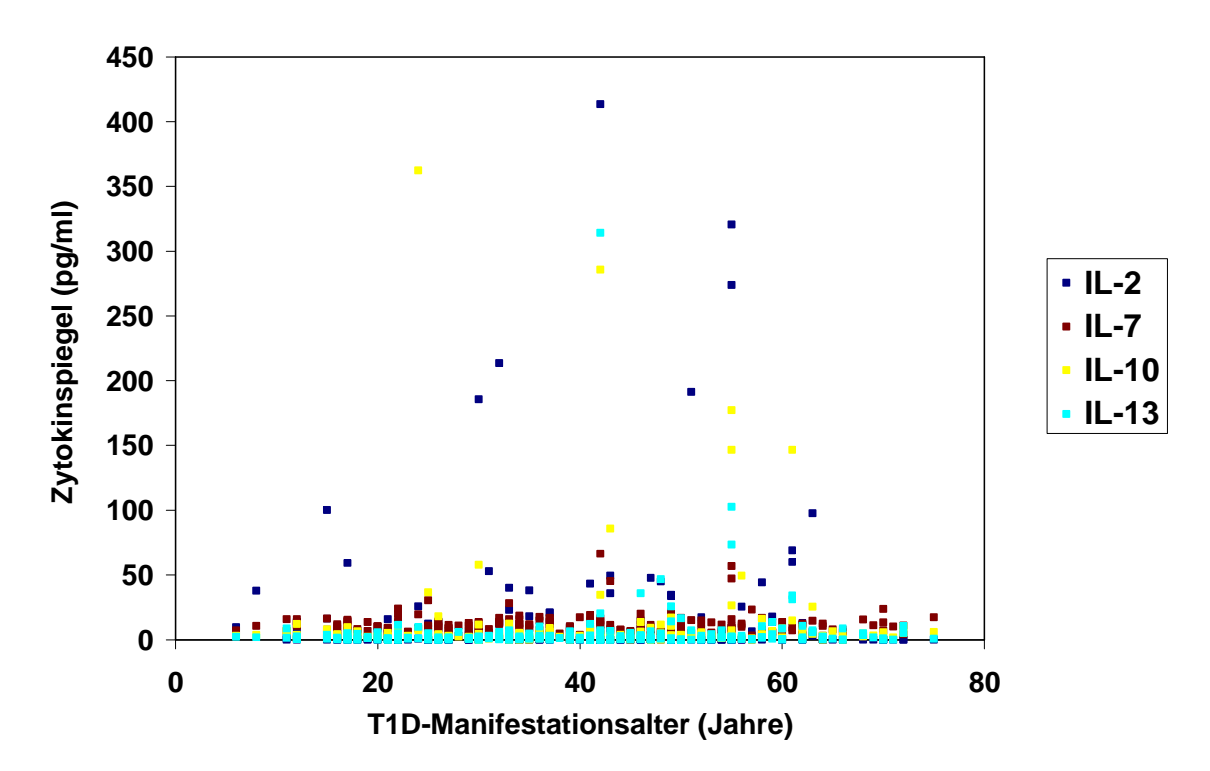


Abb. 19: Korrelationsplot Zytokinspiegel mit Manifestationsalter des Typ 1 Diabetes (T1D): IL-2, IL-7, IL-10 und IL-13 IL = Interleukin

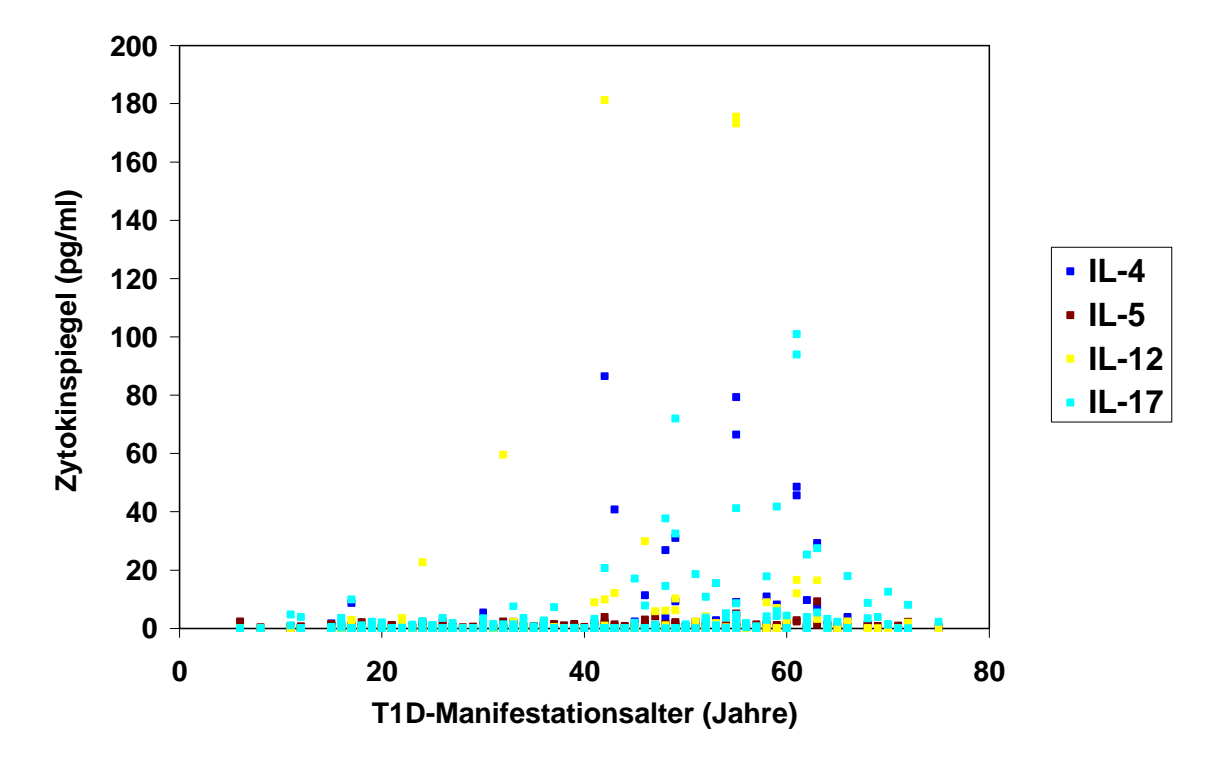


Abb. 20: Korrelationsplot Zytokinspiegel mit Manifestationsalter des Typ 1 Diabetes (T1D): IL-4, IL-5, IL-12 und IL-17 IL = Interleukin

Den Zusammenhang Zytokine und Geschlecht betreffend ergaben sich keine signifikanten Unterschiede.

3.3.3 Korrelation der Zytokine untereinander

Aus der Korrelationsanalyse der Zytokine untereinander zeigten sich Zusammenhänge bestimmter Zytokinmuster. Es ergaben sich signifikant positive Korrelationen zwischen den Zytokinen IFN-γ, TNF-α und IL-1β. Diese Korrelationen konnten bei Betrachtung aller Probanden (n=237) nachgewiesen werden (Tab. 8). Bei alleiniger Betrachtung der Probanden mit Zytokinbestimmung zum Zeitpunkt der T1D-Manifestation (n=151) konnten diese auch biologisch plausible Assoziation verstärkt beobachtet werden (Tab. 9).

Tab. 8: Korrelation der Zytokine untereinander für alle T1D-Patienten

GM-CSF = Granulozyten-Makrophagen koloniestimuliernder Faktor, G-CSF = Granulozyten koloniestimuliernder Faktor, IFN- γ = Interferon γ , TNF- α = Tumor Nekrose Faktor α , MCP-1 = Monocyte Chemoattractant Protein 1, MIP-1 β = Makrophagen inflammatorisches Protein 1 β , IL = Interleukin

	GM- CSF	G-CSF	IFN-γ	TNF-α	MCP-1	MIP-1β	IL-1β	IL-2	IL-4	IL-5	IL-6	IL-7	IL-8	IL-10	IL-12	IL-13	IL-17
GM- CSF		0,613	0,647	0,650	0,258	0,345	0,672	0,632	0,671	0,399	0,627	0,182	0,274	0,455	0,586	0,446	0,456
G-CSF	0,613		0,606	0,650	0,382	0,377	0,716	0,475	0,588	0,533	0,636	0,204	0,337	0,556	0,567	0,527	0,513
IFN-γ	0,647	0,606		0,738	0,326	0,510	0,781	0,535	0,700	0,483	0,601	0,154	0,476	0,520	0,603	0,594	0,516
TNF-α	0,650	0,650	0,738		0,391	0,521	0,723	0,450	0,672	0,490	0,552	0,115	0,371	0,470	0,545	0,592	0,634
MCP-1	0,258	0,382	0,326	0,391		0,318	0,329	0,230*	0,355	0,431	0,373	0,089	0,411	0,285	0,309	0,331	0,483
МІР-1β	0,345	0,377	0,510	0,521	0,318		0,588	0,152	0,450	0,340	0,368	0,032	0,399	0,353	0,322	0,315	0,603
IL-1β	0,672	0,716	0,781	0,723	0,329	0,588		0,524	0,667	0,537	0,658	0,113	0,445	0,513	0,560	0,560	0,583
IL-2	0,632	0,475	0,535	0,450	0,230	0,152	0,524		0,457	0,320	0,563	0,181	0,203	0,370	0,467	0,436	0,225
IL-4	0,671	0,588	0,700	0,672	0,355	0,450	0,667	0,457		0,479	0,564	0,082	0,434	0,501	0,691	0,556	0,536
IL-5	0,399	0,533	0,483	0,490	0,431	0,340	0,537	0,320	0,479	1	0,428	0,121	0,329	0,497	0,523	0,506	0,441
IL-6	0,627	0,636	0,601	0,552	0,373	0,368	0,658	0,563	0,564	0,428		0,134	0,419	0,427	0,474	0,413	0,422
IL-7	0,182	0,204	0,154	0,115	0,089	0,032	0,113	0,181	0,082	0,121	0,134		0,095	0,316	0,159	0,162	0,005
IL-8	0,274	0,337	0,476	0,371	0,411	0,399	0,445	0,203	0,434	0,329	0,419	0,095		0,260	0,357	0,306	0,348
IL-10	0,455	0,556	0,520	0,470	0,285	0,353	0,513	0,370	0,501	0,497	0,427	0,316	0,260		0,514	0,571	0,436
IL-12	0,586	0,567	0,603	0,545	0,309	0,322	0,560	0,467	0,691	0,523	0,474	0,159	0,357	0,514		0,610	0,428
IL-13	0,446	0,527	0,594	0,592	0,331	0,315	0,560	0,436	0,556	0,506	0,413	0,162	0,306	0,571	0,610		0,454
IL-17	0,456	0,513	0,516	0,634	0,483	0,603	0,583	0,225	0,536	0,441	0,421	0,005	0,348	0,436	0,428	0,454	

Starke Korrelation (Spearman Korrelationskoeffizient = 1,000 bis 0,750; p < 0,0001)

Mittlere Korrelation (Spearman Korrelationskoeffizient = 0,750 bis 0,500; p < 0,001)

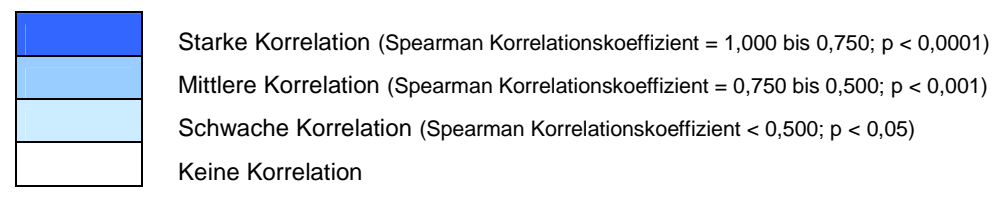
Schwache Korrelation (Spearman Korrelationskoeffizient < 0,500; p < 0,05)

Keine Korrelation

Tab. 9: Korrelation der Zytokine untereinander für Patienten mit Zytokinbestimmung bei T1D-Manifestation

GM-CSF = Granulozyten-Makrophagen koloniestimuliernder Faktor, G-CSF = Granulozyten koloniestimuliernder Faktor, IFN- γ = Interferon γ , TNF- α = Tumor Nekrose Faktor α , MCP-1 = Monocyte Chemoattractant Protein 1, MIP-1 β = Makrophagen inflammatorisches Protein 1 β , IL = Interleukin

	GM- CSF	G-CSF	IFN-γ	TNF-α	MCP-1	МІР-1β	IL-1β	IL-2	IL-4	IL-5	IL-6	IL-7	IL-8	IL-10	IL-12	IL-13	IL-17
GM- CSF		0,657	0,720	0,687	0,353	0,383	0,735	0,701	0,744	0,459	0,694	0,091	0,375	0,502	0,631	0,527	0,521
G-CSF	0,657		0,659	0,665	0,445	0,394	0,767	0,586	0,649	0,637	0,705	0,121	0,378	0,567	0,670	0,612	0,537
IFN-γ	0,720	0,659		0,770	0,414	0,557	0,822	0,602	0,767	0,594	0,648	0,055	0,543	0,548	0,662	0,636	0,576
TNF-α	0,687	0,665	0,770		0,502	0,575	0,768	0,542	0,743	0,568	0,623	-0,007	0,483	0,489	0,623	0,651	0,690
MCP-1	0,353	0,445	0,414	0,502		0,394	0,426	0,275	0,490	0,484	0,449	0,032	0,451	0,393	0,480	0,397	0,571
МІР-1β	0,383	0,394	0,557	0,575	0,394		0,623	0,229	0,520	0,336	0,437	-0,103	0,469	0,274	0,410	0,315	0,620
IL-1β	0,735	0,767	0,822	0,768	0,426	0,623		0,606	0,737	0,605	0,703	-0,023	0,496	0,475	0,612	0,585	0,625
IL-2	0,701	0,586	0,602	0,542	0,275	0,229	0,606		0,572	0,476	0,613	0,165	0,223	0,457	0,533	0,529	0,285
IL-4	0,744	0,649	0,767	0,743	0,490	0,520	0,737	0,572		0,534	0,667	0,028	0,497	0,505	0,756	0,639	0,635
IL-5	0,459	0,637	0,594	0,568	0,484	0,336	0,605	0,476	0,534		0,492	0,021	0,371	0,536	0,603	0,627	0,441
IL-6	0,694	0,705	0,648	0,623	0,449	0,437	0,703	0,613	0,667	0,492		0,019	0,450	0,443	0,528	0,501	0,471
IL-7	0,091	0,121	0,055	-0,007	0,032	-0,103	-0,023	0,165	0,028	0,021	0,019		0,008	0,285	0,114	0,079	-0,211
IL-8	0,375	0,378	0,543	0,483	0,451	0,469	0,496	0,223	0,497	0,371	0,450	0,008		0,255	0,410	0,399	0,450
IL-10	0,502	0,567	0,548	0,489	0,393	0,274	0,475	0,458	0,505	0,536	0,443	0,285	0,255		0,592	0,641	0,407
IL-12	0,631	0,670	0,662	0,623	0,480	0,410	0,612	0,533	0,756	0,603	0,528	0,114	0,410	0,592	1	0,699	0,596
IL-13	0,527	0,612	0,636	0,651	0,397	0,315	0,585	0,529	0,639	0,627	0,501	0,079	0,399	0,641	0,699		0,476
IL-17	0,521	0,537	0,576	0,690	0,571	0,620	0,625	0,285	0,635	0,441	0,471	-0,211	0,450	0,407	0,596	0,476	



Um die Information, die in der großen Menge dieser unabhängigen Zytokin-Variablen enthalten ist, zu komprimieren wurde eine Hauptkomponenten- und Faktorenanalyse durchgeführt. Dazu wurden möglichst wenige neue Variablen, wir nennen sie Hauptkomponenten bzw. Faktoren, ermittelt, die möglichst viel der Gesamtvarianz der Daten erklären.

Hauptkomponentenanalyse

Die Hauptkomponentenanalyse ist ein Dimensionsreduktionsverfahren. Hierbei werden die multivariaten Daten zu neuen, wichtigen Variablen, sogenannten Hauptkomponenten, zusammengefasst. Die neuen Variablen werden aus den vorhandenen Variablen als Linearkombination bestimmt.

Im vorliegenden Fall wurde eine neue Variable als erste Hauptkomponente geschaffen, die 63,2% der gesamten Variabilität der Daten beschreibt. Eine zweite Hauptkomponente steht senkrecht auf der ersten Variablen und erfasst zusätzlich 22,9% der verbleibenden Variabilität der Daten. Zwei Hauptkomponenten erklären somit 86,1% der Variationen.

Die erste Hauptkomponente korreliert positiv mit allen gemessenen Zytokinen (IL-1 β , II-2, IL-4, IL-5, IL-6, IL-7, IL-8, IL-10, IL-12, IL-13, IL-17, TNF- α , IFN- γ , GM-CSF, G-CSF, MCP-1, MIP-1 β). Die zweite Hauptkomponente korreliert teils positiv (IL-1 β , IL-6, IL-8, TNF-a, G-CSF, MCP-1, MIP-1 β), teils negativ (IL-2, IL-4, IL-5, IL-7, IL-10, IL-12, IL-13, IL-17, IFN- γ , GM-CSF) (Tab. 10).

Tab.10: Hauptkomponentenanalyse (Korrelationskoeffizienten). Gelb = positive Korrelation mit Hauptkomponente 1, blau = positive Korrelation mit Hauptkomponente 2, hellblau = negative Korrelation mit Hauptkomponente 2 GM-CSF = Granulozyten-Makrophagen koloniestimuliernder Faktor, G-CSF = Granulozyten koloniestimuliernder Faktor, IFN-γ = Interferon gamma, TNF-α = Tumor Nekrose Faktor α, MCP-1 = Monocyte Chemoattractant Protein 1, MIP-1β = Makrophagen Inflammatorisches Protein 1 β, IL = Interleukin

	Hauptkomponente 1	Hauptkomponente 2
IL-1β	0,082	0,454
IL-2	0,291	-0,128
IL-4	0,298	-0,096
IL-5	0,287	-0,116
IL-6	0,233	0,282
IL-7	0,274	-0,155
IL-8	0,052	0,314
IL-10	0,191	-0,022
IL-12	0,291	-0,139
IL-13	0,286	-0,122
IL-17	0,292	-0,070
TNF-α	0,296	0,099
IFN-γ	0,296	-0,061
GM-CSF	0,297	-0,090
G-CSF	0,204	0,334
MCP-1	0,076	0,410
MIP-1β	0,084	0,460

Faktorenanalyse

Die Faktorenanalyse ist wie die Hauptkomponentenanalyse ebenfalls eine Dimensionsreduktionsmethode. Hier wird versucht, die Abhängigkeitsstruktur der Variablen durch wenige Einflussgrößen zu erklären. Diese Einflussgrößen, die meist nicht unmittelbar beobachtbar sind, werden als gemeinsame Faktoren bezeichnet. Im Unterschied zur Hauptkomponentenanalyse wird jede der beobachteten Variablen als Linearkombination der neuen gemeinsamen Faktoren beschrieben.

In der vorliegenden Analyse wurden zwei Faktoren gewählt um die Korrelationen der Variablen zu beschreiben. Faktor 1 ist dabei mit den Zytokinen IL-2, IL-4, IL-5, IL-6, IL-7, IL-10, IL-12, IL-13, IL-17, TNF-α, IFN-γ, GM-CSF und G-CSF assoziiert. Faktor 2 ist dagegen nur mit den Zytokinen IL-1β, IL-6, IL-8, G-CSF, TNF-α, MCP-1 und MIP-1β in Verbindung zu bringen (Tab. 11).

Tab. 11: Faktorenanalyse (Korrelationskoeffizienten/Faktorenladungen). Gelb = Assoziation mit Faktor 1, blau = Assoziation mit Faktor 2, weiß = keine Assoziation GM-CSF = Granulozyten-Makrophagen koloniestimuliernder Faktor, G-CSF = Granulozyten koloniestimuliernder Faktor, IFN- γ = Interferon gamma, TNF- α = Tumor Nekrose Faktor α , MCP-1 = Monocyte Chemoattractant Protein 1, MIP-1 β = Makrophagen Inflammatorisches Protein 1 β , IL = Interleukin

	Faktor 1	Faktor 2				
IL-1β	-0,004	0,923				
IL-2	0,983	0,039				
IL-4	0,994	0,103				
IL-5	0,969	0,054				
IL-6	0,569	0,728				
IL-7	0,933	-0,016				
IL-8	0,007	0,522				
IL-10	0,557	0,159				
IL-12	0,993	0,015				
IL-13	0,960	0,045				
IL-17	0,968	0,137				
TNF-α	0,869	0,478				
IFN-γ	0,959	0,169				
GM-CSF	0,987	0,114				
G-CSF	0,435	0,852				
MCP-1	0,013	0,794				
MIP-1β	-0,004	0,959				

3.4 Korrelation der Zytokine mit GAD65-Antikörper

3.4.1 Korrelation der Zytokine mit GADA (RIA), GADA (ELISA) – Bivariater Test

Bei bivariaten Analysen fanden sich geringe Korrelationen von:

• G-CSF mit GADA (RIA): r= -0,198 (p=0,0124)

• G-CSF mit GADA IgG1 (ELISA): r= -0,183 (p=0,0213)

• IL-5 mit GADA IgG_{qesamt} (ELISA): r= -0,180 (p=0,0230).

Für alle anderen Zytokine konnten keine signifikanten Korrelationen nachgewiesen werden.

3.4.2 Korrelation unterschiedlicher Zytokine mit Geschlecht, Manifestationsalter, Diabetesdauer, GADA (RIA) und GADA (ELISA) – Multivariate Testmodelle

Es sind insgesamt acht Variablen pro Proband vorhanden: Zytokin-Titer, Geschlecht, T1D-Manifestationsalter, Diabetesdauer, GAD65-Antikörper (RIA), GADA IgG_{gesamt} (ELISA), GADA IgG1 (ELISA) und GADA IgG4 (ELISA).

Bei bivariaten (zweidimensionalen) Analysen, bei denen wichtige Parameter wie Alter und Geschlecht nicht beachtet werden, können Zusammenhänge verborgen bleiben oder lediglich andeutungsweise erkannt werden. Deshalb wurden durch die Methode des multivariaten Testens alle oben genannten Variablen gemeinsam analysiert.

Es fanden sich signifikante positive Korrelationen zwischen den Zytokinen GM-CSF, G-CSF, IFN-γ, TNF-α, IL-4, IL-5, IL-6, IL-12, IL-17 und GADA IgG_{gesamt} (ELISA), sowie diverse niedrig-signifikante Korrelationen verschiedener Zytokine mit GAD-Autoantikörper. Tabelle 12 gibt einen Überblick über die Ergebnisse der multivariaten Analysen (Zusammenhang Zytokine-GADA).

Tab. 12: Multivariate Modelle – Korrelation der Zytokinspiegel mit GAD-Autoantikörper (GADA (Radioimmunoassay, RIA), GADA IgG_{gesamt} (Enzyme Linked ImmunoSorbant Assay, ELISA), IgG1 (ELISA), IgG4 (ELISA)). Fett gedruckt: signifikante Korrelation, normal gedruckt: niedrig-signifikante Korrelation, schwach gedruckt: keine Korrelation.

GM-CSF = Granulozyten-Makrophagen koloniestimuliernder Faktor, G-CSF = Granulozyten koloniestimuliernder Faktor, IFN- γ = Interferon gamma, TNF- α = Tumor Nekrose Faktor α , MCP-1 = Monocyte Chemoattractant Protein 1, MIP-1 β = Makrophagen Inflammatorisches Protein 1 β , IL = Interleukin, GADA = Glutamatdecarboxylase-Autoantikörper, Ig = Immunglobulin

		Parameter										
	GADA	(RIA)		gG _{gesamt} ISA)	GADA (ELI		GADA IgG4 (ELISA)					
	t-Wert	p-Wert	t-Wert p-Wert		t-Wert	p-Wert	t-Wert	p-Wert				
GM-CSF	-1,69	0,092	4,51	<0,0001	-2,03	0,044	0,15	0,885				
G-CSF	-2,22	0,028	4,73	<0,0001	-2,26	0,025	0,22	0,829				
IFN-γ	-1,46	0,145	4,21	<0,0001	-1,98	0,049	0,05	0,964				
TNF-α	-2,28	0,023	5,06	<0,0001	-2,32	0,021	0,17	0,862				
MCP-1	-1,91	0,057	3,78	0,0002	-1,45	0,149	0,34	0,736				
MIP-1β	-1,51	0,133	2,64	0,009	-1,09	0,279	0,13	0,900				
IL-1β	-0,99	0,323	1,95	0,052	-1,05	0,296	0,12	0,902				
IL-2	-1,69	0,093	3,94	0,0001	-1,79	0,075	0,11	0,916				
IL-4	-1,67	0,097	4,37	<0,0001	-2,02	0,044	0,11	0,916				
IL-5	-1,26	0,209	4,44	<0,0001	-2,24	0,026	0,19	0,853				
IL-6	-1,69	0,093	4,01	<0,0001	-2,05	0,042	0,13	0,895				
IL-7	-1,66	0,098	3,67	0,0003	-2,08	0,038	-0,06	0,954				
IL-8	-1,32	0,188	0,97	0,335	-1,04	0,301	-0,25	0,806				
IL-10	-2,18	0,030	1,86	0,064	-0,74	0,458	-0,31	0,759				
IL-12	-1,51	0,133	4,10	<0,0001	-1,93	0,054	0,12	0,903				
IL-13	-1,75	0,082	3,70	0,0003	-1,66	0,098	0,02	0,986				
IL-17	-1,46	0,147	4,61	<0,0001	-2,20	0,029	0,20	0,843				

Zusätzlich ergab sich eine signifikant positive Korrelation zwischen den Zytokinspiegeln von IL-8 und dem Alter bei T1D-Manifestation (t-Wert= 4,69, p<0,0001).

Hinsichtlich des Geschlechts und der Diabetesdauer konnten keine signifikanten Zusammenhänge gefunden werden.

4 Diskussion

4.1 Zusammenfassung der Ergebnisse

4.1.1 Antikörper

Glutamatdecarboxylase 65, Tyrosinphosphatase IA-2 und Insulin stellen die Hauptautoantigene im Typ 1 Diabetes dar. Autoantikörper gegen diese Antigene sind schon lange vor T1D-Manifestation im Serum detektierbar. Sie dienen der Klassifizierung der Erkrankung und werden verwendet, um die Krankheitsaktivität und den Krankheitsverlauf zu beurteilen [82].

Beim Auftreten erster Symptome des Diabetes können immundiagnostische Methoden bei Problemen der Zuordnung zu einer Krankheitsklasse sehr hilfreich sein. Das kombinierte Screening auf IAA und GADA bei Patienten unter 10 Jahren bzw. von IA2-Ab und GADA bei Patienten über 10 Jahren ist die immunologische Diagnostik erster Wahl [131, 157, 158, 164, 166]. Bei Verdacht auf LADA, bei Patienten über 30 Jahren und einem langsam progredienten Krankheitsverlauf, sollte das primäre Screening auf GADA erfolgen [90, 131, 154, 175]. GAD65-Autoantikörper treten in allen Krankheitsklassen des Typ 1 Diabetes auf. Um immunologische Unterschiede zwischen diesen Krankheitsklassen zu eruieren, stellt GADA den passenden Parameter dar.

Zur Analyse der GAD65-Autoantikörper-Titer wurden zwei Messmethoden verwendet: der Radioimmunoassay (RIA) und der Enzyme Linked ImmunoSorbant Assay (ELISA). Ein Vergleich der beiden Verfahren ergab, dass die GADA-Titer der beiden Methoden keine exakte Korrelation aufweisen. Der Zusammenhang zwischen GADA (RIA) und GADA IgG_{gesamt} bzw. IgG1 ist signifikant, für GADA IgG4 konnte allerdings keinerlei Korrelation mit GADA (RIA) erfasst werden.

Laut Hersteller hat der in dieser Arbeit verwendete GAD65-ELISA eine Sensitivität von 69% und eine Spezifität von 98% [143]. Für die Methode des GAD65-RIA konnte eine Sensitivität von 74-80% und eine Spezifität von 92-98% erzielt werden

[8]. In der vorliegenden Arbeit wurde jedoch ein vorselektioniertes Patientengut getestet, wodurch diese Werte der Sensitivität und Spezifität auf diese Arbeit nicht direkt übertragbar sind.

Als mögliche Erklärung für die Ergebnisabweichungen zwischen ELISA und RIA können Unterschiede in den Versuchsbedingungen verantwortlich sein. Im Versuchsablauf des RIA liegt das Antigen GAD65 in löslicher Form vor, im ELISA dagegen in fester Phase. Bei ELISA ändern die betreffenden Autoantigene, gerade beim klassischen "Coating" auf ELISA-Platten, ihre native sterische Konformation. Als Folge davon werden die entstandenen linearen Epitope von den Autoantikörpern schlechter erkannt, so dass ein deutlicher Verlust an Sensitivität droht [55]. Die verringerte Sensitivität beruht hauptsächlich auf dem Unvermögen, auch niedrig-titrige GADA in T1D-Seren nachzuweisen. Diese Tatsache haben wir versucht im Studiendesign zu umgehen, indem lediglich hoch-titrige GADA-Seren verwendet wurden.

Flüssigphasenassays zeigten bei sehr hohen Antikörperkonzentrationen einen Signalabfall, der auf einer inkompletten Antigen-Antikörper-Reaktion beruht, dem sog. "prozone" Effekt.

Es muss hier verdeutlicht werden, dass die Methoden RIA und ELISA letztendlich nicht "die gleichen" Antikörper-Populationen nachweisen.

Der Radioimmunassay gilt als Goldstandard zur Bestimmung der GAD65-Autoantikörper, wogegen der ELISA sich bisher nicht etablieren konnte.

Glutamatdecarboxylase 65 stellt ein Hauptautoantigen im T1D dar [80, 120]. Antikörper gegen GAD65 gehören größtenteils zur Immunglobulinklasse G. Die vier IgG-Subklassen stellen den Hauptanteil des Serumimmunglobulins dar.

Studien an Tiermodellen des autoimmunen Diabetes haben gezeigt, dass die Immunreaktion durch eine Th1-dominierte Antwort geprägt ist [16, 67, 110, 151]. Bei den T1D-Klassen, die erst im höheren Alter ihre Manifestation zeigen, soll die lange Latenzphase durch eine wenig aggressive Th2-Antwort bedingt sein [75, 132]. Andere Studien implizieren, dass T1D durch eine spontan auftretende Th1-Autoimmunität gegen ein primäres Autoantigen entsteht, die sich im Verlauf der Erkrankung auf weitere Autoantigene der pankreatischen Inseln ausweitet sog. "epitope spreading" [103, 144, 145, 146].

Im Menschen gibt es Hinweise darauf, dass die Th2-Immunität mit IgG4 und IgE Antikörpern assoziiert ist, da die Bildung dieser beiden Antikörpersubklassen durch das Th2 Zytokin IL-4 stimuliert werden kann [22, 91] und da diese Antikörper charakterisisch für die Th2-dominierte Antwort bei Atopie sind. Die IgG-Subklasse, die in Th1-dominierten Immunantworten gefunden wird, ist häufig auf IgG1 begrenzt, kann aber auch andere Subklassen, wie IgG2 und IgG3, miteinschließen [137, 163].

In unseren Analysen zeigen sich für IgG4 GADA höhere mediane Titer als für IgG1 GADA. Da in dieser Arbeit für IgG1 und IgG4 GADA keine absoluten Werte, sondern nur sog. Ulm Units, eine arbiträre Einheit, ermittelt wurden, können diese Daten jedoch quantitativ nicht weiter interpretiert werden.

Aus anderen Studien an Immunglobulin G Subklassen der Autoantikörper GAD65 weiß man jedoch, dass IgG1 bei den GAD65-Autoantikörpern die dominante Subklasse darstellt [22, 49, 66]. So zeigte eine Untersuchung der Antikörper-Subklassen der BABYDIAB-Studie, dass GAD65-Autoantikörper von einer IgG1-Antwort dominiert werden. Das Auftreten von einer möglicherweise Th2-assoziierten IgG4-Antwort war in deren Kohorte nicht mit einer Protektion vor T1D in Verbindung zu bringen [10].

Bei den Immunglobulin G GAD65-Autoantikörpern, die durch ELISA detektiert wurden, fällt auf, dass es deutliche Titer-Unterschiede zwischen den Geschlechtern gibt. Die weiblichen Patienten erreichen höhere mediane Level als die männlichen Patienten.

Frauen haben eine höhere Inzidenz an autoimmunen Erkrankungen [21]. Bei der Inzidenz des T1D konnten keine Geschlechtsunterschiede gefunden werden. Es liegen bereits Daten aus anderen Studien vor, die darauf hinweisen, dass weibliche T1D-Patienten höhere GADA-Level haben als männliche Patienten [88, 129].

Insgesamt konnte in unseren Analysen für den T1D gezeigt werden, dass die GAD65-Autoantikörper-Level (RIA), die IgG-GADA und die IgG-Subklassen IgG1 und IgG4 GADA größtenteils unabhängig vom Alter der T1D-Manifestation sind. Korrelationen, die nachgewiesen wurden, können durch Ausreißer erklärt werden.

Das Auftreten von Insulin-Autoantikörpern ist im Verlauf der T1D-Entwicklung altersabhängig [157, 158, 165, 166]. Für GAD65-Autoantikörper konnte noch kein eindeutiger Zusammenhang mit dem Alter festgestellt werden. Es gibt Studien, die zeigen, dass weibliche T1D-Patienten im mittleren Lebensalter die höchsten GADA-Titer aufweisen [88, 129]. Auch unsere Ergebnisse konnten für weibliche T1D-Patienten eine positive Korrelation zwischen IgG1 GADA Leveln und Alter zeigen.

Hillman et al. implizieren, dass es einen Unterschied in den GAD65-Antikörper IgG-Subklassen zwischen den Krankheitsklassen T1D und LADA gibt. IgG4 GADA scheinen häufiger im LADA als im T1D aufzutreten [46]. Mit unseren Daten konnten wir diese Ergebnisse nicht belegen. Dies könnte u.a. daran liegen, dass Hillman et al. in seinen Versuchen einen Radioimmuno-Precipitations-Assay mit IgG-Subklassen spezifischer Sepharose verwendeten, wogegen wir einen Enzyme Linked ImmunoSorbant Assay verwendet haben (s.o.).

Der LADA kann anhand der Höhe der Autoantikörper-Level in zwei Subklassen unterteilt werden: Der LADA Typ 1 ist durch hohe GAD65-Autoantikörper-Titer und durch Insulindefizienz charakterisiert, wogegen der LADA Typ 2 eher niedrige GAD65-Autoantikörper-Titer aufweist. Der LADA Typ 1 ist phänotypisch dem klassischen T1D gleich, der LADA Typ 2 zeigt den klinischen und metabolischen Phänotyp des Typ 2 Diabetikers [86, 90].

Diese Vielfalt der verschiedenen Subklassen des T1D inklusive des LADAs lässt darauf schließen, dass die individuelle Einordnung der Patienten sehr schwierig ist. Man benötigt umfangreiche Daten und eine Anwendung im klinischen Alltag findet man selten. Leider war es daher in dieser Arbeit nicht möglich, die Patienten den Subklassen zuzuordnen. Wir konnten lediglich nach dem Alter der Diabetesmanifestation differenzieren.

4.1.2 Zytokine

Bei der Pathogenese des Typ 1 Diabetes kommt es zu einer Infiltration der pankreatischen Inseln durch pathogene T-Zellen, B-Zellen und Makrophagen [9, 126]. Die dabei vom Insulitisinfiltrat produzierten Zytokine spielen eine wichtige Rolle als Effektormoleküle der β-Zelldestruktion [24, 173].

Zytokine wirken auf Mikroebene, lassen sich aber als Marker auf Makroebene im Serum oder Plasma gut bestimmen. In der vorliegenden Arbeit wurden Zytokine im peripheren Serum der T1D-Patienten analysiert.

Die Zytokinproduktion im Menschen ist ein dynamischer Prozess, welcher vielen Einflussfaktoren unterliegt. Es muss darauf hingewiesen werden, dass bei Zytokinbestimmungen im peripheren Blutserum nicht geklärt und beachtet werden kann, wo der Ursprungsort dieser Zytokine ist.

Betrachtet man die medianen Zytokinlevel aller Patienten so fällt auf, dass MCP-1, MIP-1β und IL-6 relativ hohe Titer annehmen.

MCP-1 (CCL2) und MIP-1β (CCL4) gehören zur Gruppe der CC-Chemokine. Sie spielen eine zentrale Rolle in inflammatorischen Prozessen, indem sie die Leukozytenmigration zum Ort der Entzündung regulieren. Dem Zytokin IL-6 werden sowohl pro- als auch antiinflammatorische Effekte zugeordnet [5, 6]. Es ist mitunter verantwortlich für die Genese von Fieber und die Aktivierung von Akute-Phase-Reaktionen.

MCP-1 und IL-6 gehören zu den Markern für chronisch vaskuläre Entzündungen. Sowohl T1D-Patienten als auch T2D-Patienten weisen erhöhte Serumwerte dieser beiden Zytokine auf [1, 56, 121].

In der vorliegenden Studie konnte zwischen den meisten Zytokinen (GM-CSF, G-CSF, IFN-γ, TNF-α, MCP-1, MIP-1β, IL-1β, IL-4, IL-5, IL-6, IL-7, IL-8, IL-12, IL-13, IL-17) und dem Manifestationsalter des T1D eine positive Korrelation nachgewiesen werden. Diese Korrelationen sind jedoch nicht sehr stark und können auch durch generelle Veränderungen des Zytokinmusters durch das menschliche Altern und die Zunahme von Komorbidität im Alter bedingt sein.

Studien an Mäusen suggerieren einen altersabhängigen Shift von Th1-Zytokinen (IL-2, IFN-γ) zu Th2-Zytokinen (IL-4, IL-6, IL-10) [133]. *Gardner et al.* gab einen Überblick über 60 Studien an Menschen, bei denen Th1-Zytokine, Th2-Zytokine bzw. beide evaluiert worden waren [36]. Die Ergebnisse sind teilweise sehr widersprüchlich [36]. Die altersassoziierten Veränderungen in der Zytokinproduktion bewirken nicht immer einen Shift zu Th2-Zytokinen [36].

Th1-Zellen und Th2-Zellen existieren nebeneinander in jedem Individuum [71] und können die Zytokinprofile im Blut beeinflussen. So können z.B. Virusinfektionen, die Th1-dominiert sind, eine Erhöhung von Zytokinen, wie TNF-α und IFN-γ, bewirken. Auch bei chronischer Herzinsuffizienz können TNF-α und andere proinflammatorische Zytokine erhöht sein [85, 174]. Weitere Komorbiditäten, wie Allergien, Asthma und COPD können das Zytokinmuster ebenfalls beeinflussen [116, 162]. Zahlreiche Peptide und damit auch Zytokine werden im Tubulussystem der Niere abgebaut. Mit sinkender Nierenfunktion wird damit die Clearance der Zytokine beeinträchtigt wodurch deren Konzentration im Serum ansteigen kann [30].

Daten aus Tiermodellen des Typ 1 Diabetes deuten darauf hin, dass proinflammatorische Th1-Zytokine die Progression der Erkrankung bewirken und antiinflammatorische Th2-Zytokine eine protektive Wirkung gegenüber der Erkrankung zeigen [87, 144]. *Durinovic-Belló et al.* unterstützen dagegen die Hypothese, dass sowohl Th1-Zytokine, als auch Th2-Zytokine in den Pathomechanismus des T1D involviert sind [31].

Arif et al. konnten zeigen, dass bei klassischen T1D-Patienten neben Th1-Zytokin (IFN-γ) produzierenden T-Zellen auch T-Zellen nachweisbar sein können, die Th2-Zytokine (IL-10) produzieren [2]. Dabei waren Patienten, die eine Th2-Antwort aufwiesen, zum Zeitpunkt der T1D-Manifestation signifikant älter als Patienten, die lediglich eine Th1-Antwort zeigten [2]. Dies impliziert, dass bei Patienten mit vorhandener Th2-Antwort die Erkrankung weniger progressiv ist und, dass Th2-Zytokine für die Latenz des autoimmunen Diabetes verantwortlich sein können [2].

Betrachtet man die untersuchten Patienten, bei denen die Zytokinbestimmung zum Zeitpunkt der T1D-Manifestation stattfand, so lässt sich eine signifikante positive Korrelation bestimmter Zytokine untereinander erkennen. Die vorliegenden Analysen zeigen einen starken Zusammenhang von IFN- γ , TNF- α und IL-1 β untereinander.

IFN-γ und TNF-α werden vorwiegend von Th1-Zellen produziert und stellen wichtige Vertreter der proinflammatorischen Zytokine dar. IL-1β zählt ebenfalls zu den proinflammatorischen Zytokinen und wird v.a. von Makrophagen produziert.

Es ist bekannt, dass ein "Cocktail" aus diesen drei Zytokinen, IFN-γ, TNF- α und IL-1 β , *in vitro* toxisch auf menschliche Inselzellen wirkt [97]. Tierexperimentell konnte gezeigt werden, dass IFN-γ und TNF- α allein keine β -Zellzerstörung verursachen. In Kombination verabreicht sind sie jedoch β -zelltoxisch und induzieren die Bildung von NO in diesen Zellen [78, 139]. Im Tiermodell besitzt auch IL-1 β eine selektive Zytotoxizität gegen isolierte β -Zellen der Ratte [92, 93, 94]. Dieser Effekt wird durch die Anwesenheit von IFN- γ und TNF- α sogar noch potenziert [19, 41, 95, 96, 112].

Zum Zeitpunkt der T1D Manifestation können erhöhte Level von IL-1, TNF-α und IFN-γ sowohl in Tiermodellen als auch im Mensch nachgewiesen werden [16, 29, 44, 50, 51, 61, 96, 114, 127, 150, 161].

In unseren statistischen Analysen haben wir zur Minimierung der Datenkomplexität der Zytokine das hypothetische Modell der Hauptkomponentenanalyse angewandt, in der die Zytokinvariablen in zwei Hauptkomponenten, d.h. lineare Funktionen, die aus den Variablen gebildet werden, zusammengefasst wurden.

Die erste Hauptkomponente korreliert dabei positiv mit allen gemessenen Zytokinen. Man vermutet, dass es sich dabei vereinfacht um eine Aktivierung des Immunsystems handeln könnte.

Die zweite Hauptkomponente korreliert teils positiv, teils negativ mit den Zytokinen. Ein positiver Zusammenhang zeigt sich dabei für die Zytokine IL-1β, IL-6, IL-8, TNF-α, G-CSF, MCP-1 und MIP-1β. Diese Zytokine können von aktivierten Makrophagen sezerniert werden. Die Aktivierung von Th1-Zellen durch Makrophagen führt unter anderem zur Synthese von MCP-1 [40]. Es wird angenommen, dass in der Pathogenese des T1D Zytokine, die von

inflammatorischen Th1-Zellen und aktivierten Makrophagen sezerniert werden, zum Verlust der β-Zell-Funktion und zum Absterben dieser Zellen führen [96, 115]. Durch Studien ist belegt, dass die proinflammatorischen Zytokine IL-1β, IL-6 und TNF-α einen zytotoxischen, zytostatischen oder zytozidalen Effekt auf pankreatische Inselzellen durch die Produktion des Zellgiftes NO haben [33, 142]. Hussain et al. konnten sogar zeigen, dass um den Zeitpunkt der T1D-Manifestation erhöhte Level von Zytokinen vorliegen, die von Makrophagen gebildet werden (speziell TNF-α und IL-1) [51]. Die zweite Hauptkomponente könnte die Immunreaktion durch Th1-Zellen und Makrophagen zusammenfassen. Einen negativen Zusammenhang mit der zweiten Hauptkomponente ergibt sich für IL-2, IL-4, IL-5, IL-10, IL-12, IL-13, IL-17, IFN-γ und GM-CSF. Hierunter gehören die Zytokine IL-4, IL-5, IL-10 und IL-13 zu den antiinflammatorischen Th2-Zytokinen [102]. Diese Zytokine bewirken eher eine humorale Immunantwort. Sie sollen protektiv sein, indem sie der T1D-Entwicklung entgegen wirken.

Die korrespondierend durchgeführte Faktorenanalyse ist. wie die Hauptkomponentenanalyse, ebenfalls ein Dimensionsreduktionsverfahren. Wir verwendeten hier zwei Faktoren, die als Einflussgrößen auf die Variablen Zytokin-Level der verschiedenen Zytokine angesehen werden können. Diese Einflussfaktoren sind oftmals nicht erkennbare Variablen.

Auch in dieser Analyse wird deutlich, dass IL-1 β , IL-6, IL-8, TNF- α , G-CSF, MCP-1 und MIP-1 β eine Gruppe aus proinflammatorischen Zytokinen bilden, die ein differentes Verhalten zu allen anderen gemessenen Zytokine zeigen.

Der Großteil dieser Zytokine (IL-1β, IL-6, TNF-α, MCP-1 und MIP-1β) kann dem sog. *Innate* Immunsystem zugeschrieben werden. Das *Innate* Immunsystem stellt ein angeborenes, unspezifisch wirkendes System dar, das in der Regel die erste, frühe Phase der Abwehr von Krankheitserregern bestimmt [108]. Es kann somit angenommen werden, dass die immunologischen Prozesse bei T1D eine Kombination aus aktiviertem adaptiven Immunsystem (T-Zellen, B-Zellen, Antigen präsentierende Zellen) und aktiviertem *Innate* Immunsystem darstellen.

4.1.3 Antikörper und Zytokine

Eine große Stärke unserer Untersuchungen ist die Vielfalt der Daten. Somit kann der Bezug zwischen den GAD65-Antikörpern und dem Zytokinmuster in Relation zum Alter des T1D-Erkrankungsbeginns analysiert werden.

Dabei zeigten sich signifikant positive Zusammenhänge zwischen den Zytokinen GM-CSF, G-CSF, IFN- γ , TNF- α , IL-4, IL-5, IL-6, IL-12, IL-17 und den Glutamatdecarboxylase65-Antikörpern der Subklasse IgG_{gesamt}. Dies könnte darauf hinweisen, dass hohe Level an Glutamatdecarboxyles65-Antikörper mit einer Aktivierung des gesamten Immunsystems mit konsekutiver Erhöhung der meisten Zytokine im peripheren Blut einhergehen.

Da sich diese Zusammenhänge lediglich im Rahmen von multiplem Testen gezeigt haben, muss eingeräumt werden, dass insgesamt kein eindeutiger Zusammenhang zwischen Antikörperlevel und Zytokinlevel gefunden werden konnte. Diese Tatsache könnte ein Indiz dafür sein, dass die Inselzell-Autoantikörper, insbesondere GAD65-Autoantikörper, lediglich einen Nebeneffekt bei der Zerstörung der pankreatischen β-Zellen darstellen. Sie scheinen nicht mit Stärke Immunreaktion Zusammenhang der der in zu stehen. Der Inselantikörperstatus, d.h. die Antikörperpositivität bzw. die Anzahl der positiven Autoantikörper (GADA; IA-2-Ab und ICA), ist dagegen mit der systemischen Immunregulation assoziiert [42]. Es muss jedoch betont werden, dass multivariate Statistikmethoden nicht eindeutig interpretierbar sind.

4.1.4 Probleme bei der Arbeit

Typ 1 Diabetes ist eine Erkrankung, die eine längere präklinische Latenzphase aufweist. Bereits in dieser Phase findet die Autoimmunreaktion statt, die zu der Zerstörung der Insulin produzierenden β-Zellen führt. Zum Zeitpunkt der Manifestation des T1D sind die immunologischen Prozesse gegen die pankreatischen Inseln fast beendet.

Inhalt dieser Studie war es, die Reaktionen des Immunsystems bei T1D-Patienten zu erfassen. Es wurden Seren von Patienten ausgewählt, die einen manifesten T1D haben. Ein Großteil der Seren wurde bei der Manifestation des T1D entnommen. Zu diesem Zeitpunkt ist die autoimmune Zerstörung der meisten β-Zellen (ca. 80%) bereits geschehen. Aus einer Vielzahl von Studien ist bekannt, dass T1D-assoziierte Autoantikörper nach T1D-Manifestation mit der Zeit abnehmen [28, 74, 169]. Die Manifestation der Erkrankung stellt einen guten Zeitpunkt dar, um die Immunreaktion bei T1D-Patienten zu erfassen.

Für die Beurteilung der vorliegenden Ergebnisse ist neben der sorgfältigen Probandenauswahl auch der methodische Ansatz wichtig.

In den letzten 20 Jahren der immunologischen Forschung sind Zytokine immer mehr in den Mittelpunkt des Forschungsinteresses gerückt. Zytokine können mittels verschiedener Messverfahren wie Enzyme Linked Immunosorbant Assay (ELISA), Radioimmuno Assay (RIA), messenger RNA, Westernblot und FACS bestimmt werden. In meiner Arbeit wurde ein spezieller Bead-based Multiplex Sandwich Immunoassay von *Bio-Rad* verwendet. Diese Methode entspricht einem Fluoreszenz-ELISA und ermöglicht die Detektion von 17 humanen Zytokinen in einem Versuch. Dieser Versuch wurde strikt nach den Angaben des Herstellers durchgeführt.

Eine Doppelbestimmung der Zytokin-Messwerte wurde nicht durchgeführt. Eine Minimierung der Fehlerbreite der Einzelmessungen wurde durch die Detektionsmethode des Zytokin-Assays erhalten, bei der jeweils 100 Einzelmessungen pro Well durchgeführt und gemittelt wurden.

Bei der Detektion der GAD65-Autoantikörper mittels ELISA wurden Doppelwerte bestimmt. Der jeweilige Mittelwert ging in die Auswertung ein.

Die Ergebnisse der beiden verwendeten Messmethoden können durch diverse Serumproteine beeinflusst werden. Um derartige Fehler zu verringern, wurden die Proben vor jedem Versuch abzentrifugiert.

Bei der großen Probandenzahl musste speziell bei dem ELISA auf eine Standardisierung der Teste geachtet werden. Die Inkubationszeiten wurden stets exakt eingehalten. Es wurden für jeden Versuch dieselben geeichten Pipetten verwendet und die Waschvorgänge wurden jeweils nach einem bestimmten Schema durchgeführt. Es könnten sich leichte Unterschiede in den Temperaturen der Reagenzien ergeben haben. Diese lassen sich einerseits durch unterschiedliche Umgebungstemperaturen und durch geringe Differenzen in den Zeiten der Auftauphase der Proben erklären.

Während der Versuchsphase ereignete sich leider bei der Firma Roche, die das ELISA Test-Kit herstellt, ein Produktionsproblem. Dies hatte zur Folge, dass ein Teil der verwendeten ELISA Test-Kits eine andere Kalibrierung aufwiesen.

Wie bereits erwähnt war die Einordnung der Patienten in die Subklassen des T1D leider nicht möglich. Bei der Datenauswertung wurde somit lediglich nach dem Alter der T1D-Manifestation differenziert. Der T1D mit Manifestation im Kindesund Jugendalter konnte damit relativ gut abgegrenzt werden. Zwischen den Subtypen T1D mit Manifestation im Erwachsenenalter und LADA konnte jedoch nicht unterschieden werden.

In den statistischen Analysen muss auf das Problem des multiplen Testens hingewiesen werden. Bei mehrfachem Testen am gleichen Datenmaterial ist die Wahrscheinlichkeit hoch, dass ein möglicher, aber nicht vorhandener Unterschied aufgedeckt wird. So sind die Ergebnisse am ehesten rein deskriptiv anzusehen.

4.2 Erklärungsmodelle – Immunnetzwerk

Obwohl es ausführliche Informationen über die Pathogenese des T1D in der NOD Maus und der BB Ratte gibt, besteht dagegen nur ein beschränktes Wissen über die Pathogenese des humanen Typ 1 Diabetes.

Durch Untersuchungen an der NOD-Maus ist ein komplexes pathogenetisches Bild entstanden [39]. Makrophagen/dendritische Zellen sind die Zelltypen, die bei der Entstehung des T1D als erste die Pankreasinseln infiltrieren [69]. Als initialer Schritt der immunologischen Kaskade werden Autoantigene der β -Zellen über MHC-Klasse-II Moleküle den CD4+ T-Helferzellen präsentiert. Aktivierte Makrophagen und CD4+ T-Zellen schütten daraufhin proinflammatorische Zytokine, wie IL-1 β , TNF- α und IFN- γ , aus. Diese Zytokine führen dazu, dass CD8+ T-Zellen zum Ort des Geschehens angelockt werden und dort über die Ausschüttung von Perforinen und Granzymen und durch Fas-mediierte Apoptose die β -Zellen zerstören [69]. Dies stellt nur eines von vielen möglichen Modellen der β -Zellzerstörung dar.

Eine weitere Hypothese ist, dass die pathogenetische Immunantwort bei der Inflammation der β -Zellen von Th1-Zellen mediiert wird [10, 22, 128]. Den Th2-Zellen wird eher eine protektive Funktion zugesprochen. Th1-Zellen und Th2-Zellen produzieren verschiedene Zytokin-Muster. Th1-Zellen sezernieren IL-2, IFN- γ und TNF- α und aktivieren zelluläre Immunität, wogegen Th2-Zellen IL-4, IL-5, IL-6, IL-9, IL-10 und IL-13 ausschütten und die humorale Immunität stimulieren. Studien behaupten, dass Th1-Zytokine β -zelldestruktiv wirken und Th2-Zytokine die β -Zellen schützen indem sie die Th1-Zytokin Expression supprimieren [133]. Selbst wenn dieses beschriebene Th1/Th2 Paradigma eine zu starke Vereinfachung erfährt, ist es trotzdem sehr wahrscheinlich, dass Th1-Zellen und die Th1-assoziierten Zytokine an der β -Zell-Zerstörung beteiligt sind [124].

Auch Makrophagen, die das initiale β -Zell-Infiltrat darstellen, sind an den Immunprozessen beteiligt. Sie sezernieren die Zytokine IL-1 (α und β), TNF- α und IFN- γ , die ebenfalls β -Zelldestruktion induzieren können.

4.3 Schlussfolgerung

Die Subklassen des T1D treten klinisch mit unterschiedlich langer Latenzphase in Erscheinung. Es wurden in dieser Arbeit keine immunologisch basierten Ursachen für die variable Latenz gefunden. Die Vermutung, dass bei juvenilem T1D eine Dominanz der Th1-Antwort vorliegt, wogegen der LADA eher durch eine Th2-Antwort geprägt ist, konnte jedenfalls nicht bestätigt werden. Es hat sich vielmehr gezeigt, dass im Serum von T1D-Patienten in jedem Alter sowohl IgG1 GAD65-Antikörper als auch IgG4 GAD65-Antikörper gefunden werden. Auch die Serum-Zytokine der T1D-Patienten zeigten in den Krankheitsklassen vergleichbare Profile. Eine Gruppe aus proinflammatorischen Zytokinen (IL-1β, IL-6, IL-8, TNF-α, G-CSF, MCP-1, MIP-1β), die eine Kombination aus aktiviertem adaptiven und aktiviertem *Innate* Immunsystem darstellen, legt ein von anderen Zytokinen differentes Verhalten dar.

Die hier vorgestellten Ergebnisse implizieren, dass alle Subklassen des T1D, von der Manifestation im Kindesalter bis zu LADA, durch ähnliche immunologische Prozesse geprägt sind.

5 Zusammenfassung

Der Diabetes mellitus Typ 1 (T1D) wird durch eine immunvermittelte Zerstörung der insulinproduzierenden β -Zellen des Pankreas verursacht. Man unterteilt den T1D in drei Subklassen, den T1D mit Manifestation im Kindesalter, den T1D mit Manifestation im Erwachsenenalter und den Latent Autoimmune Diabetes in Adults (LADA). Diese Krankheitsklassen unterscheiden sich v.a. im Manifestationsalter, aber auch hinsichtlich genetischer, immunologischer und klinischer Aspekte.

Es stellt sich die Frage, warum diese T1D-Subklassen unterschiedlich lange Phasen der Latenz aufweisen. Man vermutet, dass der juvenile T1D durch eine Th1-Zell-dominierte Immunantwort geprägt ist, wogegen bei den T1D-Klassen, die erst im Erwachsenenalter ihre Manifestation zeigen, eine weniger aggressive Th2-Antwort vorherrscht.

Um dieser Hypothese nachzugehen, wurden in der vorliegenden Arbeit immunologische Marker im peripheren Serum von "jungen" bis "alten" T1D-Patienten bestimmt. Mittels eines Enzyme Linked ImmunoSorbant Assay (ELISA) hat man die Antikörpersubklassen der GAD-Autoantikörper, speziell Immunglobulin G_{gesamt} , Immunglobulin G1 und Immunglobulin G4 gemessen. Zusätzlich wurden 17 humane Zytokine (Interleukine 1 β , 2, 4, 5, 6, 7, 8, 10, 12, 13, 17, TNF- α , INF- γ , GM-CSF, G-CSF, MCP-1 und MIP-1 β) durch einen Fluoreszenz-ELISA detektiert.

Insgesamt konnten in dieser Arbeit keine immunologisch basierten Ursachen für die variablen Latenzphasen der T1D-Subklassen gefunden werden. Sowohl die GAD-Autoantikörper-Subklassen als auch die Zytokine zeigten sich als größtenteils unabhängig vom Alter der Diabetesmanifestation. Die Vermutung, dass bei juvenilem T1D eine Dominanz der Th1-Antwort vorliegt, die durch die Antikörpersubklasse IgG1 und die Zytokine IL-2, TNF-α und INF-γ geprägt ist, konnte nicht bestätigt werden. Auch für den T1D im Erwachsenenalter ergab sich

kein, durch Dominanz der Antikörpersubklasse IgG4 und der Zytokine IL-4, IL-5, IL-6, IL-9, IL-10 und IL-13 ausgezeichnetes, Th2-Immunschema. Es konnte jedoch festgestellt werden, dass die Zytokine IL-1β, IL-6, IL-8, TNF-α, G-CSF, MCP-1, MIP-1β eine Gruppe aus proinflammatorischen Zytokinen bilden, die dem angeborenen Immunsystem zuzuschreiben sind und, die ein differentes Verhalten zu allen anderen Zytokinen zeigen.

Speziell zwischen den Zytokine IL-1 β , TNF- α und IFN- γ ergab sich ein Zusammenhang untereinander. Diese Zytokine nehmen in der Pathogenese des Typ 1 Diabetes eine besondere Rolle ein. Es wird vermutet, dass sie an der β -Zelltoxizität direkt beteiligt sind.

Die Ergebnisse weisen darauf hin, dass alle Subklassen des T1D durch sehr ähnliche immunologische Prozesse geprägt sind, wobei sowohl das angeborene, als auch das erworbene, adaptive Immunsystem involviert sind. Unterschiede im Zytokinmuster bzw. in den GAD65-Antikörper-Level in Abhängigkeit vom Alter der T1D-Manifestation konnten in dieser Arbeit weder widerlegt noch bestätigt werden.

Literaturverzeichnis

- 1. Amann B, Tinzmann R, Angelkort B: ACE Inhibitors Improve Diabetic Nephropathy Through Suppression of Renal MCP-1. Diabetes Care 26: 2421–2425 (2003)
- 2. Arif S, Tree TI, Astill TP, Tremble JM, Bishop AJ, Dayan CM, Roep BO, Peakman M: Autoreactive T cell responses show proinflammatory polarization in diabetes but a regulatory phenotype in health. J Clin Invest. 113: 451-463 (2004)
- 3. Atkinson MA, Bowman MA, Campbell L, Darrow BL, Kaufman DL, Maclaren NK: Cellular immunity to a determinant common to glutamate decarboxylase and coxsackie virus in insulin-dependent diabetes. J Clin Invest 94: 2125-2129. (1994)
- 4. Baekkeskov S, Aanstoot HJ, Chritgau S, Reetz A, Solimena M, Cascalho M, et al. Identification of the 64K autoantigen in insulin-dependent diabetes as the GABA-synthesizing enzyme glutamic acid decarboxylase. Nature 347: 151-156 (1990)
- 5. Barton BE, Shortall J, Jackson JV: Interleukins 6 and 11 protect mice from mortality in a staphylococcal enterotoxin-induced toxic shock model. Infect Immun 64: 714-718 (1996)
- 6. Barton BE: IL-6: insights into novel biological activities. Clin Immunol Immunopathol 85: 16-20 (1997)
- 7. Bell GI, Horita S, Karam JH: A polymorphic locus near the human insulin gene is associated with insulin-dependent diabetes mellitus. Diabetes 33: 176-183. (1984)
- 8. Bingley PG, Bonifacio E, Mueller PW: Diabetes Antibody Standardization Program: first assay proficiency evaluation. Diabetes 52: 1128-36 (2003)
- 9. Boehm BO, Bluestone JA: Differential Roles of Costimulatory Signaling Pathways in Type 1 Diabetes Mellitus. Rev Diabet Stud 1:156-164 (2004)
- 10. Bonifacio E, Scirpoli M, Kredel K, Fuchtenbusch M, Ziegler AG. Early autoantibody responses in prediabetes are IgG1 dominated and suggest antigen-specific regulation. J Immunol 163: 525-532 (1999)
- 11. Borg H, Gottsater A, Landin-Olsson M, Fernlund P, Sundkvist G. High levels of antigen-specific islet antibodies predict future beta-cell failure in patients with onset of diabetes in adult age. J Clin Endocrinol Metab 86: 3032-3038 (2001)

- 12. Borg H, Gottsater A, Fernlund P, Sundkvist G. A 12-year prospective study of the relationship between islet antibodies and beta-cell function at and after the diagnosis in patients with adult-onset diabetes. Diabetes 51: 1754-1762 (2002)
- 13. Bottazzo GF, Florin-Christensen A, Doniach D: Islet-cell antibodies in diabetes mellitus with autoimmune polyendocrine deficiencies. Lancet 2: 1279-1283 (1974)
- 14. Bu DF, Erlander MG, Hitz BC, Tillakaratne NJ, Kaufman DL, Wagner-McPherson CB, Evans GA, Tobin AJ. Two human glutamate decarboxylase, 65-kDa GAD and 67-kDa GAD, are each encoded by a single gene. Proc Natl Acad Sci U S A 89: 2115-2119. (1992)
- 15. Buschard K, Josefsen K, Horn T, Fredman P: Sulphatide and sulphatide antibodies in insulin-dependent diabetes mellitus. Lancet 342: 840 (1993)
- 16. Campbell IL, Kay TW, Oxbrow L, and Harrison LC: Essential role for interferon-γ and interleukin-6 in autoimmune insulin-dependent diabetes in NOD/Wehi mice. J Clin Invest 87: 739 -742 (1991)
- 17. Cantor AB, Krischer JP, Cuthbertson DD, Schatz DA, Riley WJ, Malone J, Schwartz S, Quattrin T, Maclaren NK: Age and family relationship accenuate the risk of insulin-dependent diabetes mellitus (IDDM) in relatives of patients with IDDM. J Clin Endocrinol Metab 80: 3739-3743 (1995)
- 18. Castano L, Russo E, Zhou L, Lipes MA, Eisenbarth GS: Identification and cloning of a granule autoantigen (carboxypeptidase-H) associated with type I diabetes. J Clin Endocrinol Metab 73: 1197-1201 (1991)
- 19. Cetkovic-Cvrlje M, Eizirik DL: TNF-α and IFN-γ potentiate the deleterious effects of IL-1β on mouse pancreatic islets mainly via generation of nitric oxide. Cytokine 6: 399-406 (1994)
- 20. Chao CC, Sytwu HK, Chen EL, Toma J, McDevitt HO: The role of MHC class II molecules in susceptibility to type 1 diabetes: identification of peptide epitopes and characterization of the T-cell repertoire. Proc Natl Acad Sci U S A 96: 9299-9304 (1999)
- 21. Cooper GS, Stroehla BC: The epidemiology of autoimmune disease. Autoimmun Rev 2: 119-125 (2003)
- 22. Couper JJ, Harrison LC, Aldis JJ, Colman PG, Honeyman MC, Ferrante A: IgG subclass antibodies to glutamic acid decarboxylase and risk for progression to clinical insulin-dependent diabetes. Hum Immunol 59: 493-499 (1998)

- 23. Crisa L, Mordes JP, Rossini AA: Autoimmune diabetes mellitus in the BB rat. Diabetes Metab Rev 8: 4-37 (1992)
- 24. Dahlén E, Dawe K, Ohlsson L, Hedlund G: Dendritic cells and macrophages are the first and major producers of TNF-alpha in pancreatic islets in the nonobese diabetic mouse. J Immunol 160: 3585-3593 (1998)
- 25. Dahlquist GG: Viruses and other perinatal exposures as initiating events for beta-cell destruction. Ann Med 29: 413-417 (1997)
- 26. Dahlquist GG, Patterson C, Soltesz G: Infections and vaccinations as risk factors for childhood type 1 (insulin-dependent) diabetes mellitus: a multicentre case-control investigation. EURODIAB substudy 2 study group. Diabetologia 43: 47–53 (2000)
- 27. Davies JL, Kawaguchi Y, Bennett ST, Copeman JB, Cordell HJ, Pritchard LE, Reed PW, Gough SC, Jenkins SC, Palmer SM, Balfour KM, Rowe BR, Farrall M, Barnett AH, Bain SC, Todd JA: A genome-wide search for human type 1 diabetes susceptibility genes. Nature 371: 130-136 (1994)
- 28. Decochez K, Tits J, Coolens JL, Van Gaal L, Krzentowski G, Winnock F, Anckaert E, Weets I, Pipeleers DG, Gorus FK: High frequency of persisting or increasing islet specific autoantibody levels after diagnosis of type 1 diabetes presenting before 40 years of age. The Belgian Diabetes Registry. Diabetes Care 23: 838-844 (2000)
- 29. Delovitch TL, Singh B: The nonobese diabetic mouse as a model of autoimmune diabetes: Immune dysregulation gets the NOD. Immunity 7: 727-738 (1997)
- 30. Druml W: Die Niere im akuten Nierenversagen: Vom Opfer zum Täter. Intensivmedizin und Notfallmedizin 40: 356-360 (2003)
- 31. Durinovic-Belló I, Schlosser M, Riedl M, Maisel N, Rosinger S, Kalbacher H, Deeg M, Ziegler M, Elliott J, Roep BO, Karges W, Boehm BO: Proand anti-inflammatory cytokine production by autoimmune T cells against preproinsulin in HLA-DRB1*04, DQ8 Type 1 diabetes. Diabetologia 47: 439-450 (2004)
- 32. Ellis TM, Atkinson MA: Early infant diets and insulin-dependent diabetes. Lancet 347: 1464–1465 (1996)
- 33. Erbagci AB, Tarakcioglu M, Coskun Y, Sivasli E, Sibel Namiduru E: Mediators of inflammation in children with type I diabetes mellitus: cytokines in type I diabetic children. Clini Biochem 34: 645-650 (2001)

- 34. Finck H, Holl R: Die soziale Dimension des Diabetes mellitus. In: Deutsche Diabetes-Union (Hrsg) Deutscher Gesundheitsbericht Diabetes 2007, Kirchheim + Co, Mainz, S. 102-112 (2006)
- 35. Fourlanos S, Dotta F, Greenbaum CJ, Palmer JP, Rolandson O, Colman PG, Harrison LC: Latent autoimmune diabetes in adults (LADA) should be less latent. Diabetologia 48: 2206-2212 (2005)
- 36. Gardner EM, Murasko DM: Age-related changes in Type 1 and Type 2 cytokine production in humans. Biogerontology 3: 271-290 (2002)
- 37. Gillespie KM, Bain SC, Barnett AH, Bingley PJ, Christie MR, Gill GV, Gale EA: The rising incidence of childhood type 1 diabetes and reduced contribution of high risk HLA haplotypes. Lancet 364: 1699-1700 (2004)
- 38. Gorus FK, Goubert P, Semakula C, Vandewalle CL, De Schepper J, Scheen A, Christie MR, Pipeleers DG: IA-2 autoantibodies in new-onset IDDM patients and help predict impending diabetes in their siblings. The Belgian Diabetes Registry. Diabetologia 40: 95-99 (1997)
- 39. Green EA, Flavell RA: The initiation of autoimmune diabetes. Curr Opin Immunol 11: 663-669 (1999)
- 40. Grewal IS, Rutledge BJ, Fiorillo JA, Gu L, Gladue RP, Flavell RA, Rollins BJ: Transgenic monocyte chemoattractant protein-1 (MCP-1) in pancreatic islets produces monocyte-rich insulitis without diabetes. J Immunol 159: 401 (1997)
- 41. Hamaguchi K, Leiter EH: (1990) Comparison of cytokine effects on mouse pancreatic cell and ß-cell lines. Viability, secretory function and MHC antigen expression. Diabetes 39: 415-425 (1990)
- 42. Hanifi-Moghaddam P, Schloot NC, Kappler S, Seissler J, Kolb H: An association of autoantibody status and serum cytokine levels in type 1 diabetes. Diabetes 52: 1137-1142 (2003)
- 43. Hauner H: Diabetesepidemie und Dunkelziffer. In: Deutsche Diabetes-Union (Hrsg) Deutscher Gesundheitsbericht Diabetes 2007, Kirchheim + Co, Mainz, S. 7-11 (2006)
- 44. Held W, MacDonald HR, Weissman IL, Hess MW, Mueller C: Genes encoding tumor necrosis factor α and granzyme A are expressed during development of autoimmune diabetes. Proc Natl Acad Sci U S A 87: 2239-2243 (1990)
- 45. Hermann R, Knip M, Veijola R, Simell O, Laine AP, Akerblom HK, Groop PH, Forsblom C, Pettersson-Fernholm K, Ilonen J; FinnDiane Study Group: Temporal changes in the frequencies of HLA genotypes in patients with type 1 diabetes Indications of an increased environmental pressure? Diabetologia 46: 420-425 (2003)

- 46. Hillman M, Törn C, Thorgeirsson H, Landin-Olsson M: IgG4-subclass of glutamic acid decarboxylase antibody is more frequent in latent autoimmune diabetes in adults than in type 1 diabetes. Diabetologia 47: 1984-1989 (2004)
- 47. Honeyman MC, Stone NL, Harrison LC: T-cell epitopes in type 1 diabetes autoantigen tyrosine phosphatase IA-2: potential for mimicry with rotavirus and other environmental agents. Mol Med 4: 231-239 (1998)
- 48. Honeyman MC, Coulson BS, Stone NL, Gellert SA, Goldwater PN, Steele CE, Couper JJ, Tait BD, Colman PG, Harrison LC: Association between rotavirus infection and pancreatic islet autoimmunity in children at risk of developing Type 1 diabetes. Diabetes 49: 1219-1324 (2000)
- 49. Hoppu S, Ronkainen MS, Kulmala P, Akerblom HK, Knip M, The Cildhood Diabetes in inland Study Group: GAD65 antibody isotypes and epitope recognition during the prediabetic process in siblings of children with type 1 diabetes. Clin Exp Immunol 136: 120-128 (2004)
- 50. Huang X, Hultgren B, Dybdal N, Stewart TA: Islet expression of interferon-g precedes diabetes in both the BB rat and streptozotocintreated mice. Immunity 1: 469-478 (1994)
- 51. Hussain MJ, Peakman M, Gallati H, Lo SS, Hawa M, Viberti GC, Watkins PJ, Leslie RD, Vergani D: Elevated serum levels of macrophage-derived cytokines precede and accompany the onset of IDDM. Diabetologia 39: 60-69 (1996)
- 52. Hyote H: Enterovirus infections and type 1 diabetes. Ann Med 34: 138-147 (2002)
- 53. Inman LR, McAllister CT, Chen L, Hughes S, Newgard CB, Kettman JR, Unger RH, Johnson JH: Autoantibodies to the GLUT-2 glucose transporter of beta cells in insulin-dependent diabetes mellitus of recent onset. Proc Natl Acad Sci U S A 90: 1281-1284 (1993)
- 54. International Diabetes Federation: At a glance. In: International Diabetes Federation (Hrsg) Diabetes Atlas, 3. Aufl, Brüssel (2006)
- 55. Jaeger C: Zur Bedeutung einer differenzierten Autoantikörperanalytik in der Diabetologie. Med Habitilationsschrift, Universität Giessen 2005
- 56. Jain SK, Kannan K, Lim G, Matthews-Greer J, McVie R, Bocchini JA Jr: Elevated blood interleukin-6 levels in hyperketonemic type 1 diabetes patients and secretion by acetoacetatetreated cultured U937 monocytes. Diabetes Care 26: 2139-2143 (2003)

- 57. Janeway CA, Travers P, Walport M, Shlomchik M: Allgemeine Eigenschaften bewaffneter T-Effektorzellen. In: Janeway CA, Travers P, Walport M, Shlomchik M (Hrsg) Immunologie, 5. Aufl, Spektrum Akademischer Verlag Heidelberg, Berlin, S. 342-351(2002 a)
- 58. Janeway CA, Travers P, Walport M, Shlomchik M: Die humorale Immunantwort Die Aktivierung von B-Zellen durch bewaffnete T-Helferzellen. In: Janeway CA, Travers P, Walport M, Shlomchik M (Hrsg) Immunologie, 5. Aufl, Spektrum Akademischer Verlag Heidelberg, Berlin, S. 369-387(2002 b)
- 59. Janeway CA, Travers P, Walport M, Shlomchik M: Anhang III: Cytokine und ihre Rezeptoren. In: Janeway CA, Travers P, Walport M, Shlomchik M (Hrsg) Immunologie, 5. Aufl, Spektrum Akademischer Verlag Heidelberg, Berlin, S. 725-727(2002 c)
- 60. Jasinski JM, Eisenbarth GS: Insulin as a primary autoantigen for type 1A diabetes. Clin Dev Immunol 12: 181-186 (2005)
- 61. Jiang Z, Woda BA: Cytokine gene expression in the islets of the diabetic Biobreeding/Worcester rat. J Immunol 146: 2990-2994 (1991)
- 62. Jones DB, Hunter NR, Duff GW: Heat-shock protein 65 as a beta cell antigen of insulin-dependent diabetes. Lancet 336: 583-585 (1990)
- 63. Jury KM, Loeffler D, Eiermann TH, Ziegler B, Boehm BO, Richter W: Evidence for somatic mutation and affinity maturation of diabetes associated human autoantibodies to glutamate decarboxylase. J Autoimmun 9: 371-377 (1996)
- 64. Karlsen AE, Hagopian WA, Grubin CE, Dube S, Disteche CM, Adler DA, Barmeier H, Mathewes S, Grant FJ, Foster D, Lernmark A: Cloning and primary structure of a human islet isoform of glutamic acid decarboxylase from chromosome 10. Proc Natl Acad Sci U S A 88: 8337-8341 (1991)
- 65. Kasimiotis H, Myers MA, Argentaro A, Mertin S, Fida S, Ferraro T, Olsson J, Rowley MJ, Harley VR: Sex-determining region Y-related protein SOX13 is a diabetes autoantigen expressed in pancreatic islets. Diabetes 49: 555-561 (2000)
- 66. Kasuga A, Shimada A, Ozawa Y, Maruyama T, Oya K, Saruta T: IgG1 is the dominant subclass of antibody against glutamic acid decarboxylase among type 1 diabetes in Japanese. Endocr J 47: 57-62 (2000)
- 67. Katz JD, Benoist C, Mathis D: T helper cell subsets in insulin-dependent diabetes. Science 268: 1185 (1995)
- 68. Kaufman DL, Erlander MG, Clare-Salzler M, Atkinson MA, Maclaren NK, Tobin AJ: Autoimmunity to two forms of glutamate decarboxylase in insulin dependent diabetes mellitus. J Clin Invest 89: 283-292 (1992).

- 69. Kay TWH, Thomas HE, Harrison LC, Allison J: The beta cell in autoimmune diabetes: many mechanisms and pathways of loss. Trends Endocrinol Metab 11: 11-15 (2000)
- 70. Kelly MA, Rayner ML, Mijovic CH, Barnett AH: Molecular aspects of type 1 diabetes. Mol Pathol 56: 1-10 (2003)
- 71. Kero J, Gissler M, Hemminki E, Isolauri E: Could TH1 and TH2 disease coexist? Evaluation of asthma incidence in children with celiac disease, Type 1 diabetes, or rheumatoid arthritis: a register study. J Allergy Clin Immunol 108: 781-783 (2001)
- 72. Knip M, Akerblom HK: Environmental factors in the pathogenesis of type 1 diabetes mellitus. Exp Clin Endocrinol Diabetes 107: 93–100 (1999)
- 73. Kobayashi T, Tamemoto K, Nakanishi K, Kato N, Okubo M, Kajio H, Sugimoto T, Murase T, Kosaka K: Immunogenetic and clinical characterization of slowly progressive IDDM. Diabetes Care 16: 780-788 (1993)
- 74. Kolb H, Dannehl K, Grüneklee D, Zielasek J, Bertrams J, Hübinger A, Gries FA: Prospective analysis of islet cell antibodies in children with type 1 (insulin-dependent) diabetes. Diabetologia 31: 189-194 (1988)
- 75. Kolb H: Benign versus destructive insulitis. Diabetes Metab Rev 13: 139 (1997)
- 76. Kreuwel HAT, Biggs JA, Pilip IM, Palmer EG, Lo D, Sherman LA: Defective CD8+ T-cell peripheral tolerance in nonobeses diabetic mice. J Immunol 167: 1112-1117 (2001)
- 77. Kurrer Mo, Pakala SV, Hanson HL, Katz JD: Beta cell apoptosis in T-cell mediated autoimmune diabetes. Proc Natl Acad Sci U S A 94: 213-218 (1997)
- 78. Laffranchi R, Spinas GA: Interferon-gamma inhibits release and induces cell death in the pancreatic beta-cell line INS-1 independently of nitric oxide production. Exp Cell Res 237: 217-222 (1997)
- 79. Lan MS, Lu J, Goto Y, Notkins AL: Molecular cloning and identification of a receptor-type protein tyrosine phosphatase, IA-2, from human insulinoma. DNA Cell Biol 5: 505-514 (1994)
- 80. Lernmark A: Glutamic Acid Decarboxylase Gene to Antigen to Disease. J Intern Med 240: 259-277 (1996)
- 81. Leslie RD, Atkinson MA, Notkins AL: Autoantigens IA-2 and GAD in Type 1 (insulin-dependent) diabetes. Diabetologia 42: 3-14 (1999)

- 82. Leslie RD, Lipsky P, Notkins AL: Autoantibodies as predictor of disease. J Clin Invest 108: 1417-1422 (2001)
- 83. Leslie RD, Delli Castelli M: Age-dependent influences on the origins of autoimmune diabetes: evidence and implications. Diabetes 53: 3033-3040 (2004)
- 84. Leslie RD, Williams R, Pozzilli P: Type 1 diabetes and latent autoimmune diabetes in adults (LADA): one end of the rainbow. J Clin Endocrinol Metab 91: 1654-1659 (2006)
- 85. Levine B, Kalman J, Mayer L, Fillit HM, Packer M: Elevated circulating levels of tumor necrosis factor in severe chronic heart failure. N Engl J Med 323: 236-241 (1990)
- 86. Li X, Yang L, Zhou Z, Huang G, Yan X: Glutamic acid decarboxylase 65 autoantibody levels discriminate two subtypes of latent autoimmune diabetes in adults. Chin Med J (Engl) 116: 1728-1732 (2003)
- 87. Liblau RS, Singer SM, McDevitt HO: Th1 and Th2 CD4+ T cells in the pathogenesis of organic-specific autoimmune diseases. Immunol Today 16: 34-38 (1995)
- 88. Lindholm E, Hallengren B, Agardh CD: Gender differences in GAD antibody-positive diabetes mellitus in relation to age at onset. C-peptide and other endocrine autoimmune diseases. Diabetes Metab Res Rev 20: 158-164 (2004)
- 89. Littorin B, Sundkvist G, Hagopian W, Landin-Olsson M, Lernmark A, Ostman J, Arnqvist HJ, Blohme G, Bolinder J, Eriksson JW, Lithner F, Schersten B, Wibell L: Islet cell and glutamic acid decarboxylase antibodies present at diagnosis of diabetes predict the need for insulin treatment. A cohort study in young adults whose disease was initially labeled as type 2 or unclassifiable diabetes. Diabetes Care 22: 409-412 (1999)
- 90. Lohmann T, Kellner K, Verlohren HJ, Krug J, Steindorf J, Scherbaum WA, Seissler J: Titre and combination of ICA and autoantibodies to glutamic acid decarboxylase discriminate two clinically distinct types of latent autoimmune diabetes in adults (LADA). Diabetologia 44: 1005-1010 (2001)
- 91. Lundgren M, Persson U, Lansson P, Magnusson C, Smith CIE, Hammarstrom L, Severinson E: Interleukin 4 induces synthesis of IgE and IgG4 in human B cells. Eur J Immunol 19: 1311 (1989)
- 92. Mandrup-Poulsen T, Bendtzen K, Nielsen JH, Bendixen G, Nerup J: Cytokines cause functional and structural damage to isolated islets of Langerhans. Allergy 40: 424-429 (1985)

- 93. Mandrup-Poulsen T, Bendtzen K, Nerup J, Dinarello CA, Svenson M, Nielsen JH: Affinity-purified human interleukin 1 is cytotoxic to isolated islets of Langerhans. Diabetologia 29: 63-67 (1986 a)
- 94. Mandrup-Poulsen T, Bendtzen K, Nerup J, Egeberg J, and Nielsen JH: Mechanisms of pancreatic islet cell destruction. Dose-dependent cytotoxic effect of soluble blood mononuclear cell mediators on isolated islets of Langerhans. Allergy 41: 250-259 (1986 b)
- 95. Mandrup-Poulsen T, Bendtzen K, Dinarello CA, Nerup J: Human tumor necrosis factor potentiates human interleukin 1-mediated rat pancreatic ß-cell cytotoxicity. J Immunol 139: 4077-4082 (1987)
- 96. Mandrup-Poulsen T: The role of interleukin-1 in the pathogenesis of IDDM. Diabetologia 39: 1005-1029 (1996)
- 97. Mauricio D, Mandrup-Poulsen T: Apoptosis and the pathogenesis of IDDM: a question of life and death. Diabetes 47: 1537-1543 (1998)
- 98. Metroz-Dayer MD, Mouland A, Brideau C, Duhamel D, Poussier P: Adoptive transfer of diabetes and antidiabetic therapy between 1984/1985 and 1999/2001 in southern Germany. Diabetes Care 27: 2985-2987 (2004)
- 99. Naik RG, Palmer JP: Latent autoimmune diabetes in adults (LADA). Rev Endocr Metab Disord 4: 233-241 (2003)
- 100. Nairn C, Galbraith DN, Taylor KW, Clements GB: Enterovirus variants in the serum of children at the onset of type 1 diabetes mellitus. Diabet Med 16: 509-513 (1999)
- 101. Olmos P, A'Hern R, Heaton DA, Millward BA, Risley D, Pyke DA, Leslie RD: The significance of the concordance rate for type 1 (insulindependent) diabetes in identical twins. Diabetologia 31: 747-750 (1988)
- 102. Opal SM, DePalo VA: Anti-Inflammatory Cytokines. Chest 117: 1162-1172 (2000)
- 103. Ott PA, Dittrich MT, Herzog BA, Guerkov R, Gottlieb PA, Putnam AL, Durinovic-Bello I, Boehm BO, Tary-Lehmann M, Lehmann PV: T cells recognize multiple GAD65 and proinsulin epitopes in human type 1 diabetes, suggesting determinant spreading. J Clin Immunol 24: 327-339 (2004)
- 104. Pak CY, Cha CY, Rajotte RV, McArthur RG, Yoon JW: Human pancreatic islet cell specific 38 kilodalton autoantigen identified by cytomegalovirus-induced monoclonal islet cell autoantibody. Diabetologia 33: 569-572 (1990)

- 105. Palmer JP, Asplin CM, Clemons P, Lyen K, Tatpati O, Raghu PK, Paquette TL: Insulin antibodies in insulin-dependent diabetes before insulin treatment. Science 222: 1337-1339 (1983)
- 106. Palmer JP: Insulin autoantibodies: their role in the pathogenesis of IDDM. Diabetes Metab Rev 3:1005-1015 (1987)
- 107. Parhofer K, Landgraf R, Göke B: Diabetes mellitus. In: Classen M, Diehl V, Kochsiek K, Schmiegel W (Hrsg) Innere Medizin, 5. Aufl, Urban & Fischer Verlag München, Jena, S. 1531-1561 (2004)
- 108. Petrides PE, Ansorge S: Immunsystem. In: Loeffler G, Petrides PE (Hrsg) Biochemie & Pathobiochemie, 7. Aufl, Springer Berlin, Heidelberg, New York, S. 1122-1158 (2003)
- 109. Pietropaolo M, Castano L, Babu S, Buelow R, Kuo YL, Martin S, Martin A, Powers AC, Prochazka M, Naggert J, Leiter EH, Eisenbarth GS: Islet cell autoantigen 69 kD (ICA69). Molecular cloning and characterization of a novel diabetes-associated autoantigen. J Clin Invest 92: 359-371 (1993)
- 110. Pilstrom B, Bjork L, Bohme J: Demonstration of a TH1 cytokine profile in the late phase of NOD insulitis. Cytokine 7: 806 (1995)
- 111. Powers AC: Diabetes mellitus. In: Dietel M, Dudenhausen J, Suttorp N (Hrsg) Harrisons Innere Medizin, Bd 2, 15. Aufl, ABW Wissenschaftsverlag Berlin, S. 2315-2345 (2002)
- 112. Pukel C, Baquerizo H, Rabinovitch A: Destruction of rat islet cell monolayers by cytokines synergistic interactions of interferon tumor necrosis factor lymphotoxin and interleukin 1. Diabetes 37: 133-136 (1988)
- 113. Pundziute-Lycka A, Dahlquist G, Nystrom L, Arnqvist H, Bjork E, Blohme G, Bolinder J, Eriksson JW, Sundkvist G, Ostman J; Swedish Childhood Diabetes Study Group: The incidence of type 1 diabeteshas not increased but shifted to a younger age at diagnosis in the 34 years group in Sweden 1983-1998. Diabetologia 45: 783-791 (2002)
- 114. Rabinovitch A, Suarez-Pinzon WL, Sorensen O, Bleackley RC, Power RF: IFN-γ gene expression in pancreatic islet-infiltrating mononuclear cells correlates with autoimmune diabetes in nonobese diabetic mice. J Immunol 154: 4874-4882 (1995)
- 115. Rabinovitch A, Suarez-Pinzon WL: Cytokines and their roles in pancreatic islet beta-cell destruction and insulin-dependent diabetes mellitus. Biochem Pharmacol 55: 1139-1149 (1998)

- 116. Rachmiel M, Bloch O, Bistritzer T, Weintrob N, Ofan R, Koren-Morag N, Rapoport MJ: TH1/TH2 cytokine balance in patients with both type 1 diabetes mellitus and asthma. Cytokine 34: 170-176 (2006)
- 117. Redondo MJ, Yu L, Hawa M, MacKenzie T, Pyke DA, Eisenbarth S, Leslie RDG: Heterogeneity of type 1 diabetes: analysis of monozygotic twins in Great Britain and the United States. Diabetologia 44: 354-362 (2001)
- 118. Richter W, Mertens T, Schoel B, Muir P, Ritzkowsky A, Scherbaum WA, Boehm BO: Sequence homology of the diabetes-associated autoantigen glutamate decarboxylase with coxsackie B4-2C protein and heat shock protein 60 mediates no molecular mimicry of autoantibodies. J Exp Med 180: 721-726. (1994)
- 119. Richter W, Jury KM, Loeffler D, Manfras BJ, Eiermann TH, Boehm BO: Immunoglobulin variable gene analysis of human autoantibodies reveals antigen-driven immune response to glutamate decarboxylase in type 1 diabetes mellitus. Eur J Immunol 25: 1703-1712 (1995)
- 120. Richter W, Northemann W, Mueller M, Boehm BO: Mapping of an autoreactive epitope within glutamate decarboxylase using a diabetes-associated human monoclonal autoantibody and an epitope cDNA library. Hybridoma 15: 103-108 (1996)
- 121. Ridker PM, Rifai N, Stampfer MJ, Hennekens CH: Plasma concentration of interleukin-6 and the risk of future myocardial infarction among apparently healthy men. Circulation 101: 1767-1772 (2000)
- 122. Risch N: Assessing the role of HLA-linked and unlinked determinants of disease. Am J Hum Genet 40: 1-14 (1987)
- 123. Roll U, Ziegler AG: Combined antibody screening for improved prediction of IDDM Modern strategies. Exp Clin Endocrinol Diabetes 105: 1-14 (1997)
- 124. Rook G: Th1- or Th2-cell commitment during infectious disease: an oversimplification? Trends Immunol 22: 481-482 (2001)
- 125. Rorsman P, Berggren PO, Bokvist K, Ericsson H, Möhler H, Östensson CG, Smith PA: Glucose inhibition of glucagon secretion involves activation of GABA-A receptor chloride channels. Nature 341: 233-236 (1989)
- 126. Rosmalen JG, Martin T, Dobbs C, Voerman JS, Drexhage HA, Haskins K, Leenen PJ: Subsets of macrophages and dendritic cells in nonobese diabetic mouse pancreatic inflammatory infiltrates: correlation with the development of diabetes. Lab Invest 80: 23-30 (2000)

- 127. Rothe H, Fehsel K, Kolb H: Tumour necrosis factor α production is upregulated in diabetes prone BB rats. Diabetologia 33: 573-575 (1990)
- 128. Schmid S, Molteni A, Fuchtenbusch M, Naserke HE, Ziegler AG, Bonifacio E: Reduced IL-4 associated antibody responses to vaccine in early pre-diabetes. Diabetologia 45: 677-685 (2002)
- 129. Schmidli RS, De Aizpurua HJ, Harrison LC, Colman PG: Antibodies to glutamic acid decarboxylase in at-risk and clinical insulin dependent diabetic subjects: relationship to age, sex and islet cell antibody status, and temporal profile. J Autoimmun 7: 55-66 (1994)
- 130. Seissler J, Amann J, Mauch L, Haubruck H, Wolfahrt S, Bieg S, Richter W, Holl R, Heinze E, Northemann W, Scherbaum WA: Prevalence of Autoantibodies to the 65- and 67-kD Isoforms of Glutamate Decarboxylase in Insulin-dependent Diabetes Mellitus. J Clin Invest 92: 1394-1399 (1993)
- 131. Seissler J, de Sonnaville JJ, Morgenthaler NG, Steinbrenner H, Glawe D, Khoo-Morgenthaler UY, Lan MS, Notkins AL, Heine RJ, Scherbaum WA: Immunological heterogeneity in type I diabetes: presence of distinct autoantibody patterns in patients with acute onset and slowly progressive disease. Diabetologia 41: 891-897 (1998)
- 132. Shimada A, Charlton B, Taylor-Edwards C, Fathman G: β-cell destruction may be a late consequence of the autoimmune process in nonobese diabetic mice. Diabetes 45: 1063 (1996)
- 133. Sia C: Imbalance in Th Cell Polarization and its Relevance in Type 1 Diabetes. Rev Diabet Stud 2: 182-186 (2005)
- 134. Silink M: Interview des IDF-Präsidents auf dem 19. Welt-Diabetes-Kongress in Kapstadt, Südafrika, 3.-7. Dezember 2006
- 135. Solimena M, Folli F, Aparisi R, Pozza G, DeCamilli P: Autoantibodies to GABA-ergic neurons and pancreatic beta cells in stiff-man syndrome. N Engl J Med 322: 1555-1560 (1990)
- Sorenson RL, Garry DG, Brelje TC: Structural and functional considerations of GABA in islets of Langerhans. Diabetes 40: 1365-1374 (1991)
- 137. Sousa AO, Henry S, Maroja FM, Lee FK, Brum L, Singh M, Lagrange PH, Aucouturier P: IgG subclass distribution of antibody responses to protein and polysaccharide mycobacterial antigens in leprosy and tuberculosis patients. Clin Exp Immunol 111: 48 (1988)
- 138. Spiegelbert HL: Biological activities of Igs of different classes and subclasses. Adv Immunol 19: 259 (1974)

- 139. Spinas GA, Laffranchi R, Francoys I, David I, Richter C, Reinecke M: The early phase of glucose stimulated insulin secretion requires nitric oxide. Diabetologia 41: 292-299 (1998)
- 140. Spinas GA, Lehmann R: Der Diabetes mellitus: Diagnose, Klassifikation und Pathogenese. Schweiz Med Forum 20: 519-525 (2001)
- 141. Szopa TM, Titchener PA, Portwood ND, Taylor KW: Diabetes mellitus due to viruses some recent developments. Diabetologia 36: 687-695 (1993)
- Tchorzewski H, Glowacka E, Banasik M, Lewkowicz P, Szalapska-Zawodniak M: Activated T lymphocytes from patients with high risk of type I diabetes mellitus have different ability to produce interferon-γ, interleukin-6 and interleukin-10 and undergo anti-CD95 induced apoptosis after insulin stimulation. Immunol Lett 75: 225-234 (2001)
- 143. The JDF Combinatorial Autoantibody Assay Workshop ICA 512/IA2, GAD, ICA, IAA and combinations) on: 14th Immunology of Diabetes Workshop Meeting, 1st Congress of the Immunology of Diabetes Society, 31.October 3.November 1995, Italy
- 144. Tian J, Lehmann PV, Kaufman DL: Determinant spreading of T helper cell 2 (Th2) responses to pancreatic islet autoantigens. J Exp Med 186: 2039-2043 (1997)
- 145. Tian J, Olcott AP, Hanssen LR, Zekzer D, Middleton B, Kaufman DL: Infectious Th1 and Th2 autoimmunity in diabetes-prone mice. Immunol Rev 164: 119 (1998)
- 146. Tisch R, Yang XD, Singer SM, Liblau RS, Fugger L, McDevitt HO: Immune response to glutamic acid decarboxylase correlates with insulitis in non-obese diabetic mice. Nature 366: 72 (1993)
- 147. Todd JA: Lawrence Lecture. The Emperor's new genes: 1993 RD Lawrence Lecture. Diabet Med 11: 6-16 (1994)
- 148. Torn C, Landin-Olsson M, Schersten B, Arnqvist H, Blohme G, Bjork E, Bolinder J, Eriksson J, Littorin B, Nystrom L, Sundkvist G, Lernmark A: Glutamic acid decarboxylase antibodies (GADA) is the most important factor for prediction of insulin therapy within 3 years in young adult diabetic patients not classified as Type 1 diabetes on clinical grounds. Diabetes Metab Res Rev 16: 442-447 (2000)
- 149. Torn C, Landin-Olson M, Lernmark A, Schersten B, Ostman J, Arnqvist HJ, Bjork E, Blohme G, Bolinder J, Eriksson J, Littorin B, Nystrom L, Sundkvist G: Combination of beta cell specific autoantibodies at diagnosis of diabetes in young adults reflects different courses of beta cell damage. Autoimmunity 33: 115-120 (2001)

- 150. Toyoda H, Formby B, Magalong D, Redford A, Chan E, Takei S, Charles MA: In situ islet cytokine gene expression during development of type I diabetes in the non-obese diabetic mouse. Immunol Lett 39: 283-288 (1994)
- 151. Trembleau S, Penna G, Bosi E, Mortara A, Gately MK, Adorini L: Interleukin-12 administration induces T helper cells and accelerates autoimmune diabetes in NOD mice. J Exp Med 181: 817 (1995)
- 152. Tuomi T, Bjorses P, Falorni A, Partanen J, Perheentupa J, Lernmark A, Miettinen A: Antibodies to glutamic acid decarboxylase and insulindependent diabetes in patients with autoimmune polyendocrine syndrome type I. J Clin Endocrinol Metab 81: 1488-1494 (1996)
- 153. Tuomilehto J, Zimmet P, Mackay IR, Koskela P, Vidgren G, Toivanen L, Tuomilehto-Wolf E, Kohtamäki K, Stengard J, Rowley MJ: Antibodies to Glutamic Acid Decarboxylase as Predictor of Insulin-Dependent Diabetes mellitus before clinical onset of disease. Lancet 343: 1383-1385 (1994)
- 154. Turner R, Stratton I, Horton V, Manley S, Zimmet P, MacKay IR, Shattock M, Bottazzo GF, Holman R: Autoantibodies to islet-cell cytoplasm and glutamic acid decarboxylase for prediction of insulin requirement in type 2 diabetes. UK Prospective Diabetes Study Group. Lancet 350: 1288-1293 (1997)
- 155. Valdes AM, McWeeney S, Thomson G: HLA class II DR-DQ amino acids and insulin-dependent diabetes mellitus: application of the haplotype method. Am J Hum Genet 60: 717-728 (1997)
- 156. Vandewalle CL, Decraene T, Schuit FC, De Leeuw IH, Pipeleers DG, Gorus FK: Insulin autoantibodies and high titer islet cell antibodies are preferentially associated with the HLA DQA1*0301-DQB1*0302 haplotype at clinical type 1 (insulin-dependent) diabetes mellitus before age 10 years, but not at onset between 10 and 40 years. The Belgian Diabetes Registry. Diabetologia 36: 1155-1162 (1993)
- 157. Vardi P, Ziegler AG, Mathews JH, Dib S, Keller RJ, Ricker AT, Wolfsdorf JI, Herskowitz RD, Rabizadeh A, Eisenbarth GS: Concentration of insulin autoantibodies at onset of type I diabetes. Inverse log-linear correlation with age. Diabetes Care 11: 736-739 (1988)
- 158. Verge CF, Howard NJ, Rowley MJ, MacKay IR, Zimmet P, Egan M, Hulinska H, Hulinsky I, Silvestrini RA, Kamath S, Sharp T, Arundel T, Silink M: Anti-glutamate decarboxylase and other antibodies at the onset of childhood IDDM: a population based study. Diabetologia 37: 1113-1120 (1994)

- 159. Virtanen SM, Hypponen E, Laara E, Vahasalo P, Kulmala P, Savola K, Rasanen L, Aro A, Knip M, Akerblom HK: Cow's milk consumption, disease-associated autoantibodies and type 1 diabetes mellitus: a follow-up study in siblings of diabetic children. Childhood Diabetes in Finland Study Group. Diabet Med 15: 730-738 (1998)
- Weets I, De Leeuw ICH, Du Caju MV, Rooman R, Keymeulen B, Mathieu C, Rottiers R, Daubresse JC, Rocour-Brumioul D, Pipeleers DG, Gorus FK; Belgian Diabetes Registry: The incidence of type 1 diabetes in the age group 0-39 years has not increased in Antwerp (Belgium) between 1989 and 2000: evidence for earlier disease manifestation. Diabetes Care 25: 840-846 (2002)
- 161. Welsh M, Welsh N, Bendtzen K, Mares J, Strandell E, Oberg C, Sandler S: Comparison of mRNA contents of interleukin-1 ß and nitric oxide synthase in pancreatic islets isolated from female and male nonobese diabetic mice. Diabetologia 38: 153-160 (1995)
- Welte T: Zytokine und obstruktive Atemwegserkrankungen. Der Internist 42: 64-74 (2001)
- 163. Widhe M, Ekerfelt C, Forsberg P, Bergstrom S, Ernerudt J: IgG subclasses in Lyme borreliosis: a study of specific IgG subclass distribution in an interferon-predominated disease. Scand J Immunol 47: 575 (1998)
- Wiest-Ladenbrugger U, Hartmann R, Hartmann U, Berling K, Boehm BO, Richter W: Combined analysis and single-step detection of GAD65 and IA2 autoantibodies in IDDM can replace the histochemical islet cell antibody test. Diabetes 46: 565-571 (1997)
- 165. Williams AJ, Bingley PJ, Bonifacio E, Palmer JP, Gale EA: A novel micro-assay for insulin autoantibodies. J Autoimmun 10: 473-478 (1997)
- 166. Winter WE, Harris N, Schatz D: Type 1 diabetes islet autoantibody markers. Diabetes Technol Ther 4: 817-839 (2002)
- 167. Wucherpfennig KW, Eisenbarth GS: Type 1 diabetes. Nat Immunol 2: 767-768 (2001)
- 168. Xing Z: Current understanding of macrophage type 1 cytokine responses during intracellular infections. Histol Histopathol 15: 199-205 (2000)
- 169. Yokota I, Matsuda J, Naito E, Ito M, Shirna K, Kuroda Y: Comparison of GAD and ICA512/IA-2 antibodies at and after the onset of IDDM. Diabetes Care 21: 49-52 (1998)
- 170. Yoon JW, Ray UR: Perspectives on the role of viruses in insulindependent diabetes. Diabetes Care 8 Suppl 1: 39-44 (1985)

- 171. Yoon JW, Ihm SH, Kim KW: Viruses as a triggering factor of type 1 diabetes and genetic markers related to the susceptibility to the virus-associated diabetes. Diabetes Res Clin Pract 7: 39-44 (1989)
- 172. Yoon JW: The role of viruses and environmental factors in the induction of diabetes. Curr Top Microbiol Immunol 164: 95-123 (1990)
- 173. Yoon JW, Jun HS: Autoimmune destruction of pancreatic beta cells. Am J Ther 12: 580-591 (2005)
- 174. Zhao SP, Zeng LH: Elevated plasma levels of tumor necrosis factor in chronic heart failure with cachexia. Int J Cardiol 58: 257-261 (1997)
- 175. Zimmet PZ, Tuomi T, Rowley MJ, Knowles W, Cohen M, Lang DA: Latent autoimmune diabetes mellitus in adults (LADA): the role of antibodies to glutamic acid decarboxylase in diagnosis and prediction of insulin dependency. Diabet Med 11: 299-303 (1994)

Abbildungsverzeichnis

Abb. 1	Hypothetisches Modell zur T1D-Entstehung	6
Abb. 2	Enzyme Linked ImmunoSorbant Assay	18
Abb. 3	Zytokin-Assay	21
Abb. 4	Geschlechtsverteilung der Probanden	23
Abb. 5	Median, erstes und drittes Quartil der GAD65- Autoantikörper (detektiert mittels RIA) aller Patienten, der männlichen und der weiblichen Patienten	24
Abb. 6	Median, erstes und drittes Quartil der GAD65- Autoantikörper IgG _{gesamt} , IgG1 und IgG4 (ELISA) für alle Patienten, männliche und weibliche Patienten	25
Abb. 7	Bivariate Darstellung: GAD65-Autoantikörper IgG _{gesamt} (ELISA) und GAD65- Autoantikörper (RIA)	26
Abb. 8	Bivariate Darstellung: GAD65-Autoantikörper IgG1 (ELISA) und GAD65- Autoantikörper (RIA)	27
Abb. 9	Bivariate Darstellung: GAD65-Autoantikörper IgG4 (ELISA) und GAD65- Autoantikörper (RIA)	28
Abb. 10	Bivariate Darstellung: GAD65-Autoantikörper (RIA) und T1D-Manifestationsalter	29
Abb. 11	Bivariate Darstellung: GAD65-Autoantikörper IgG _{gesamt} (ELISA) und T1D- Manifestationsalter	30
Abb. 12	Bivariate Darstellung: GAD65-Autoantikörper IgG1 (ELISA) und T1D- Manifestationsalter	31
Abb. 13	Bivariate Darstellung: GAD65-Autoantikörper IgG4 (ELISA) und T1D- Manifestationsalter	32

Abb. 14	Mediane Zytokinspiegel, erstes und drittes Quartil von MCP-1, MIP-1 β und IL-6 für alle Patienten, männliche und weibliche Patienten	34
Abb. 15	Mediane Zytokinspiegel, erstes und drittes Quartil von G-CSF, IL-7, IL-8, IL-10 und IL-13 für alle Patienten, männliche und weibliche Patienten	34
Abb. 16	Mediane Zytokinspiegel, erstes und drittes Quartil von TNF- α , IL-1 β und IL-5 für alle Patienten, männliche und weibliche Patienten	35
Abb. 17	Korrelationsplot Zytokinspiegel mit T1D-Manifestationsalter: G-CSF, MCP-1, MIP-1β und IL-6	38
Abb. 18	Korrelationsplot Zytokinspiegel mit T1D-Manifestationsalter: GM-CSF, IFN- γ , TNF- α , IL-1 β und IL-8	38
Abb. 19	Korrelationsplot Zytokinspiegel mit T1D-Manifestations-alter: IL-2, IL-7, IL-10 und IL-13	39
Abb. 20	Korrelationsplot Zytokinspiegel mit T1D-Manifestations- alter: IL-4, IL-5, IL-12 und IL-17	39

Tabellenverzeichnis

Tab. 1	Charakteristika der Typ 1 Diabetes Subklassen, T1D mit Manifestation im Kindes- und Jugendalter, T1D mit Manifestation im Erwachsenenalter und Latent Autoimmune Diabetes in Adults (LADA), und des Typ 2 Diabetes	2
Tab. 2	Auflistung der bei Typ 1 Diabetes entdeckten Autoantigene	7
Tab. 3	Zytokine (Klassenzuordnung, Produktionsort und Wirkungen)	12
Tab. 4	Merkmale (Erkrankungsalter, Konkordanz unter Zwillingen, HLA-Merkmale, Autoantikörper und Plasmainsulin) der verschiedenen T1D-Subklassen: T1D mit Manifestation im Kindes- und Jugendalter, T1D mit Manifestation im Erwachsenenalter, Latent Autoimmune Diabetes in Adults (LADA)	13
Tab. 5	Zytokinwerte: Minimum, Maximum, Median, erstes und drittes Quartil und Referenzwerte (Min-Max; Median)	33
Tab. 6	Korrelation Zytokine mit Alter bei T1D-Manifestation – alle T1D-Patienten	36
Tab. 7	Korrelation Zytokine mit Alter bei T1D-Manifestation – Patienten mit Zytokinbestimmung bei T1D-Manifestation	37
Tab. 8	Korrelation der Zytokine untereinander für alle T1D- Patienten	40
Tab. 9	Korrelation der Zytokine untereinander für Patienten mit Zytokinbestimmung bei T1D-Manifestation	41
Tab. 10	Hauptkomponentenanalyse (Korrelationskoeffizienten)	42
Tab. 11	Faktorenanalyse (Korrelationskoeffizienten/Faktorenladungen)	43
Tab. 12	Multivariate Modelle – Korrelation der Zytokinspiegel mit GAD-Autoantikörper (GADA (RIA), GADA IgG _{gesamt} (ELISA), IgG1 (ELISA), IgG4 (ELISA))	45

Anhang

 $\frac{\text{Patientendaten:}}{\text{Probeentnahme, Manifestationsalter, Diabetesdauer, Geschlecht.}} \\ \text{Versuchscode, Glutamatdecarboxylase 65 (GAD65) -Antikörperlevel, Alter bei Probeentnahme, Manifestationsalter, Diabetesdauer, Geschlecht.} \\ \text{W = weiblich, m = männlich, n.b. = nicht bekannt}$

Versuchscode	GAD65 (U/ml)	Alter bei Probe- entnahme	Manifestations- alter	Diabetesdauer	Geschlecht
1	66	17	17	2 Wochen	W
2	88	15	15	2 Wochen	W
3	79	17	17	2 Wochen	W
4	39	17	17	0 Tage	m
5	31	6	6	1 Monat	W
6	61	8	8	7 Monate	W
7	51	16	16	1 Woche	m
8	63	17	17	2 Wochen	m
9	63	17	17	0 Tage	W
10	44	12	11	10 Monate	W
11	49	17	17	0 Tage	W
12	51	12	12	1 Woche	W
13	38	21	12	9 Jahre	W
14	40	12	12	2 Monate	m
15	52	21	16	5 Jahre	m
16	53	17	17	2 Wochen	W
17	37	15	15	0 Tage	m
18	67	12	12	0 Tage	W
19	60	17	16	1 Jahr	W
20	53	16	16	0 Tage	W
21	67	18	18	0 Tage	W
22	55	19	19	1 Woche	W
23	36	17	11	6 Jahre	W
24	50	18	18	0 Tage	m
25	81	20	20	1 Woche	W
26	63,37	15	15	0 Tage	W
27	73,3	20	20	1 Woche	W
28	90,65	19	19	1 Woche	m
29	94,57	12	12	0 Tage	m
30	61,38	19	18	6 Monate	m
31	112	20	20	1 Woche	m
32	70	27	22	5 Jahre	W
33	80	23	23	1 Woche	m
34	130	26	26	3 Monate	W
35	73	22	22	0 Tage	W
36	57	27	27	0 Tage	n.b.
37	49	21	21	2 Monate	m
38	54	26	26	2 Monate	W
39	63	23	22	1 Jahr	W
40	92	30	30	0 Tage	W
41	75	27	21	6 Jahre	W
42	58	22	22	4 Monate	W
43	44	30	30	1 Woche	W
44	120	30	26	4 Jahre	W
45	57	22	22	2 Wochen	W
46	41	25	25	1 Woche	m
47	42	27	27	6 Monate	W
48	66	21	21	2 Wochen	m
49	74	29	29	2 Wochen	m
50	49	22	22	1 Woche	m
51	63	22	22	1 Woche	m
52	57	24	24	0 Tage	W
53	118	49	24	25 Jahre	W

	1				
54	62	28	28	0 Tage	m
55	56	30	30	0 Tage	W
56	71	23	22	1,5 Jahre	W
57	73	26	26	1 Monat	W
58	57	22	21		
				9 Monate	W
59	56	27	27	2 Wochen	W
60	43,37	33	30	3 Jahre	m
61	98,2	26	26	0 Tage	m
62	42,1	25	25	3 Wochen	m
63	59,9	30	30	1 Woche	W
64	51	29	29	1 Woche	W
65					
	53,3	25	25	1 Woche	W
66	49,16	30	30	0 Tage	W
67	116,5	21	21	0 Tage	W
68	68,1	22	21	6 Monate	W
69	83	22	22	1 Monat	m
70	50,27	28	27	6 Monate	W
71	72,58	25	25		
				0 Tage	W
72	71	27	27	0 Tage	m
73	105	30	29	8 Monate	W
74	52,68	49	29	20 Jahre	W
75	166	30	30	5 Monate	W
76	73	22	22	0 Tage	m
77	111	23	23	0 Tage	W
78	41,5	25	25		
				2 Wochen	m
79	63	34	34	4 Monate	m
80	109	41	36	5 Jahre	m
81	125	39	39	3 Monate	W
82	63	46	37	9 Jahre	m
83	83	35	35	0 Tage	m
84	64	34	34	2 Monate	m
85	64	40	39	6 Monate	
					m
86	64	36	36	0 Tage	W
87	65	37	37	1 Monat	W
88	76	32	32	0 Tage	W
89	>120	41	36	5 Jahre	m
90	45	37	35	2 Jahre	W
91	60	33	33	2 Monate	W
92	68	36	36	2 Monate	W
93	110	40	40	1 Monat	W
94	80	44	34	10 Jahre	W
95	46	39	39	0 Tage	m
96	43	37	37	0 Tage	m
97	>120	36	33	3 Jahre	m
98	75	35	32	3 Jahre	m
99	56	34	33	1 Jahr	W
100	102	38	37	1 Jahr	W
101		37	37		
	64			0 Tage	W
102	56	33	33	0 Tage	m
103	100	31	31	2 Monate	m
104	52,8	41	37	4 Jahre	m
105	46	36	34	2 Jahre	W
106	61	33	32	10 Monate	m
107	87,16	34	34	6 Monate	W
108	46,44	49	37	12 Jahre	
					m w
109	88,47	34	34	0 Tage	W
110	44,3	36	36	1 Woche	W
111	47,8	39	39	2 Monate	m
112	90,87	33	33	1 Monat	W
113	98,49	33	32	1,5 Jahre	W
113	30.73				•
			35	O Tage	W
114	57,48	35	35 38	0 Tage	W
114 115	57,48 50,75	35 38	38	3 Monate	W
114	57,48	35			

118	52	39	20	0 Togo	m
119	72,5	44	39 40	0 Tage	m w
120	108	39	39	4 Jahre 3 Wochen	W
					W
121 122	47,5	33	33	0 Tage	W
	78,2	33	33	0 Tage	W
123	101	39	35	4 Jahre	W
124	80	47	47	1 Woche	m
125	79	47	47	2 Wochen	m
126	115	45	43	2 Jahre	m
127	111	42	42	1 Woche	m
128	42	42	41	1 Jahr	m
129	71	46	46	2 Wochen	W
130	99	48	46	2 Jahre	W
131	87	50	45	5 Jahre	m
132	100	54	47	7 Jahre	m
133	64	44	42	2 Jahre	m
134	47	47	47	1 Woche	W
135	80	43	43	1 Woche	m
136	74	44	44	1 Woche	W
137	>120	61	49	12 Jahre	W
138	62	42	42	2 Wochen	W
139	70	48	47	1 Jahr	m
140	65	46	41	5 Jahre	m
141	71,4	52	50	2 Jahre	W
142	57	42	42	1 Woche	m
143	>120	50	50	2 Wochen	W
144	57,44	42	42	0 Tage	W
145	72	42	42	0 Tage	W
146	91	49	49	1 Monat	W
147	48	42	41	2 Monate	W
148	>120	41	41	0 Tage	m
149	63	55	46	9 Jahre	m
150	81,32	47	47	0 Tage	W
151	113	50	50	1 Monat	m
152	83,35	54	47	7 Jahre	m
153	43,51	44	41	3 Jahre	W
154	75,7	49	49	0 Tage	m
155	54,3	55	47	8 Jahre	m
156	50,7	57	48	9 Jahre	W
157	65,9	42	41	6 Monate	W
158	119	48	47	9 Monate	W
159	63,11	44	44	3 Monate	m
160	89,83	41	41	0 Tage	W
161	70,14	57	50	7 Jahre	W
162	88,62	43	42	1 Jahr	m
163	60,23	44	43	5 Monate	W
164	42,85	44	44	0 Tage	W
165	43,5	42	42	0 Tage	m
166	68,9	50	49	1 Monat	W
167	96,65	49	49	1 Monat	W
168	72,2	43	43	3 Wochen	m
169	81,1	50	50	2 Monate	W
170	77	75	66	9 Jahre	W
171	102	57	57	2 Wochen	W
172	51	61	60	6 Monate	W
173	54	71	66	5 Jahre	W
174	65	53	53	1 Monat	W
175	54	79	75	4 Jahre	W
176	>120	62	59	3 Jahre	W
177	34	56	56	3 Monate	W
178	40	54	52	2 Jahre	W
179	67	59	56	3 Jahre	W
180	59	64	62	2 Jahre	m
181	36	52	52	2 Monate	W
		U <u>L</u>	<u> </u>	_ Monate	VV

100				0.14	
182	33	55	55	6 Monate	W
183	65	59	54	5 Jahre	W
184	66	56	54	2 Jahre	W
185	33	69	68	7 Monate	m
186	>120	52	52	3 Wochen	m
187	68	76	70	6 Jahre	m
188	85	64	64	3 Wochen	W
189	68	73	69	4 Jahre	m
190	49	64	55	9 Jahre	m
191	84	56	55	1,5 Jahre	W
		52			
192	33,2		52	2 Wochen	m
193	45	66	65	1 Jahr	W
194	47,73	58	56	2 Jahre	m
195	50,1	71	71	0 Tage	W
196	48,8	70	57	13 Jahre	W
197	85	59	58	6 Monate	m
198	63,41	61	60	10 Monate	W
199	77	75	72	3 Jahre	W
200	33	55	55	2 Wochen	W
201	83	69	60	9 Jahre	m
202	68,9	51	51	0 Tage	m
203	71,8	53	52	1 Jahr	W
204	>120	67	55	12 Jahre	m
205	95,38	67	55	12 Jahre	m
206	>120	64	64	1 Monat	W
207	84,81	63	58	5 Jahre	W
208		62	62	O Tarre	
	70,6			0 Tage	W
209	155,8	63	62	1,5 Jahre	W
210	100	63	63	3 Monate	W
211	40,4	47	47	0 Tage	W
212	104,54	70	70	0 Tage	n.b.
213	40,44	45	45	0 Tage	m
214	43,3	58	58	0 Tage	m
215	34,57	53	53	0 Tage	W
216	102	64	64	0 Tage	W
217	37,48	48	48	0 Tage	m
218	75,7	49	49	0 Tage	n.b.
219	78,5	59	59	0 Tage	n.b.
220	57,85	61	61	0 Tage	W
221	60,39	61	61	0 Tage	W
222	49	66	66	0 Tage	m
223	46	55	55	0 Tage	W
224	41,7	59	59	0 Tage	m
225	50,24	51	51	0 Tage	m
226	57,8	68	68	0 Tage	
227	72,5	46	46	0 Tage	W
228		46	46		W
229	82,9	54	54	0 Tage	W
	78,33			0 Tage	W
230	38,65	46	46	0 Tage	W
231	40,17	62	62	0 Tage	W
232	72,26	70	70	0 Tage	W
233	62,77	53	53	0 Tage	n.b.
234	63,28	48	48	0 Tage	W
235	99,87	55	55	0 Tage	W
236	112	49	49	0 Tage	W
237	49,9	52	52	0 Tage	W
238	83,7	72	72	0 Tage	m
239	76,8	62	62	0 Tage	m
240	63,7	63	63	0 Tage	m
241	76,2	54	54	0 Tage	W
242	64,4	45	45	0 Tage	W
L					-

Ergebnisse ELISA:

ID-Nr. = Identitätsnummer, GAD = Glutamatdecarboxylase, Geb.Datum = Geburtsdatum, Manif.-Alter = Manifestationsalter, Ig = Immunglobulin U = Unit, ml = Milliliter, Opt. Dichte = Optische Dichte, Konz. = Konzentration, ng = Nanogramm, UU = Ulm Units, m = männlich, w = weiblich n.b. = nicht bekannt

Γ	G de																																					
	Mittelwert der Konz. in UU	40 00	18,80	20 00	103,02	44.50	oc, I.	70.00	76,02	12.81	5,1	24.33		16.19	2	22.89	60,44	20 70	8/,87	14 65	5,4	14 93	56.	12.18	2,10	16.63	20,01	45 00	70,0	20.07	12,04	0	60,03		17,99		16,67	
lqG4	Konz. in UU (UIm- Units)	15,91	21,68	206,72	159,32	11,56	11,56	21,76	20,18	18,32	7,30	24,33	24,33	19,31	13,07	24,86	20,91	28,55	29,01	19,00	10,06	16,50	13,36	19,31	5,04	16,63	16,63	16,71	14,92	75,74	68,34	10,90	6,87	10.08	25,89	15,91	17,42	0000
	Opt. Dichte	0,041	0,045	0,153	0,126	0,039	0,039	0,042	0,041	0,042	0,035	0,048	0,048	0,049	0,044	090'0	0,055	0,068	690'0	0,046	0,039	0,040	0,038	0,049	0,036	0,041	0,041	0,039	0,038	0,109	0,103	0,044	0,040	0.037	0,048	0,041	0,042	0000
	Mittelwert der Konz. in UU	44.00	50,11	4	0,'	00.0	3,08	160	4,00	V 1.00	25,17	5.59		1 40	<u>.</u>	8 59	60.0	42.20	87,2	1 44	ţ	3 08	0,00	*		3.45	0,40	5 77	7,'6	7 70	<u>,</u>	*			۶, 8		50,29	
lgG1	Konz. in UU (Ulm- Units)	14,41	7,65	7,10	7,10	3,39	2,77	4,60	4,60	<1,00	<1,00	3,44	7,73	1,73	1,07	3,26	13,92	16,97	7,58	1,25	1,62	5,56	2,40	1,38	<1,00	5,00	1,89	4,60	6,94	1,73	1,07	< 1,00	1,55	<1.00	<1,00	21,68	18,90	
	Opt. Dichte	0,040	0,035	0,034	0,034	0,031	0,030	0,031	0,031	0,026	0,026	0;030	0,035	0,030	0,028	0,034	0,048	0,051	0,041	0,027	0,028	0,032	0,028	0,029	0,027	0,033	0,029	0,031	0,033	0,030	0,028	0,029	0,031	0.025	0,026	0,045	0,043	
	Mittelwert der Konz. in ng/ml	1	97,77	24.70	34,12	707	184,90	70.53	70,07	2.55	-,00	46.74		34.82	10,10	141 10	2	640.69	51,23	45.06	56,64	19.46	0	36 77	20,00	49 94	6,61	64.73	٥,,٥	90 40	30,10	09.09	60,00	!	6,15		582,66	
IgGaesamt	Konz. in ng/ml	29'62	74,89	64,08	45,36	162,13	207,66	68,59	72,45	3,21	1,89	54,44	39,03	36,33	33,31	155,09	127,10	578,02	447,04	44,90	47,01	22,41	16,50	38,74	34,79	53,99	45,83	62,63	55,83	31,18	29,17	58,25	62,93	7.30	5,00	280,07	285,25	
	Opt. Dichte	0,108	0,104	0,079	0,067	0,121	0,149	0,103	0,107	0,031	0,029	0,080	0,066	0,071	0,067	0,224	0,195	0,642	0,532	0,086	0,089	0,044	0,040	0,074	690'0	0,085	0,076	0,102	0,089	0,064	0,061	0,086	0,089	0.035	0,033	0,280	0,285	
	Ge- schlecht	;	>	,	>	;	>	1	=	W	:	*		Ε	:	Ε	=	3	>	3	\$	*		*		*	*	1	• =	1	=	3	>		E		>	
	Diabetes- dauer	20100010	z wocnen	O Weeken	z wocnen	O Weeken	z wocnen	decina	IIISCII	1 Monat		7 Monate		1 Works		2 Wochen	7	fricoh	ILISCI	40 Monoto	O MOI ate	friech	130	1 Works	1	9 Jahre	9 08116	Monde	z Monate	240	0 04116	2 Woobon	z wocnen		frisch		triscn	
ם –	Manif Alter	17	=	16	<u>.</u>	,1	<u> </u>	11	,	9	,	8		16	2	17	=	1,7	<u> </u>	;	-	1,	:	1.5	7.	6	7.	ç	7	16	2	1,	=		15	ţ	77	Ī
= nicnt bekar	Alter bei Probene nt- nahme	1,1	-	16	<u>0</u>	ļ	=	1,	-	9	,	8		16	2	17	=	1,1	=	ć	7	1,	:	12	7	5	- 7	ç	7	5	7	1,	=		15	ç	7.	Ī
n.b. = nic	Geb Datum	10,50	1.8/90	64.65	20/10	07/04	9//0	07/04	0//0	26/90	-000	06/90		08/80	1000	05/82	20/02	60/00	08/82	00/00	00/00	02/83	05/00	04/88	20/10	10/79	2101	00,10	60/10	02/20	67/00	60/30	00/00		04/86	00,0	10/88	
	GAD (U/ml)	99	9	0	8	ř	Ŝ.	00	60	31	5	61		51	5	63	3	63	ş	77	;	70	î	51	,	38	3	97	9	53	76	63	ĉ		37	į	/9	
	Name		ń ń	2	ż Ż		i 5	٥		B	i i	D. R.		К		۸ ۵	; i	-		٥	ć	а Т	i i	' Х	i :	2	<u>:</u>		E	٥	<u>:</u> 6		ó ₹		Sch. F.	,	г. п	
	ID - Nr.	5	3	5	70	107	45	000	707	406	}	862		1176	<u>:</u>	3427	7	24.20	3130	2005	3233	3417	;	3447	,	3522	7700	25.70	9350	2564	4000	1036	800		3718	į	3/31	
	Versuchs- code	,	.	٠	7	,	ກ	,	+	7.	•	9		7	•	α	•	c	ח	ç	2	÷	=	12	7	.	2	,	<u> </u>	7.	2	97	2	!	11	,	20	

12,05		16,66		5,25		13,26		4.01	f	42.70	13,79		12,44		29.35	55,53	!	71,01		63,46		23,28		28.64	-0,0-	47.38	07,1	7	6c, r.	0007	06,01	65 56	20,03	90	9,61	10.61	12,67		9,63		26,11	Ī	7,30		34,36	
12,05	18 90	14.41		5,25	21.0	13,26	04,01	4,33	3,69	17,35	10.23	0,00	12,33	11,95	32,01	26,69	10,84	9.50	77.38	49.54	60,00	63,62	23,28	27,37	29,90	19,58	14,98	12,95	10.23	22,57	15,23	24,91	28,35	20,73	19,06	10,41	14,92	6.02	13,24	77	25,44	2:12	9,50	60,6	36,85	31,86
0,045	0.043	0.040		0,038	2000	0,039	0,00	0,035	0,034	0,043	0.038	0,000	0,047	0,046	0,052	0,046	0,037	0.036	0.086	0200	0,070	0,047	0,047	0,050	0,053	0,044	0,041	0,040	0.038	0,045	0,040	0,044	0,048	0,041	0,040	0,036	0,039	0.039	0,035	7000	0,061	. 2212	0,036	0,032	0,055	0,050
1,73		18,67		< 1,00		۲,00		*		40.00	19,08		1,31		3 55	6,0	1	67,00		89,6		2,30		5.09	20,0	14.25	67,4	, , ,	4., 1	0 10	67,12	99 07	00,01	900	66,0	4	9.		v 1,00		4,00		9,74		8,49	
1,91	22 03	14,41		× 1,00 × 1,00	201.	<1,00	20.1.7	1,07	<1,00	10,23	27.92	10, 11	44,	1,17	2,67	4,42	18,29	103.28	7.10	12.25	2,2,0	2,30	2,30	5,09	5,09	16,54	11,95	4,88	3,39	34,70	19,79	13,15	8,17	3,99	3,99	4,61	3,77	< 1.00	< 1,00	00 1	< 1,00	221.	15,23	4,24	9,84	7,13
0,032	0.046	0,040		0,029	01010	0,025	0,010	0,028	0,025	0,038	0.052	100,0	0,029	0,028	0,029	0,031	0,042	0.098	0.034	0.038	000,0	0,020	0,028	0,032	0,032	0,042	0,039	0,033	0.031	0,058	0,043	0,037	0,034	0,030	0,030	0,031	0,030	0.028	0,028	000	0,026	21212	0,040	0,031	0,032	0,030
21,83		57,46		29,30		19,38		4 01	ŕ	264 45	251,45		34,58		32.08	25,00	000	462,08		201,57		9, 4		244.95	20,112	40.00	, 0, 0,	0000	96,20	6	204,30	400 50	66,201	12 50	44,30	S. C	9,73		33,82		29,47		87,86		51,94	
20,69	70.25	44.67		28,88	1	35.55	00,00	4,33	3,69	252,1	250 79	2000	30,27	30,89	34,02	30,13	516,59	447.57	206.72	106.41	1.00,4	0,04	10,03	248,81	241,08	66,09	39,39	79,22	46.69	275,24	253,36	240,9	124,28	44,62	40,38	9,04	10,41	33.33	34,31	00 41	29,47	(2)	116,81	6,86	53,39	50,48
0,052	0 100	0.075		0,067	10010	0,031	0,0	0,035	0,034	0,180	0.179	0,000	0,00	0,073	0,054	0,050	0,350	0.311	0.153	0.147	, t- '0'	0,030	0,037	0,179	0,174	0,100	0,073	0,083	0.067	0,197	0,182	0,179	0,104	0,071	990'0	0,035	0,036	0.066	0,067	0.030	0,070	2:25	0,104	9/0'0	0,068	0,066
M		>		*		*		Ε	•	:	>		>		3	\$		E		Ε		Ε		Ε	•	ï	\$		E	:	>	1	>	2	<u>:</u>	į	E		>		>		>		>	
frisch		frisch		1 Woche		6 Jahre		frisch	2	4 10/00/60	1 wocne		frisch		1 Woche			i wocne		frisch		6 Monate		1 Woche		02401 3	o dalle	4 107 1	i wocne		3 Monate	desing	LISCI	docing	5	CACCOM C	z Monate		2 Monate		1 Jahr		frisch		6 Jahre	
16		8		19		=		2	2	,	8		15		20	3	;	2		12		18		20	22	66	77	8	53	8	8	5	77	7.0	7	5	7		56		22		30		2	
16		92		19		17		~	2	,	8		15		20	2	Ş	<u> </u>		12		19		20	2	2.6	7	5	3	8	97	8	7	1,1	7	,	7		56		23		30		27	
07/85		02/84		08/82		12/84		12/83	2	04/00	04/87	1	04/88		02/83	20/20		02/80	┢	03/92	_	07/85	4	01/85		12/30	100	0.477	04//5	91.01	7/01	22,30	0//00	06774	100	0.477	04//		11/72		12/75	\downarrow	07/68		01/72	
53	L	. 67	ļ	22		36		5.	_	2	,		63,37		73.3	Š	20.00	90,05		94,57		61,38		112		20		8	8	ŝ	2	f	2	73	ò	Ş	4		24	ļ	63	1	95		75	
s. C.		Sch. M.	ļ	В. К.		⊇		Z.	<u> </u>		∑		я. П		ď					ပ ဖ		B. A.		v.		MOD		;	<u>:</u> ;		5	2	ė ė		ż		Σ Έ		S. S		ż Σ	╽	Sch. U.		s S	
4015		4074	ļ	4078		4087		4158	3	1007	4335		5023		5066	9	i	5/13		5394		5407		5754	5	US	3	707	32	ş	904	272	040	663	655	99	990		946	l	959	╽	1022		1363	
20		21		22		23		24	;	30	67		56		7.6	7	ő	87		29		30		8	5		35	ď	şç	3	\$	30	င်	36	ŝ	7.0	3/		38		39		40		14	

19,06		14,44		1000	70,0		21,50		12,30		20,97		25.98	20,01	24.00	06,10		97,71		18,47		23.97		10.03	<u></u>	20.74	1,00	23 53	55,53	10.06	9,0	28.48	20,40	22.40	61,13	7 20	77,4		10,71		29,09		14,97		22,27
19,06	000	16,39	12,49	15,40	12,23	72.27	20,73	11,45	13,15	20.18	20,10	7,76	26,96	24,99	34,77	29,19	14,92	19,59	19.97	0,0	16,97	22,27	25,67	10,74	9,32	31,13	30,35	24,78	22,27	19,58	16,54	25,90	31,05	23,64	20,73	3,89	4,54	12.49	8,93	27.37	30,80	18.48	18,48	0,10	22,27
0,040		0,044	0,041	0,038	960'0	0.042	0,041	0,036	0.037	0.041	6,0	0,042	0,051	0,048	0,053	0,047	0,039	0.042	0.054	1000	0,051	0,042	0,045	0,035	0,034	0,057	0,056	0,044	0,042	0,044	0,042	0,045	0,051	0,043	0,041	0,036	0,037	0.041	0,038	0.050	0,050	0000	0,040	0,000	0,042
2,76		2,28		022 66	6,50		3,69		2,89		3,71		38.41		23 3	70,0	i	7,17		۲, 9,		5.27	.=í>	177 875	9	40.72	21,01	5	<u>,</u>	12 63	5,5	10.05	5,6	12.06	2,00	00 7	B,'. v		2,52		111,18		2,89		2,19
3,12		2,04	2,52	1050,16	816,93	4 99	2,39	2,13	3,65	4.60	00,4	7,87	47,37	29,44	8,43	4,91	2,40	3.04	7 100	00,1	< 1,00	3,12	7,41	193,07	162,68	12,60	8,84	< 1,00	< 1,00	16,54	10,51	24,91	14,99	13,75	10,37	< 1,00	< 1,00	2.52	2,52	210 11	12.25	3 65	3,05	2,13	3,12
0,029		0,029	0,030	0,711	0,603	0.031	0,028	0,028	0.030	0.031	50,0	0,029	0,078	0,055	0,031	0,028	0,028	0.029	0.026	0,020	0,027	0,029	0,033	0,173	0,152	0,039	0,036	0,025	0,025	0,042	0,038	0,044	0,038	0,037	0,035	0,029	0,027	0.030	0,030	0.155	0,038	0000	0,030	0,020	0,029
35,68		18,23		7440	12,0		47,31		37,18		55,40		298.57	1000	90 00	32,00		32,97		60,63		18.64		437.04	,	969 70	01,000	61 13	7.	27.44	- 1,70	369 63	56,505	26 50	66,02	76.06	46,96	1	15,75		297,08		32,52		134,07
36,43	00.10	25,20	11,25	>1410,00	>1410,00	46.40	48,22	49,96	24,39	55.83	20,00	54,96	332,37	264,76	34,77	30,94	33,7	32.23	58.30	00,00	62,96	26,90	10,37	394,39	479,68	383,78	383,78	61,12	61,12	38,72	35,50	411,21	325,85	27,51	25,67	49,57	44,35	21.43	10,06	337 78	256,37	32.82	32,82	12,21	141,01
0,061	0.00	250,0	0,040	1,193	1,231	0.073	0,075	0,082	0.044	080 0	600,0	0,088	0,329	0,265	0,053	0,049	0,059	0.057	0.117	5	0,123	0,047	0,035	0,332	0,394	0,358	0,358	0,088	0,088	0,072	0,067	0,308	0,251	0,048	0,045	0,080	0,076	0.048	0,039	0.243	0,243	0.058	0,038	50,0	0,158
*		>		;	\$		>		Ε		>		Ε	:	8	=	1	E		Ε		>	:	×	•	8	=	/m	\$	'n	\$	"	\$	<i>"</i> "	\$:	>		Ε		Ε		Ε		>
4 Monate		1 Woche		740	5		2 Wochen		1 Woche		6 Monate		2 Wochen	_	2 Weeken	Z WOCIEII		i wocne		1 Woche		frisch		25 Jahre	2000	fricoh		friech		1 E Johro	, c	1 Monat		o Monato	9 MOI ate	2040000	z wocnen		3 Jahre		frisch		3 Wochen		1 Woche
52		30		90	3		55	;	52		27		2	i	00	67	ŝ	77		22		24	i	2.4	1	00	70	30	3	66	77	36	9	24	7	1	7		30		56	ļ	52		30
, 22		30		,		-	22	_	52	-	27		27		00	67		77	ļ	22	_	24		49		00		30	3	"		36		22			7	-	33	Ļ	5 26	+	25	1	30
72/80		12/69	4	04,72			08/77		01/75		11/72		04/79		1430		100	07/78	t	11/78	_	10/76		07/51		64/60	1170	12/30		04/70	5	37/00		03/80	02/00	-	4//60	1	7 07/68	ł	11/75	╁	72/20	1	02/72
58		4	_	,	_	L	24		4		42		99		1/2	_		4	╁	63	1	57		118		63		25		-	_	7.3		72			8	H	43,37	H	98,2	ļ	42,1	1	59,9
Sch. C.	ļ	Э.		450			ж С	-	i S		-: ±		Z. T.	i	٥			5 E		B. A.	_	Σ		2		2	Ě	a		2		υ 1		N 455	90		ة ز				Ξ. Σ	\downarrow	В. Ј.		S. A
2954		3083		2007	9		3168		3305		3353		3422		3016	0400	2020	3333		3536		3636		3649	3	1036	999	0282	3	2000	2900	3011	6	44.23	4 2	77.7	5 14		4205	L	4212	ļ	4242	1	4244
42		43		7	•		45		46		47		48	?	9	ņ	i.	0c		51		52	->	53	3	74	;	35	3	99	3	57	5	S L	ŝ	ď	S.C.		09		61		62		63

11,89		4,22		13,36	26 23	53,53	23.20	02,62	20.70	61,03	5 82	3,05	31.67	20,10	24.04	10,13	5	20,17	6 52	20,0	293 79		30.49	64,00	26.42	-0,4-	17 55	20,11	30.28	22,20	10 30	00,01	4 50	ę, 6	20.30	23,33	1007	12,95	21.95		16,96	
13,07	4.54	3,89	13,36	13,36	34,70	35,75	25,38	21,01	32,69	24,88	5,82	5,82	24,91	38,43	21,01	21,01	<1,00	<1,00	7,78	5,25	315,22	272,36	25,90	35,08	29,03	23,80	14,92	20,18	36,23	24,33	13,80	6,79	2,90	6,28	32,76	26,01	12,95	12,95	24,99	18,90	18,99	14,93
0,044	0.037	0,036	0.038	0,038	0,058	0,059	0,049	0,045	0,056	0,047	0,037	0,037	0,044	0,058	0,045	0,045	0,029	0,029	0,041	0,038	0,337	0,285	0,045	0,055	0,052	0,046	0,038	0,041	0,063	0,048	0,037	0,032	0,034	0,041	0,059	0,050	0,040	0,040	0,048	0,043	0,053	0,049
1,76		*	:	3,83	02.076	37.0,33	440.50	6, 6, 1,	110.48	-	214	2,17	15.01	2,01	45.69	43,00	5	0,1	6.	00,1 >	> 1410.00	20,01	6 84	t oʻo	38 56	00,00	2.60	-,00	163	50,1	259 72	233,12	113	,	1 63	CD, 1	0	3,08	18.64		1,17	
2,14	<1.00	1,23	4,61	3,04	493,16	248,81	122,79	115,98	141,54	79,41	2,14	2,14	16,86	13,15	64,85	26,50	<1,00	<1,00	< 1,00	< 1,00	>1410,00	>1410,00	5,51	8,17	36,83	40,28	1,55	3,65	1,43	1,83	255,91	263,53	2,70	2,55	1,43	1,83	3,39	2,77	25,76	11,51	1,17	1,17
0,031	0.028	0,030	0.031	0,029	0,337	0,179	0,165	0,158	0,116	0,087	0,031	0,031	0,039	0,037	0,105	0,051	0,026	0,026	0,026	0,026	1,384	1,279	0,032	0,034	090'0	0,063	0,027	0,030	0,026	0,027	0,219	0,225	0,040	0,033	0,026	0,027	0,031	0,030	0,049	0,038	0,028	0,028
74,49		31,30	:	31,16	*		1102 20	1102,33	99 929	99,5	5 43	C+,0	308 38	00,000	337.06	95,155	339.61	10,650	35 44	++,00	> 1410 00	20,01	33 15	22,12	721 12	71,12	27.89	20,12	38.00	50,00	414 56	4.4,0	100 10	03,10	70.00	18,81	, ,	166,31	188.41		49,08	
73,24 75,74	35,31	27,29	30,80	31,51	>1410,00	1118,73	1233,79	1130,98	696,42	624,9	5,82	5,04	316,36	300,4	386,05	289,87	346,81	332,41	32,39	38,48	>1410,00	>1410,00	36,16	30,13	711,35	730,88	28,16	27,62	37,14	39,03	426,73	402,39	103,39	114,96	29,58	30,35	160,46	172,15	221,50	155,31	44,31	53,84
0,107	0.068	0,059	0.055	0,056	0,720	0,604	0,893	0,839	0,442	0,422	0,037	960'0	0,243	0,229	0,416	0,335	0,456	0,440	0,065	0,071	1,303	1,195	0,056	0,050	0,449	0,458	0,050	0,049	0,064	990'0	0,356	0,338	0,134	0,141	0,055	0,056	0,120	0,127	0,224	0,170	0,097	0,111
*		>		>	3	W	,	>	£	=	W	**	741		Ε		<i>M</i>		741	W	W		E		741		£		Ε		Ε		,,,	\$	Ε	Ш		Ε	Ε		ш	
1 Woche		1 Woche		frisch	deice	IIISCII	e Monato	o Monate	1 Monat	Molat	6 Monate	o monate	frisch		fricoh	113611	8 Monate	o monate	20 Jahra	20 Jaille	5 Monate		frisch	100	frisch	100	2 Wochen	-	4 Monate	+ moliate	5 lahra	o oanie	2 Meneto	3 MOHALE	o lake	9 Jame	1	ırıscı	2 Monate		6 Monate	
29	:	52	:	30	5	7	5	7	66	77	27	7	25	77	26	77	20	67	20	67	30	3	22	77	23	7.7	25	22	72	5	36	95	00	n c	27	37		ę	34	,	39	
59	:	52	:	30	5	7	ç	7	"	7	28	7	25	2	26	77	30	3	97	î	30	3	22	77	23	2	25	3	72	5	44	+	00	ñ	31	40		င်	34	;	40	
12/73		09/77	┡	02/73	70/07		05/01	0/60	10/01	9/7	12/75	217	82/80		22177	1110	03/74	1	04/55		11/73	2	03/80	20/20	02/81	070	02/20		04/64		11/57		00/60	66/60	09/62	00/33	, ,	11/64	05/65		10/59	
52	:	53,3	┡	49,16	7.07	6,011	60.3	60	60	3	50 27	12,00	72 58	12,30	7.4		105	3	52.68	32,00	166	2	7.3	?	7	<u>:</u>	41.5		29	3	100	60	105	2	63	င္ပ		2	64	;	64	
я. я.		ж Р.		B. LA	٥			5 2	^		ď		יט		٥	ć	α		ď		Z		1		1		ď	-	2		a X		-	<i>j</i>	3			<i>i</i> i 5	В. Ј.		z. z	
4511]	4634]	4635	707	40 4	2201	40/0	5403	3	5146	5	5156	3	5310		5340	2	5424	745	5453	3	5564	5	5665	3	5699		92	2	411	+	037	9	2037	4667	2000	3003	3053		3064	
64		92	1	99	7.5	70	89	00	60	3	02	2	74		7.3	7,	73	2	72	ţ	75	2	76	2	22		78	2	79	2	80	00	5	•	6	70	8	2	84	;	85	

21,79		1059,79		00.40	6,70		1,66		14,43		30,80		32.24	2,20	710	0,'0	40.53	56,01	1	06,1	77	26,11	20	99,1		31,40		5,25		26.09		28 12	20,12	26 86	20,02	37.0	6,70		96,4		26,54		27,34	,	k
22,67	1001	1035,35	1084,22	27,55	26,00	1 66	1,66	13.77	15.08	0 00	32,76	28,83	33,66	30,75	4,11	3,45	25,23	7,82	6,88	7,87	13,77	10,06	1,66	1.66	31.86	30.94	5.05	04.0	5,25	27,09	25,09	29,01	27,22	24,00	29,72	3,09	2,43	6,02	3,89	27.26	25,82	30.35	24,33	2.61	<1,00
0,057	0 10 1	0,784	0,813	0,045	0,043	030	0,030	0.042	0.043	0.000	0,059	0,054	0,064	0,059	0,043	0,041	0,049	0,036	0,036	0,037	0,042	0,039	0,030	0.030	0,050	0.049	0,038	0000	0,038	0,048	0,045	690'0	0,065	0,055	0,062	0,028	0,027	0,039	0,036	0.056	0,053	0.056	0.048	0.038	0,033
94,62		270,34		000	6,02		2,73		1,25		2,57		1226 11	177	90 00	77,00	70 01	/e,01	0	7,0,	,		73.0	3,04	į	4,91		× 1,00		> 1410.00		77 76	,	*		23 62	55,55	90	v 1,08		627,65		3,14	,	k.
102,31	040	272,88	267,79	7,13	4,91	255	2,33	1.25	1.25	01.	2,83	2,30	1249,73	1202,48	23,14	22,57	86'8	12,95	2,52	1,62	<1,00	1,25	5,14	1.93	4,91	4 91	1,00	00,7	< 1,00	>1410,00	>1410,00	38,85	10,09	<1,00	1,23	89,70	15,40	< 1,00	< 1,00	628.74	626,55	2 83	3,44	>1410.00	1371,89
0,168	. 0	0,273	0,268	0:030	0,028	0.033	0,034	0.027	0.027	1000	0,029	0,028	0,901	0,877	9/0'0	0,075	0,037	0,040	0,030	0,028	0,025	0,027	0,039	0.031	0.028	0.028	0.00	0,020	0,027	1,455	1,362	0,088	0,044	0,029	0,030	0,105	0,038	0,026	0,027	0.529	0,528	0000	0:030	0.903	0,821
924,61		*		20.00	56,12		10,18		30,41		35,75	,	828 16	250,10	20 000	10,080	20,00	00,102	00	67,00	0000	76,67	77.00	30,11	:	41,25		10,93		> 1410.00		33068	00,000	64.62	20,40	1440 00	> 1410,00	1000	70,67		1138,23		18,15		>1410,00
1033,31	10.1101	1245,85	>1265,65	22,68	21,22	11.37	8,99	33.56	27.26	1 1 1	27,39	44,10	883,55	772,77	911,35	870,39	329,21	234,39	35,29	35,29	25,20	21,43	24,33	35.88	47.72	34 77	04,77	2,00	12,05	>1410,00	>1410,00	374,66	304,69	69,46	29,78	135,09	152,55	6,87	14,46	1202.88	1073,57	19.53	16.76	>1410.00	>1410,00
0,896	. 0	0,901	0,920	0,040	0,039	0.048	0,045	0.068	0.056	00010	0,052	0,071	0,688	0,639	0,904	0,880	0,247	0,167	0,071	0,071	0,052	0,048	0,063	0.081	0.064	0.053	0,000	0,0	0,045	1,539	1,513	0,462	0,388	0,093	0,087	0,133	0,145	0,040	0,047	0.794	0,733	0.044	0.042	1.095	0,921
*		*		***	>		Ε		*		*		m	\$		>	:	>	1	E	1	Ξ.	1	E		Ε		*		>	:	m	*	Ε	=	8	E	1	Ε		*		Ε		M
frisch		1 Monat		41-7	II SCII		5 Jahre		2 Jahre		2 Monate		2 Monate	2 monare	7 10 10	Molat	40 1-1-0	10 Janre	1-1-9	LISCI	4-1-9	II SCII	9 1-1-1	3 Janre		3 Jahre		1 Jahr		1 Jahr		frisch	1361	frisch	1361	oten C	z Monate		4 Janre		2 Jahre		10 Monate		6 Monate
36		37		5	76		36		32		33		36	3	9,	}	7	\$	ć	ຄິ	7	ે	ć	ર	:	32		33		37	;	37	5	33	ဒိ	56	-	1	3,	L	34		32	;	34
36		37		6		_	4		37		33		36		,			4		?		ò	-	န	L	32	-	34		38		37		33			<u>,</u>		4	-	36		33		34
11/63		09/62		00/00	00/00	H	12/59		10/63		10/67		19/60	7070	44.60		-1/00	20/50	20,750	70/10	20,00		-	0/90	H	99/80		29/90		01/64		19/60	0202	04/69	9	14.770			06/61	_	02/66		12/69	╄	99/68
64		C. 65			2	-	>120		. 42	ig	09		89		777) N		•	4	}	1,450	071.<		75		26	1	102		79		56	90	,	3	-	52,8	Ļ	46		6	╁	87,16
. R.		VSch. C.			Ė		Ξ Ξ		Σ	ļ	D. A.		2	Ė	4-0	9.13	1	3CD. EIM	747					i.	i	д. Ві		ю Ю		Σ		2	i	ď			<u>.</u>	2	χ. Σ		L. B.		S. A	:	M. M.
3292		3293		2770	3		3478		3589		3593		3658	3	7556	000	2755	3/33	7700	4400	2000	2000	7000	290	ļ	4075	ļ	4154		4209	!	1221	77	4222	7774	3207	4270	1007	4285	L	4355		4508		4555
98		87		Ġ	8		68		06		91		93	70	ç	2	3	4	ı	n n	ď	06	2	6	;	86		66		100	}	5	2	102	20	103	201	,	104		105		106		107

18,83		*	Ī	14,43	214,06	,	k		۲ ⁷ ,00		25,20		5.35		20.74	1,07	42.00	42,00	4	96,11	240 40	740,12	2.46	, ,	16 71	- '6	20.20	00,04	3 90	99,6	12 08	06,31	090	60 60 60	70,7	1,34		3,01	7	1,01	16.85	
19,59	1 11	4,00		13,77	230,03	<1.00	1,95	7 00	7 00	00,17	28,13	72,27	7,58	3,11	19,44	22,04	43,81	40,19	18,08	5,04	285,76	211,68	3,15	3,77	13,36	18,06	34,77	23,99	4,71	3,09	14,39	11,56	7,82	11,56	1,34	1,34	2.87	3,15	16,71	16,71	24,54	9,15
0,042	9800	0.030	i	0,042	0,226	0.033	0,037	0.031	0.035	000,0	0,049	0,042	0,039	0,033	0,057	090'0	0,061	0,058	0,048	0,036	0,216	0,158	0,040	0,042	0,038	0,041	0,053	0,041	0,030	0,028	0,041	0,039	0,036	0,039	0,032	0,032	0.039	0,040	0,039	0,039	0,048	0,037
1,20		102,95		2,07	3,41	:	173,30		289,85		3,19		1.40		1440 00	20,0	607.03	26,186	*		4000	0,01	20 000	223,01	1 67	ō't	7 07	F	346.13	040,10	£ 33	66,0	00 6	2,00	*			4,12	6	3,24	13.44	
1,39	199 35	6.55		2,52	3,77	275.7	70,89	297 29	287,20	502,40	2,39	3,99	1,73	1,07	>1410,00	>1410,00	765,11	430,73	1,38	<1,00	13,15	20,50	264,01	183,61	5,56	3,77	4,91	4,91	350,37	341,89	2,77	4,88	2,23	1,77	<1,00	1,17	4.47	3,77	2,82	3,65	13,44	13,44
0,026	0.173	0.042	: ::	0,030	0,030	0.241	0,092	0.264	8700	0,000	0,028	0,030	0,030	0,028	1,607	1,654	0,447	0,289	0,029	0,026	0,037	0,041	0,360	0,273	0,032	0,030	0,028	0,028	0,298	0,291	0,034	0,033	0,029	0,028	0,027	0,031	0.044	0,042	0,029	0,030	0,040	0,040
9,73		230,70		45,99	22,77		395,40		365,52		38,39		66.40		1440 00	1	4440.00	7 14 10,00	04 20	67,12	77	32,11	126F 6F	1203,03	38 44	** **	37.43	į, į,	783.46	02,00	19 56	00,01	15.15	19,13	90,00	180,98		885,49	25.00	50,73	64.41	
10,41	232 44	228.95		48,45	27,47 18,06	452.13	338,66	341.89	389 14	11.000	39,57	37,20	77,00	55,80	>1410,00	>1410,00	>1410,00	>1410,00	29,17	25,41	43,37	22,16	1226,25	1305,04	38,44	38,44	39,04	35,79	792,59	774,32	24,17	12,95	17,35	12,95	179,73	194,23	885 49	885,49	31,61	29,85	66,67	62,15
0,036	0000	0,200	5	0,091	0,050	0.394	0,307	0.310	0,278	250,0	0,065	0,062	0,110	0,092	1,574	1,517	0,886	0,745	0,061	0,055	0,062	0,042	1,068	1,109	0,065	0,065	0,057	0,054	0,590	0,580	0,048	0,040	0,043	0,040	0,269	0,284	0 889	0,889	0,056	0,053	0,107	0,102
Ε		*		*	E		>		*		*		*		3	\$;	>	1	E	:	>	3	\$	3	\$	'n	•	**	•	Ε	≣	£	E	1	E		Ε	1	E	×	:
12 Jahre		frisch		1 Woche	2 Monate		1 Monat		1,5 Jahre		frisch		3 Monate		7 10820	2	17 lobs	/ Jame	4-1-9	ILISCII	4 1-1-2	4 Janre	2 Mechan	3 Worliell	docia	5	friech	200	A lahro	-	1 Weeks	a nocile	andon C	z wocnen	2,44	z Janre		1 Woche	-4-1	Jan	2 Wochen	
37		34		36	39	:	33		32		35		38		2.5	5	2.0	ે	,	ຄິ	ş	9	ç	60	33	ŝ	33	3	35	3	21	ř	27	}	ç	4 5		45	;	4	46	!
49		34		36	39	:	33		33		35		38		96	3	73	ţ	ć	ຄິ	,	4	ç	60	33	င်	33	3	30	3	21	ř	47	}	76	6		45	ş	74	46	!
08/23	L	10/68		05/67	12/63	1	11/70		11/70		89/80		09/65		10/65	2	44,40	94	1410.4	104	02/60	00//0	39700	6/40	1077		1077	5	05/65		06/54	6/90	12/61	6/7	44.150	56/1.1		10/56	00/64	76/20	05/52	
46,44		88,47		44,3	47,8	:	90,87		98,49	-	57,48		50.75		1130	7	75 57	6,67	,	76	10 6	6,27	700	8	47.6	<u>,</u>	6 82	7	707	2	Va	8	70	2	445	<u> </u>		-	ş	4	7.7	
Ή Θ		Ä.		s C			Ξ. Ξ		χ Σ		O.B.		B		•	<u>:</u>	-	ć		ز ز		<u>:</u>		<u>:</u> ;	N		3			:	*	; ;		₹				တ် တ်		ŗ.	W	
4580		4584		4934	4936	:	5118		5183		5254		5289		2004	5	2424	3424	55.45	200	2002	2023	6570	6 700	6704	ò	5713	2	5755	3	25	S	73	ţ	1	`		700	Š	906	1085	:
108		109		110	111		112		113		114		115		116	2	117	Ì	9	<u>•</u>	7	<u>n</u>	120	021	121	7	122	77	123	23.	124	+ 7	126	67	4.06	97.		127	200	971	129	

12,00		6,63		1.92			18,80		26,40		7,82		26.30	20,04	17 20	2	20 07	70,07	6000	0,57	9	90,15	76.11	43,14	79 60	73,04	6.10) (°	707	2	32 54	45,55	5	8,17	13.36	95,51	7 67	+,0,+		30,85	17.76	O+,+-	7.27	
20,14	7 90	7,90	5,35	2,43	1,40	22,67	14,93	28.11	24.69	7 87	7,02	7,82	25,90	26,69	12,21	10,55	27,39	30,35	28,04	19,58	21,68	42,07	51,84	38,43	23,64	23,64	7,57	4,63	20,73	15,52	34,02	31,05	<1,00	<1,00	13,36	13,36	4,14	5,14	33.60	28,10	17,35	11,56	7,51	7,02
0,041	0.043	0,043	0,041	0,027	0,025	0,057	0,049	0.051	0.046	5: 5/5	0,030	0,036	0,045	0,046	0,049	0,047	0,052	0,056	0,054	0,044	0,045	0,072	0,068	0,058	0,043	0,043	0,043	0,038	0,041	0,038	0,054	0,051	0,029	0,034	0,038	0,038	0,037	0,039	090'0	0,053	0,043	0,039	0,051	0,050
84,17		1243,97		5.22			1,59	:	1,43		5,33		11 43	<u>}</u>	4402 52	32,32	7 30	4,50	70.70	17,17		44,	60.00	39,63	0 40	9,72	64 63	64,33	2 43	3, 7	12.52	20,21	5	86.17	3.44	- t o	90 /	4,30		3,14	20 7	90,1	1.82	
135,09 33,25	1215.04	1215,04	12/2,90	8,00	2,43	1,73	1,44	1.85	1.00	1 88	00,1	5,77	13,15	9,71	1115,08	1269,95	2,76	2,83	26,00	16,54	26,96	15,91	165,45	33,00	7,41	12,02	61,23	67,83	3,12	3,12	16,86	8,17	<1,00	<1,00	3,04	3,77	1,66	8,26	3,44	2,83	6,74	8,98	2,12	1,51
0,133	0.764	0,764	0,785	0,033	0,027	0:030	0,029	0.027	0.025	0.033	0,033	0,034	0,037	0,035	0,828	0,884	0,033	0,029	0,050	0,042	0,051	0,041	0,128	0,053	0,033	0,036	0,106	0,111	0,029	0,029	0,039	0,034	0,027	0,030	0,029	0,030	0,030	0,044	0.030	0,029	0,035	0,037	960'0	0,033
367,16		1312,82		21.44			80,59	:	34,10		81,48		95.72	41,00	*		00 04	95,54	200	64,067	27.00	97,11	2000	70,880	400.05	490,25	207 44	307,11	53 06	26,55	113 45	24.61	33.16	23,10	67.77	71,11	12.65	44,03		13,98	42.58	2,20	995.28	
424,00 310,32	1344.47	1344,47	1781,17	25,87	17,01	94,17	00'29	35.23	32.96	99 68	99,00	63,37	93,52	97,92	1017,04	>1410,00	109,08	77,6	298,69	282,28	80,83	73,72	462,62	337,12	493,80	486,69	367,66	246,56	52,97	54,95	146,17	80,73	41,95	24,37	82,68	72,76	41,73	43,57	15.35	12,60	20,27	4,88	1327,77	662,78
0,354	0.811	0,811	0,788	0,046	0,039	0,159	0,128	0.061	0.058	0.094	0,031	0,076	0,090	0,092	0,790	0,945	0,119	0,097	0,343	0,328	0,109	0,103	0,338	0,260	0,460	0,455	0,391	0,256	0,080	0,082	0,116	0,084	0,072	0,053	0,106	0,098	0,088	0,090	0.041	0,039	0,045	0,033	1,121	0,738
w		Ε		Ε			Ε		>		Ε		*	•	3	\$:	>	ŝ	=	1	E	3	>	1	E	3	>	ř	\$	**	*	W	*	m	\$	Ε	=		Ε	ř	•	ε	
2 Jahre		5 Jahre		7 Jahre			2 Jahre		1 Woche		1 Woche		1 Woche		12 lahan	2000	mode of the	z wocnen	401	200		o Janre	C. del C	z Janre	4 10/00/0	i wocne	2 Mechan	z wocnen	fricoh	5	friech		1 Monat	Molat	2 Monato	z monate	friech			9 Jahre	fricoh	1961	1 Monat	
46		45		47		,	42		47		43		44	ļ	9	ř	۲,	7	1	ř	,	4	9	6	ç	74	Ġ.	6	ş	7	42	74	49	î	77	7	77	-		46	7,	i	50	
48		20		54			4		47		43		44	ļ	6.4	5	۲,	4	ę	}	٧	4	5	76	ç	74	2	6	ç	7	42	74	49	î	67	,		-		22	7/	i	50	
02/20		08/49		10/45			07/25		01/53		11/57		04/56		07/00	2	05/50	60/00	10/50	70/7	20,20	cc/cn	11/10	- /40	04,60	66/10	77/127	04/3	00/20	60/60	09/50	66/60	07/52	20110	03/60	02/00	09/60	09/60		07/47	05/55		01/53	
66		87	_	9		;	64		47		8		7.4	!	130	2	5	70	۶	2	ú	ê	777	<u>.</u>	23	'n	7.30	7170	57 47	ŧ.	7.2	7,	9	5	87	}	1130	7170		. 63	24 23	20,10	113	4
C. A.		Z. P.		Σ		-	Z. W.		щ п.		s C		-	;	ū			ć 2		<u>:</u>		ż		<u>:</u>	6	<u>.</u>	- 3	¥	*		ш		п		2		L a			R. ED.	9		Sch.R.	
1246		2922		2985		-	3071		3426		3435		3578	3	6036	9	7020	3/24	2722	e e	2707	3/0	2000	2000	0000	3883	2062	2902	7007	1004	4010	2	4079	6.01	7677	17	8867	4700		4362	7777		4521	
130		131		132]	133		134		135		136	3	137	<u> </u>	430	<u>0</u>	130	2	97,	140	7	4	77	747	143	<u>4</u>	144	<u> </u>	145	<u>}</u>	146	2	147	<u> </u>	148	0		149	150	2	151	

20,51	. = = :	15,74		43,86	90 0	0,83	07	<u>o</u>	19.42	74,6	3 76	2,10	12 04	t.	5	<u>,</u>	29.45	£,5,	5	8,17	25.63	20,01	14 92	-20,-	40.6	3,0,6	28 03	56,07	20.72	20,12	30.68	90,00	15.87	70,61	37 30	50,10	77	6+,11	12,59		06'90
19,79	15,08	16,39	51.92	35,79	9,80	3,89	99'9	3,69	15,91	22,93	2,43	3,09	13,92	11,95	<1,00	<1,00	31,89	27,01	<1,00	<1,00	26,01	25,25	14,92	14,92	11,25	6,88	32,47	25,38	19,89	21,55	33,00	28,35	17,35	14,39	36,85	37,93	12,23	10,74	15,56	9,61	7,78
0,043	0.043	0,044	0.067	0,054	0,043	0,036	0,038	0,034	0,041	0,046	0,027	0,028	0,048	0,046	0,033	0,035	0,061	0,052	0,035	0,032	0,050	0,049	0,038	0,038	0,040	0,036	0,062	0,049	0,050	0,051	0,053	0,048	0,043	0,041	0,055	0,056	960'0	0,035	0,046	0,041	0,041
190,65	1	477,51		9,14	9	00'L >	69.0	2,63	25.43	£7,54	109 06	30,00	2 50	2,2	153.06	2000	17.28	2	399 34	-000	4.95	20,1	3.71	- 160	2.28	7,40	86 35	66,00	00 0177	0,01	40.88	0,00	27.45	£ 17	V8 899	ro,000	360 23	303,23	2,14		*
123,44	510,98	444,04	9 84	8,43	< 1,00	< 1,00	3,11	2,14	36,45	14,41	267,29	128,83	3,26	1,73	261,80	44,31	19,58	14,98	521,05	277,63	5,76	4,13	4,60	2,82	2,04	2,52	83,88	88,81	>1410,00	>1410,00	14,99	92'9	4,88	50,02	425,25	912,43	518,56	219,89	2,14	2,14	<1,00
0,107	0,470	0,431	0.032	0,031	0,026	0,028	0,033	0,031	0,065	0,040	0,228	0,129	0,034	0,030	0,227	0,074	0,044	0,041	0,441	0,243	0,033	0,031	0,031	0,029	0,029	0,030	0,125	0,130	1,123	1,077	0,038	0,033	0,033	690'0	0,286	0,501	0,421	0,192	0,031	0,031	0,028
1053,82		>1265,65		31,92	46.07	16,91	9	9,30	154.05	20,4	445.90	413,30	33.65	2,55	328 46	350,10	48 82	10,01	724.40	01,12	100.14		27.62	20,12	21 39	50,13	86.299	96,300	00 0445	0,01	71 01	- fg.	120.40	20,40	744000	70,011	93966	320,00	31,18		166,59
1142,08	>1265,65	>1265,65	30.06	33,77	15,71	18,23	99'9	4,33	164,17	143,93	405,07	426,73	33,90	33,39	390,46	265,85	49,59	48,04	1059,65	389,14	105,04	95,24	28,16	27,08	20,24	22,54	866,14	459,82	>1410,00	>1410,00	54,96	43,37	120,4	120,4	>1410,00	>1410,00	457,13	200,22	31,18	31,18	166,59
0,612	0.867	0,848	0.048	0,052	0,048	0,050	0,038	0,035	0,177	0,161	0,340	0,356	0,079	0,078	0,349	0,231	0,087	0,085	0,707	0,348	0,116	0,109	0,050	0,048	0,047	0,049	9/9'0	0,470	1,612	1,545	0,070	0,062	660'0	660'0	1,083	0,977	0,378	0,178	0,064	0,064	0,157
Ε		>		Ε	1	E	;	\$	m	\$	3	\$	8	=	**	\$	m	\$	Ε	=	*	:	*	:	Ε	=	W	\$	*	\$	٤	=	**	\$	¥	٨	""	8	М		*
7 Jahre		3 Jahre		frisch	0.40	8 Janre	0.40	a calle	6 Monato	o Molate	o Monato	9 MOI ate	3 Monato	o Molate	friech		7 lahro		1 lahr	- 0	5 Monate		frisch	10211	frisch	113611	1 Monat	- E	4 Monot	Molat	2 Wochen	S WOCHE	2 Monato	z Mollate	0 lahra	ם סמווני	2 Mechon	z wocnen	6 Monate		5 Jahre
47	;	4		49	17	4/	ę	ę	44	-	,	ì	"	ŧ	77	F	20	3	42	7	43	?	44	:	42	7.5	40	ř	ę	î	ç	?	20	6	99	3	57	6	09		99
54	:	4		49	22	ec C	2	'n	42	ř	Q.	f	//	ļ	7	F	57	5	73	ì	44	:	44	:	42	7	50	3	ę	î	ç	?	2	8	7,	2	57	36	61		71
11/48		09/28		07/54	07/00	03/48	37700	02/40	07/62	20110	72/00	2000	07/20	6610	03/20	2010	91/90		02/60		05/60	20120	03/60	_	10/62	10/02	09/5/	1000	03/55		13/61	9/3	72/80	1000	06/23	24/00	00/44	03/4	03/37		04/28
83,35	:	43,51		75,7	643	54,3	50.7	,,00	65.0		7	-	63 11	<u>.</u>	80 83	6,69	70.17	<u>†</u>	69 88	20,00	60.23	22,00	42.85	2,23	43.5	ę,	0 89	6,50	33 30	90,00	72.7	7,2,	ά,	•	7.	:	102		. 51		54
ĸ.w.		s; X		ж. В		7. 9.	-	i :	w- 0		2	į	2		۷ ۷	1	M	<u> </u>	У		W		Σ		>	: :	۸۷		ď		۵		× ×	(3	ć	900	acii. b.	PG. U.		D. L.
4582]	4655		4808	40.40	4848	4070	40,0	8007	9	5057	1000	5110	2	5188	3	52/3	3	5249	25-13	5292	2020	5392	7000	5517	3	5537	ŝ	5503	Secon	1,073	57.5	2807	2004	787	107	5/5	240	1171		1186
152		153		154	466	CC.	7 6	961	157	<u> </u>	450	95-	150	2	160	3	161	<u> </u>	162	70.	163	2	164	2	165	2	166	3	167	20	997	9	160	60	170	2	171		172		173

26.74	,	1 54	, ,		19,89		9,13		32,55		31,57		22.19		13.28	2	20 02	20,05	44.00	60,44	20	16,33	17.36	97,1	6 03	6,03	10.25	3,53	67.73	31,10	18 00	90,61	16.49	2+,01	13.74	- 1,5	!	9,47		24,00		19,56	,	18,04
24,04	29,44	4,54	4,54	20,33	19,44	13.26	2,00	34.07	31.02	34 95	34,93	28,18	23,64	20,73	14,93	11,63	51,18	26,47	50,18	38,00	22,93	21,68	22,88	11,63	5,14	6,91	23,52	14,98	79,88	35,55	21,01	14,98	14,92	18,06	12,25	15,23	11,63	7,30	23.55	24,44	21.05	18,06	20,51	15,56
0,047	0,055	0,037	0,037	0,058	0,057	0.039	0,033	090.0	0.055	0.063	0.00	0,053	0,043	0,041	0,040	0,038	0,082	0,049	0,081	0,067	0,046	0,045	0,045	0,038	0,039	0,042	0,047	0,041	260'0	990'0	0,045	0,041	0,039	0,041	0,038	0,040	0,038	0,035	0.050	0,030	0.043	0,041	0,050	0,046
32.90	,	*			> 1410,00		2,72		5,98		23,35		4.06		1 6.7	<u>-</u>	44 60	00,1	9	32,40	71	60,71	03 7	4,60	12 77	13,75	20	9,23	155 72	2,00	14.25	67,4	2 58	2,30	*		,	1,64		2,52	:	4,61	4.0	58,13
30,09	35,70	<1,00	1,23	>1410,00	>1410,00	1.38	4,05	9.82	2.13	26.37	20,37	20,33	4,99	3,12	1,89	1,38	3,21	19,95	59,23	45,56	24,04	10,14	1,89	7,30	18,54	8,99	6,72	3,86	171,5	139,96	16,54	11,95	1,39	3,77	>1410,00	638,72	1,38	1,89	252	2,52	4,61	4,61	63,61	52,65
950'0	0,064	0,029	0,030	1,214	1,241	0.028	0,032	0.035	0.028	0.050	000,0	0,044	0,031	0,029	0,029	0,028	0,031	0,043	060'0	0,076	0,047	0,037	0,029	0,035	0,056	0,045	0,035	0,032	0,152	0,129	0,042	0,039	0,026	0,030	0,876	0,414	0,028	0,029	0.00	0,030	0.031	0,031	660'0	680'0
174.25	,	20.44	30,1		> 1410,00		22,92	:	74,42		101,23		248.24		32 94	, ,	96 34	+c,00	0.40	344,32	20	00,15	02.3	6,70	440 00	40,09	04 64		245.04	0,01	82 04	16,30	46.47	10,11	~1410.00	00,01	000	18,29		468,10	: !	47,43	00 07 07	1240,99
180,54	167,96	41,91	34,31	>1410,00	>1410,00	25.89	19,95	75.40	73.43	124 02	124,02	78,44	252,85	243,63	37,01	28,86	72,57	100,10	337,89	347,94	38,00	24,99	7,30	60'9	141,30	156,48	103,5	59,52	280,5	209,52	96'62	85,85	47,42	45,52	>1410,00	>1410,00	19,95	16,63	463.87	472,32	48.39	46,46	1226,00	1255,97
0,190	0,180	0,074	0,067	1,270	1,280	0.048	0,043	0.110	0.108	0.145	0,140	0,107	0,260	0,251	0,065	0,053	0,103	0,127	0,334	0,343	0,067	0,048	0,035	0,034	0,159	0,172	0,145	660'0	0,246	0,181	0,121	0,127	0,075	0,073	0,985	1,069	0,043	0,041	0.443	0,448	0.076	0,074	0,811	0,827
*		,	\$		>		>		>		>		Ε		**	:		\$:	>	1	>	ŝ	E	£	E	8	=	*	\$	Ε	=	Ε	=	W	\$		Ε		>		Ε	:	*
1 Monat		A lober	4 Jame		3 Jahre		3 Monate		2 Jahre		3 Jahre		2 Jahre		2 Monato	7	open op 3	o Molate	*** 1-1 5	o Jame	4-1 0	z Janre	7 Monato	/ Monate	2 Mechan	3 Wochen	02401 9	o Jame	2 Wochon	S WOCHER	4 Jahra	+ Salle	9 Jahra	9 9	1.5 Jahra	, call c		2 Wochen		1 Jahr		2 Janre	4-1-7	triscn
53		32	6	:	29		99		25		26		62	,	52	4	22	e e	ì	ħ	73	, 1	9	8	12	76	20	0	79	5	69	60	55	3	55	3	Š	52		65	:	96	ì	
53		20	2	;	62		26	_	24		29		64		53		23	e e	5	S.C.	ú	e C	9	ê	2		32		79	5	7.3	?	64	5	56			25	L	99	:	80	ì	
02/46		14/20	77	-	02/37		10/43		02/46		10/40		09/35		87/70	}	97/45	24/70	77,00	4/70	77,00	9/44	10,50	2/00	07/00		04725	01/23	04797	2	10/27	770	78/90	2000	08/45	2		08/49	Ļ	10/36	┢	11/44	0.10	07/31
65		- 2	5		>120		34		40		29		29		36	3		ે	į	8	9	8	;	ર	7	0714	03	90	ď	3	89	8	49	ř	84	5	-	33,2	L	42	1	47,73	ŝ	20,1
Ŧ		7			Э.		ν, Ξ		o; o;		S. FI		9		-			<i>:</i> 6	,	<u>;</u>				5	=	i.	٥		>		1		1		Δ.			ອ	L	М. А.				<u>.</u>
1241		2054	C67		2983		3008		3105		3216		3306		2363	3	22.70	200	2400	5	2442	2 \$	2450	94 00 00 00 00 00 00 00 00 00 00 00 00 00	2776	\$	6636	2000	3630	555	3818	9	3832	7000	4076	2		4238	L	4367		4554	17.0	4/18
174		176	2	!	176		177		178		179		180	!	707	2	707	701	607	<u>2</u>	707	104	105	60	106	8	197	101	100	8	180	60	190	26	191	2	00,	192		193		194	107	195

25,46		*		77.70	t t, t,		57,41		95,11	71.00	36,74	30 00	77,00	33.00	20,00	21 80	20,-14	*		25.44	44,62	3 38	20,0	23 30	20,00	4 92	76,4	8 22		17.60	20,11	3.46	ot 'ô	14.00	90,4	40.00	50,01	10.13	10,13	4.94		13.28	,
24,69	2 64	2,61	<1,00	33,39	35,49	62.89	51,92	16,63	60'9	42,08	35,39	24,54	19,58	33,00	33,00	24,33	19,44	<1,00	1,41	23,61	27,26	5,35	1,41	27,01	19,58	2,70	4,14	10,74	5,70	18,48	16,71	3,15	3,77	11,45	16,71	11,25	8,93	11,63	8,63	6,79	3,09	14,93	11,63
0,046	0000	0,038	0,030	0,078	0,082	0.074	790,0	0,041	0,034	0,064	0,059	0,048	0,044	0,053	0,053	0,063	0,057	0,028	0,036	0,062	0,068	0,041	0,036	0,052	0,044	0,040	0,037	0,035	0,031	0,040	0,039	0,040	0,042	0,036	0,039	0,040	0,038	0,038	0,036	0,032	0,028	0,040	0,038
182,26		43,38		0E 130	6,400		581,23	,	۲۷,00 ا	2000	636,14	00	67,23	10.70	2,61	1410 00	20,0	43 EE	66,64	7 06	, , ,	912.50	201-1	20.03	50,03	339 06	333,00	155 15	20,12	4 88	7,00	40.46	40,40	3.63	20,0	1 83	<u>5</u>	*		539.51		2.30	,
179,8 184,72	EA 0.4	54,94	31,82	391,63	337,95	595.82	566,64	<1,00	<1,00	454,88	861,39	26,50	18,08	18,72	2,67	>1410,00	>1410,00	81,75	5,35	8,26	1,66	1022,22	802,77	16,54	23,52	349,06	329,05	284,42	25,87	2,82	6,94	43,16	37,76	1,55	6,70	2,04	1,62	<1,00	7,30	836,12	242,90	3,21	1,38
0,184	0000	0,082	0,062	0,479	0,424	0.373	0,359	0,024	0,025	0,333	0,542	0,051	0,043	0,040	0,029	1,509	1,391	860'0	0,041	0,044	0,030	0,693	0,601	0,042	0,047	0,374	0,353	0,242	0,046	0,029	0,033	0,120	0,110	0,027	0,032	0,029	0,028	0,026	0,035	0,613	0,209	0,031	0,028
1100,56		233,50		27 700	o t .		>1410,00		27,35	4440	>1410,00	00 02	00,07	82 81	25,50	1410 00	12,0	60.62	90,02	255 20	23,23	>1410.00	20,0	205 85	203,03	~ 1410 00	7 1410,00	> 1410 00	20,01	14.04	,	1119.08	90,6111	18 48	0,40	777	- 2, t	24.64	10,42	*		77.77	,
1109,81	250 72	728,72	208,27	1071,59	891,33	>1410.00	>1410,00	27,64	27,05	>1410,00	>1410,00	72,26	80,93	82,81	82,81	>1410,00	>1410,00	79,88	81,75	254,84	255,74	>1410,00	>1410,00	193,59	218,1	>1410,00	>1410,00	699,42	314,95	14,92	13,15	1201,00	1037,16	18,48	18,48	122,66	105,35	25,12	24,10	>1410,00	1187,62	87,32	68,21
0,731	1000	0,224	0,180	0,913	0,827	1.192	1,096	0,051	0,050	1,297	0,930	0,113	0,122	0,085	0,085	1,574	1,553	260'0	960'0	0,265	0,266	1,173	1,023	0,238	0,264	1,052	966'0	0,537	0,268	0,038	0,037	1,055	0,971	0,040	0,040	0,171	0,154	0,047	0,046	0,935	0,771	0,116	0,099
w		Ε		***	\$		*		>	1	E	1	E	W.	•	£	=	8	=	*	*	W	:	W	\$	W	\$	W	•	W	•	2	2	8	=	Ε	≣	, m	*	М	:	ш	
13 Jahre		6 Monate		40 14	o monate		3 Jahre		z wocnen	1-1-0	9 Janre	4-1-7	LUSCII	1 Jahr		12 lahra	2000	12 lahra	2 James	1 Monat	Molat	5. Jahre	2	frisch	100	1.5 Jahra	1,5 5411 6	3 Monate	o more	frisch	100	frisch	1961	fricoh	500	fricah	110011	fricoh	IIISCII	frisch		frisch	
22		28		5	3		72	į	çç	ç	3	Š	<u>_</u>	52	7	72	3	22	S	73	5	58	3	69	70	69	70	63	3	47	F	02	2	76	?	αĽ	3	23	cc	64		48	
02		29			5		75		çç	ş	20		.	53	3	23	5	23		73		63	3	63		63	3	63	3	47		۷۷		77	?	ă			cc	64		48	
11/32	Ļ	12/43		27,70	74.0		04/28	01110	04/48	2	01/34	01110	76/60	02/51	0.70	76/30		76/30		04/40	04/40	01/41		04/42	24/10	08/41		07/41		05/55		12/32		06/67	600	12/1/4		07/0	03/43	10/38		09/54	_
48,8		82			3		4	ŝ	33		3	9	6,0 0	71.8	2.	130	2	06 30	92,56	130	7150	84.81	2,	20.6	2,0	155.8	2,2	100	2	707	10,1	104 54	5,	77 07	,	733	, ,	24 57	76,40	102	!	37.48	`
 R.	L	ж П			Ė		¥.		ý ď	2			<u>:</u>	2 2		•		2	Ė	^	: •	М		×	<u>:</u>	1		Τ.		=		1		٥٥		ď		9		W. M.		B.	
4761		4822		1007	200		4879	300,	4883	7007	2694	77.07	0.C	5313	3	5303	S	2700	5	5400	60+0	5430		5707		5735	20	5758	8	8977	2	4482	404	7575	2	15.17	ř	4570	4370	4596		4649	
196		197		400	96		199	300	700	200	707	coc	707	203	227	700	107	306	607	900	200	202		208	200	500	607	210	213	211		212	717	24.9	2 7	21.4	t - 7	216	612	216	1	217	

45,34		16,61		30,38		35,42		94.46	4,10		16,39		20.97	-0,0-	4.0	, ,	L L	86,62		28,82		32,92	,	26.59	20,01	12.63	5,43	27.04	£0,12	22 66	66,66	36 96	20,30	76.0	3,24	2.05	67,43		1,26		00'6		21,22		28,36
54,89 35,79	15.86	17,35	10.00	30,05	1,00	32,76	38,08	24,69	23,63	13.77		19,00	20,18	21,76	5,04	5,82	27,51	23.64	30.13	27.51	16,12	37,32	27,92	29,19	23,99	16,63	8,63	25,35	28,72	32,01	35,08	29,58	24,33	10,09	8,38	3,09	1,40	1.17	1,34	14.20	3,69	21.22	21.22	28.36	28,36
0,069	0.042	0.043	0.00	0,052	0,00	0,059	0,065	0,046	0,045	0.042	1 0 0	0,046	0,041	0,042	960'0	0,037	0,048	0.043	0.050	7700	0,0	1,00,0	0,052	0,047	0,041	0,041	0,036	0,045	0,051	0,052	0,055	0,055	0,048	0,044	0,042	0,028	0,025	0.031	0,032	0.045	0,045	0.044	0.044	0.046	0,046
22,33		4,14		81,91		369,60		02.0	7,17	į	2,52		3.65	20,0	2 2 2	16,3	90	33,49	!	7,47		2,77		798.99	20,000	96 3	9,5	1 61	ţ,	70.06	0,40	20.0	70,7	1 03	Se	33 03	60,00		*		4,00	1	18,76	:	8,43
16,30 28,36	4 88	3,39	1000	78,98	64,60	364,90	374,30	2,40	3,04	2.52	i d	7,52	3,65	3,65	2,59	2,14	32,77	34.2	8.17	6.76	0,70	7,1,7	2,77	1043,62	554,36	7,30	3,21	2,13	6,94	28,35	8,17	1,83	2,30	2,42	1,44	117,45	3,85	<1.00	1,02	5	41,00	23.8	13,72	8.43	8,43
0,036	0.033	0,031	, 0	0,104	601,0	0,340	0,349	0,028	0,029	0.030	0000	0,030	0,030	0,030	0,032	0,031	0,056	0.058	0.034	0.033	550,0	0,030	0,030	0,542	0,353	0,035	0,031	0,028	0,033	0,048	0,034	0,027	0,028	0,032	0,029	0,122	0,029	0.028	0,030	7600	0,027	0.046	0.039	0.031	0,031
33,83		111,14		>1265,65		1202,28		00 777	87,111		38,95		37.72	- i. i.o	45 77	2,0	00 700	301,22		48,20		139,07		>1410.00	2012	175 17	÷ .	22.10	22,10	115.67	19,61	107 20	77,171	77 07	<u>†</u>	1770 00	V 1410,00	1	50,73		34,07		17,86		88,35
35,79 31,86	90 90	125,32	1001	>1205,05	V1200,000	1236,03	1168,52	123,51	99,05	39.57	0000	38,32	40,09	35,35	45,77	45,77	897,29	1025,14	50.34	16.05	10,03	710,84	61,3	>1410,00	>1410,00	169,41	181,52	29,28	14,92	113,48	117,86	131,49	122,94	15,95	13,92	26'69	52,87	55.35	46,11	35.55	32,59	24.88	10.84	89.38	87,32
0,054	0000	0,000		1,130	0,302	0,846	0,822	0,139	0,119	0.078	01010	0,0,0	690'0	0,062	0,082	0,082	0,664	0.704	0.067	, 064	0,00	0,133	0,075	0,870	1,088	0,185	0,195	0,052	0,038	660'0	0,101	0,135	0,129	0,050	0,048	0,084	0,078	0.139	0,125	020.0	0,070	0.047	0.037	0.088	0,087
n.b.		n.b.		>		>		1	E		>		Ε	•	į	=	:	>		>		>		>	:	**	\$,	\$	3	\$	2	<u>:</u>	*	\$;	>		*		>		Ε		Ε
frisch		frisch		frisch		frisch		41-9	ILISCII		frisch		frisch		decing	5	11-7	Iriscn		frisch		frisch		frisch		friech	200	fricoh		docias		fricah	5	friech	5	fricoh	LISCI	;	frisch		frisch	;	trisch		trisch
49		29		61		61		33	8	1	22		59	8	7	5	5	9		46		46		54	5	91	ř	63	70	,	2	53	S	αV	}	22	e e		49	L	52	i	7.5		62
49		29		61		61		,,	8		22		5	3	2	5	ş	8		46		46		54	;	91	f	63	70	۶	2	£	င်	αį	f		Ĉ		49	L	25	1	72		62
07/54		12/43		12/41		01/42		0.407	04/37		04/48		01/44		00/60	70/60	1000	02/35		08/21		06/57		09/49		00/57		7777	5	00/00	02/20	06/50	06/00	11/55	200	07/40	647.0		05/55	L	01/52	1	10/32		01/42
75,7		78,5	ļ	57,85		60,39		,	4 5		46		41.7		20.03	47,00	1	δ, 'ς		72,5		82,9		78.33)	39 65	6,5	40.47	÷	20 02	12,20	27 23	02,7	80 29	03,20	90 00	99,0		112	ļ	49,9	:	83,7		76,8
K. B.		ж. Ю.		S. FI		ī. Z			Ė i		S. A.		8	: :	2	: :		η ξ		Б		Η̈́		J.		1	i :	٥	<u> </u>	7		2	Ė	2		0	<u>:</u> o		ы́ Б	L	ე ე		≷		S. J.
4813		4821		4837		4838		7007	4880		4890		4919	2	7070	6	70.70	49/6		4987		5014		5029		5047	j	5005	2000	54.43	2	1207	2204	5384	999	6300	9866		5519	L	2002]	2630		5643
218		219		220		221		000	777		223		224		300	677	000	977		227		228		229		230	227	234	- 67	222	767	222	722	23.4	4 57	336	667		236		237		238		239

28 36	20,02	31.43	21,15	20.45	54,75	
26,78	29,94	32,80	30,06	24,99	15,91	Ak 1:75
0,064	0,071	0,051	0,048	0,048	0,041	
*		44.54	10,11	7.65	20,1	
2,82	< 1,00	41,36	47,72	7,65	7,65	Ak 1:150
0,033	0,027	690'0	0,064	0,035	0,035	
83 44		176.85	50,011	40.63	20,01	
108,58	58,30	197,57	156,13	45,56	35,7	Ak 1:29
0,175	0,117	0,144	0,121	0,076	0,064	
٤	=	/M	\$	W	•	
friech		friech	113611	frisch	113611	
63	3	24	5	45	}	
63	3	74	5	45	ì	
12/41	-	11/50	2	12/59	-	
63.7		76.2	7,0,1	64.4	t. 2	
M S	;	U	<u>:</u>	У	<u>;</u>	
2295	7100	5683	200	5736	8	
240		177	147	242	242	

Erklärungen: * = nicht ermittelbar

Nr. 1-31 = 0-20 Jahre (Bad Mergentheim) Nr. 32-78 = 21-30 Jahre (Bad Mergentheim) Nr. 79-123 = 31-40 Jahre (Bad Mergentheim) Nr. 124-169 = 41-50 Jahre (Bad Mergentheim) Nr. 170-210 = älter als 51 Jahre (Bad Mergentheim) Nr. 211-242 = älter als 45 Jahre (ADBW)

Ergebnisse Cytokin-Assay

ID-Nr. = Identitätsnummer, Manif.-Alter = Manifestationsalter, m = männlich, w = weiblich, n.b. = nicht bekannt, IL = Interleukin, TNF-α = Tumor Nekrose Faktor alpha IFN-γ = Interferon gamma, GM-CSF = Granulozyten-Makrophagen koloniestimulierender Faktor, G-CSF = Granulozyten koloniestimulierender Faktor, MCP-1 = Monocyte Chemoattractant Protein, MIP-1β = Makrophagen inflammatorisches Protein,

MIP-1β	33,97	103,56	68,28	102,13	50,55	62,32	72,41	55,33	34,77	129,12	69,02	113,15	123,15	104,45	97,92	59,29	86,57	71,21	76,58	146,6	55,38	105,48	152,86	64	61,28	115,66	100,72	64,08	80,83	73,7	37,72	38,7	95,7	43,04	76,77	58,49	35,13	59,43	102,32	129,78	38,21	53,89
MCP-1	155,37	189,07	156,91	107,52	166,14	60,45	117,89	202,81	126,03	116,43	109,11	88,88	231,19	91,65	89,1	88,05	124,69	190,87	220,6	93,14	195,71	150,42	193,23	125,12	124,5	125,07	153,69	101,11	63,03	74,04	76,27	145,42	140,62	128,74	193,36	335,68	107,92	83,2	183,97	274,95	206,61	171,85
G-CSF	6,65	69'6	39,34	*0.86	8,74	10,05	6,02	*1.21	8,5	*2.47	4,98	00R <	7,28	7,52	00R <	*3.20	*2.62	00R <	-	T	3,9		4,98	*0.04	00R <	16	*0.68	00R <	*1.70	00R <	00R <	4,17	4,04	Н	*0.86	7,65	00R <	-	5,37	4,71	13,02	00R <
GM-CSF	00R <	00R <	17,14	00R <	00R <	26,03	*0.17	00R <	7,65	00R <	00R <	00R <	3,02	00R <	7,31	*0.47	00R <	*1.02	00R <	00R <	00R <	*0.63	00R <	00R <	00R <	128,31	*1.10	00R <	*0.24	00R <	00R <	2,7	00R <	00R <	3,84	00R <	00R <	62,96	00R <	00R <	00R <	00R <
	00R <	4,46	54,61	00R <	*3.10	00R <	00R <	*1.71	4,84	12,57	13,65	00R <	00R <	00R <	*3.30	00R <	10,22	9,5	5,41	*1.29	00R <	206,57	262,43	00R <	*0.88	00R <	00R <	00R <	00R <	00R <	00R <	00R <	00R <	*3.49	00R <	*1.71	00R <	00R <				
TNF-α	00R <	1,12	*1.00	00R <	1,24	00R <	1,55	Н	*0.85	Н	00R <	*0.02	*0.44	*0.81	1,86	00R <	00R <	*0.24		-	1,08	Н	*1.00	00R <	00R <	2,48	2,06	00R <	\dashv	_	-	v	*0.11	00R <	*0.85	*0.52	00R <					
IL-17	00R <	00R <	9,94	00R <	00R <	00R <	*1.66	00R <	00R <	*1.09	00R <	00R <	*3.93	00R <	*1.26	00R <	00R <	00R <	*3.59	*0.28	*1.00	*2.22	4,78	00R <	00R <	*0.46	*2.09	00R <	00R <	00R <	00R <	00R <	*0.18	00R <	*0.18	*1.79	00R <	00R <	*0.18	*2.44	00R <	00R <
IL-13	4,62	2,07	4,89	*0.32	2,43	2	1,26	*0.81	2,5	1,49	00R <	*0.65	1,41	2,57	*0.49	*0.32	*0.73	*0.65	1,56	1,26	4,49	2,14	8,82	*0.32	1,56	3,81	5,81	1,41	*0.81	00R <	00R <	3,54	*0.81	00R <	*0.32	96'0	*0.23	*0.49	2,14	2,07	*0.14	00R <
IL-12	2,01	00R <	2,88	00R <	00R <	00R <	00R <	00R <	00R <	00R <	00R <	00R <	00R <	00R <	00R <	00R <	00R <	00R <	00R <	00R <	*0.34	00R <	00R <	00R <	00R <	2,42	00R <															
IL-10	4,77	4,54	9,65	4,48	3,1	3,79	3,56	1,97	3,56	6,82	2,64	1,89	1,24	12,18	3,79	2,29	1,62	2,76	4,22	2,18	6,45	2,35	6,79	2,29	2,76	7,84	2,93	2,06	3,91	2,29	2,38	7,84	2,29	2,12	7,95	2,93	*0.29	18,24	3,16	57,86	5,22	2,12
IL-8	3,45	6,7	9,57	5,72	5,03	4,84	6,26	11,53	6,02	5,74	9,4	6,91	7,77	10,19	5,55	9,05	10,72	11,07	8,8	8,64	11,89	16,84	22,43	11,88	11,13	10,38	11,07	5,58	16,03	4,85	5,33	5,11	2,79	6,74	6,59	12,81	3,96	7,63	10,3	11,51	10,03	5,13
IL-7	6,48	16,47	15,42	7,4	7,18	10,78	10,78	11,78	13,89	6,89	14,74	13,15	11,52	13,74	11,98	10,02	5,27	10,73	6,5	9,11	8,23	13,62	15,8	5,19	10,15	7,71	10,52	6,81	15,86	7	10,19	24,17	6,31	13,99	6,24	11,29	4,33	12,94	9,96	7,74	4,71	12,86
IL-6	22,06	114,3	117,2	19,78	46,07	138,84	13,31	51,29	29,07	16,56	17,02	22,97	33,74	87,15	63,79	29,73	32,41	31,52	47,37	11,66	27,49	40,81	28,16	33,3	53,02	406,85	22,06	52,59	31,52	38,17	19,32	35,52	43,66	34,41	42,57	23,65	15,64	187,84	17,49	25,01	32,41	27,49
IL-5	*0.61	1,31	*0.64	*0.96	2,32	*0.32	*0.28	*0.69	*0.77	*0.32	*0.45	*0.13	*0.24	*0.74	1,27	*0.30	1,13	*0.42	1,09	*0.47	2,13	*0.49	*0.77	*0.56	*0.31	1,47	*0.61	*0.47	*0.28	*0.37	*0.06	1,09				*0.34	*0.28	*0.77	1,09	1,8	*0.50	*0.15
IL-4	00R <	*0.17	8,69	00R <	00R <	00R <	00R <	00R <	00R <	00R <	00R <	00R <	00R <	00R <	00R <	00R <	00R <	00R <	00R <	1,74	*0.17	00R <	00R <	00R <	00R <	00R <	00R <	00R <	00R <	00R <	00R <	00R <	00R <	00R <	00R <	00R <						
IL-2	5,45	16,25	59,2	00R <	9,74	37,98	00R <	00R <	7,22	00R <	00R <	*1.23	*3.39	13,98	*3.30	*2.79	00R <	7,85	00R <	5,28	00R <	00R <	*1.41	00R <	00R <	100,23	5,37	*0.30	00R <	*1.14	00R <	*3.13	*1.76	*2.62	5,93	00R <	00R <	14,2	00R <	00R <	15,8	00R <
IL-1β	*0.13	2,68	5,1	*0.15	1,09	*1.04	*0.16	00R <	*0.41	99 [.] 0*	*0.01	*0.59	*0.48	*0.25	1,2	*0.61	*0.41	*0.78	*0.57	*0.20	*0.38	*0.62	1,09	*0.34	> 800	15,19	5,29	*0.15	1,16	1,42	00R <	*0.41	*0.15	*0.30	00R <	*0.10	> 800	4,19	*0.43	1,52	*0.13	00R <
Ge- schlec ht	W	W	Μ	m	Μ	W	ш	m	W	W	W	W	Μ	ш	ш	Μ	ш	Μ	Μ	*	Μ	W	Μ	ш	W	W	W	ш	٤	ш	Е	Μ	ш	Μ	Μ	n.b.	ш	Μ	W	W	W	×
Manif Alter	17	15	17	17	9	8	16	17	17	11	17	12	12	12	16	17	15	12	16	16	18	19	11	18	20	15	20	19	12	18	20	22	23	56	22	27	21	56	22	30	21	22
Alter bei Probenen t-nahme	17	15	17	17	9	8	16	17	17	12	17	12	21	12	21	17	15	12	17	16	18	19	17	18	20	15	20	19	12	19	20	27	23	56	22	27	21	56	23	30	27	22
ID - Nr.	53	62	134	283	406	862	1176	3127	3130	3295	3417	3447	3522	3528	3554	3691	3718	3731	3951	4015	4074	4078	4087	4158	4335	5023	9909	5173	5394	5407	5754	09	135	408	545	633	098	946	929	1022	1363	2954
Versuchsc ode	1	2	3	4	2	9	7	8	6	10	11	12	13	14	15	16	17	18	19	20	21	22	23	24	25	26	27	28	29	30	31	32	33	34	35	36	37	38	39	40	41	42

63,59	144,07	60,53	97,43	122,56	86,56	60,83	100,44	64,18	134,85	68,94	91,6	74,12	56,09	76,19	116,39	66,24	169,44	103,61	128,58	75,91	38,46	59,52	70,46	86,33	377,06	52,31	114,31	153,34	73,76	74,11	96,81	17,78	63,18	87,62	65,03	100,59	77,95	59,24	187,77	109,52	85,6	70,29	42,19	52,72	37,88	78,88	68,44	195,15	90,04
311,01	140,06	192,97	90'98	89,72	180,4	58,83	128,6	110,89	145,7	146,76	85,27	100,4	61,03	113,4	176,91	9/	35,67	117,06	76,44	46,76	89'09	53,54	79,62	189,93	984,56	83,41	47,13	152,01	62,8	126,22	220,73	70,73	95,2	100,45	373,62	222,84	215,49	365,73	195,41	99,08	163,06	119,3	44,21	60,45	118,47	166,67	105,23	469,66	209,64
53,76	ç9',	*0.49	*1.04	*3.34	00R <	00R <	*1.21	00R <	16,64	*3.48	2,76	8,5	00R <	*2.17	7,52	*0.04	00R <	00R <	00R <	00R <	00R <	00R <	7,28	*1.54	1180,56	00R <	00R <	8,02	00R <	00R <	8,38	00R <	00R <	4,98	18,35	6,78	5,5	6,53	13,14	7,77	3,9	4,17	9,22	*1.54	*2.47	7,77	*0.04	52,97	5,24
218,8	3,92	4,49	00R <	00R <	00R <	00R <	00R <	00R <	6,31	00R <	00R <	00R <	00R <	00R <	2,21	00R <	00R <	00R <	00R <	00R <	00R <	00R <	8,99	00R <	5723,84	00R <	00R <	00R <	00R <	00R <	00R <	00R <	00R <	00R <	2,86	00R <	00R <	00R <	00R <	36,59	00R <	00R <	4,25	00R <	6,7	7,65	00R <	52,38	00R <
84,29	5,98	00R <	*2.90	00R <	00R <	00R <	00R <	00R <	23,98	*2.11	5,22	*2.11	00R <	*1.29	*2.51	00R <	4,27	*0.22	00R <	00R <	00R <	00R <	*1.29	*2.11	5586,25	00R <	00R <	00R <	00R <	00R <	12,57	00R <	5,22	4,46	12,57	11,49	*0.88	00R <	16,31	102,5	*1.71	00R <	4,84	00R <	00R <	6,91	00R <	86,04	00R <
12,74	10.77	*0.48	00R <	*0.36	00R <	00R <	*0.11	00R <	1,94	*0.44	*0.69	00R <	00R <	00R <	*0.60	*0.32	*0.89	*0.56	00R <	00R <	00R <	00R <	2,02	00R <	814,07	00R <	00R <	00R <	00R <	00R <	*0.81	00R <	00R <	*0.44	2,55	1,08	*0.28	00R <	1,71	8,59	00R <	00R <	1,4	*0.69	00R <	1,75	*0.28	5,11	*0.69
00R <	3.59	00R <	*0.82	00R <	00R <	00R <	00R <	00R <	*2.48	00R <	00R <	00R <	00R <	00R <	> 800	00R <	*3.42	> NOO	00R <	00R <	> NOO	00R <	00R <	00R <	681,89	00R <	00R <	00R <	00R <	00R <	00R <	00R <	00R <	*1.26	*1.18	*3.55	*2.00	00R <	7,29	*0.64	00R <	00R <	00R <	> NOO	00R <	*2.74	00R <	7,54	00R <
2,14	1,78	*0.81	*0.14	1,04	00R <	1,26	2,64	00R <	68'6	1,26	5,94	*0.81	11,31	00R <	1,26	2	96'0	*0.88	*0.73	00R <	*0.81	1,71	2,57	1,19	551,4	*0.65	*0.81	*0.65	00R <	*0.65	1,56	00R <	4,89	1,49	4,89	1,49	*0.88	2,29	1,56	1,26	*0.81	1,04	10,26	*0.81	*0.32	1,64	*0.81	3,88	3,13
00R <	> NON - NO	00R <	00R <	00R <	00R <	00R <	00R <	00R <	22,66	00R <	00R <	00R <	3,6	00R <	> NOO	00R <	> 800	> NOO	00R <	00R <	> NOO	00R <	00R <	00R <	1154,88	00R <	00R <	00R <	00R <	00R <	00R <	00R <	00R <	00R <	*0.34	*1.06	00R <	00R <	2,51	> 800	> NOO	> NO0	00R <	2,18	00R <				
11,67	4,19	3,28	2,87	2,24	1,65	1,57	2,06	1,83	362,33	7,44	2,53	2,26	1,13	1,24	3,1	1,77	4,54	3,62	3,62	00R <	*0.77	*0.71	00R <	2,7	172,01	3,19	1,42	2,12	1,51	1,48	2,18	00R <	3,45	3,19	36,53	5,17	1,01	*0.77	2,93	2,26	4,82	2,41	6,65	1,13	2,21	4,74	*0.11	12,35	2,99
10,2	6,32	8,36	7,32	5,4	5,93	8,37	10,54	8,78	12,28	7,04	68'6	6,5	6,03	8,68	9'9	7,14	8,19	9'9	12,66	7,84	7,73	2,79	7,76	11,72	461,06	6,38	4,67	10,29	6,88	6,65	11,6	3,1	7,29	7,79	21,2	11,5	8,52	13,5	9,48	7,25	7,92	7,85	9,92	14,23	8,95	2,96	5,35	17,02	7,25
13,75	9,95	5,56	10,88	4,2	9,08	12,92	19,65	9,26	19,58	8,94	11,12	2,67	5,88	8,36	6,68	8,94	13,06	10,79	8,65	6,98	3,74	96,36	8,47	9,2	130,78	14,04	6,67	10,59	8,92	7,62	10,91	4,14	11,85	5,04	30,52	10,45	17,63	5,33	13,95	9,65	18,47	9,49	7,4	8,46	16,84	3,34	8,52	13,31	4,69
719,88	39,49	81,66	33,08	27,04	24,33	9,53	14,47	11,43	86,73	26,14	36,84	69'96	10,48	27,26	75,31	12,84	29,73	13,54	17,72	12,37	13,07	33,74	71,27	41,69	00R >	10,48	*1.62	52,16	4,67	17,95	23,43	4,18	17,49	8,81	237,11	31,52	17,25	32,41	80,39	255,78	27,49	26,14	34,41	62'99	20'99	22,97	18,87	98,48	42,57
1,2	2,18	*0.37	*0.17	*0.34	00R <	*0.42	*0.20	*0.15	2,25	*0.34	*0.34	*0.28	*0.77	*0.26	*0.58	*0.34	69'0*	*0.19	*0.28	*0.45	*0.62	*0.39	*0.69	1,12	<u> </u>		*0.30								*0.88	*0.85	1,04	*0.84	*0.47	*0.23	*0.34	*0.42	1,89	*0.82	*0.23	*0.65	*0.13	1,49	*0.64
5,38	> XOO	00R <	00R <	00R <			00R <				00R <	L	Ľ)	00R <						00R <	*0.07	00R <												00R <	00R <	00R <	00R <		00R <	00R <	00R <	> 800	> NOO	*0.27	00R <	2,18	00R <
185,63	8,64	*1.05	00R <	00R <						*0.68	*3.13	00R <	00R <	00R <	4,79	00R <	00R <	00R <	00R <	00R <	5,61	00R <	*1.23	4,14	1347,74	00R <	00R <	00R <	00R <	00R <	00R <	00R <	00R <	00R <	12,37	*1.23	*2.79	10,05	*1.76	38,06	00R <	00R <	4,14	20,81	13,29	00R <	00R <	23,17	*0.68
35,04	76.0.	00R <	*0.04	*0.36	00R <	00R <	00R <	00R <	1,51	*0.34	*0.99	*0.52	00R <	*0.13	*0.45	00R <	*0.48	*0.13	*0.20	00R <	*0.08	*0.34	1,98	*0.90	487,35	00R <	*0.04	*0.38	00R <	00R <	*0.34	00R <	00R <	1,59	1,31	*0.66	*0.08	*0.41	*0.74	7,92	*0.15	00R <	*0.99	00R <	00R <	1,7	00R <	6,13	*0.31
М	≽	*	ш	≯	٤	٤	٤	Е	Μ	*	٤	Μ	۸	W	Μ	Μ	ш	Е	٤	Μ	Μ	>	*	*	×	٤	W	*	٤	M	Μ	W	٤	*	٤	٤	٤	×	٤	٤	٤	٤	M	Μ	Μ	ш	Μ	*	≯
30	97	22	25	27	21	29	22	22	24	24	28	30	22	56	21	27	30	56	22	30	59	25	30	21	21	22	27	25	27	29	29	30	22	23	25	34	36	39	37	32	34	39	36	37	32	36	32	33	36
30	30	22	25	27	21	29	22	22	24	49	28	30	23	56	22	27	33	56	22	30	59	25	30	21	22	22	28	25	27	30	49	30	22	23	25	34	41	39	46	32	34	40	36	37	32	41	37	33	36
3083	308/	3168	3305	3353	3422	3486	3535	3536	3636	3649	3681	3870	3908	3911	4123	4170	4205	4212	4242	4244	4511	4634	4635	4814	4876	5103	5146	5156	5319	5340	5421	5453	5564	2995	2699	9/	411	468	2934	3005	3053	3064	3292	3293	3470	3478	3589	3593	3658
43	44	45	46	47	48	49	20	51	52	53	54	55	56	22	28	29	09	61	62	63	64	65	99	29	89	69	20	71	72	73	74	75	92	77	78	79	80	81	82	83	84	82	98	87	88	89	06	91	92

59,36	159,49	72,99	89,17	129,12	56,24	52,69	68,7	39,37	71,2	87,43	93,83	124,96	98	54,66	127,03	53,47	104,01	65,12	71,69	71,46	66'06	63,93	41,35	118	42,1	51,24	65,63	38,86	44,63	51,95	145,43	50,31	79,87	76,41	68,15	49,9	83,67	64,43	71,53	118,5	19,21	90,91	97.7	38.32	36,59	47,01	93,69	53,59
131,35	182,67	146,8			388,22	200,18	92,53	88,99	192,85	99,74	171,81	443,47		194,94	Н	H	92,29	28,07	192,2	114,43	90,82	117,4	133,7	115,06	89,93	134,55	85	147,72	175,42	\dashv	115,6	202,98	211,98	212,57	230,04	136,05	178,57	161,14	184,79	131,63	135,07	130.35	164 18	129,36	66,71	120,75	167,47	85,74
4,44	10,4	*3.05	7,77	12,46	15,78	10,86	*3.62	5,76	*0.86	5,5	7,52	9,46	*1.54	00R <	4,98	*3.05	5,5	00R <	69'6	3,9	4,98	8,78	*1.54	14,25	Н		-	00R <	8,02	00R <	4,44	*2.17	00R <	00R <	*0.68	_	\dashv	00R <	00R <	78,37	3,9	*1.54	*0.49	8.74	*1.86	*0.68	3,9	*1.54
00R <	1,57	00R <	9,49	00R <	72,88	2,54	39,31	00R <	00R <	21,62	2,86	*0.94		-	Н	-	00R <	00R <	20,02	00R <	22,31	00R <	00R <	00R <	00R <	00R <	00R <	00R <	00R <	00R <	00R <	00R <	00R <	00R <	*0.02	00R <	00R <	00R <	00R <	24,04	> NOR >	00R <	OOR	00R <	00R <	00R <	00R <	00R <
00R <	8,02	*1.50		_	14,36		175,86	00R <	*2.31	55,59	*1.29	4,07		00R <	ш	00R <			28,95	*2.11	17,54							_		_				00R <				4	00R <	33,7	20 20 07 20 20 07	*0.66	OOR V	╀		ш		
	*0.65	*0.19	*0.36	*0.44	1,48		_	00R <	_* 0.60	2,63	2,32	*0.73	00R <	*0.28	1,16	.,		*0.28	*0.44	*0.44	1,08	00R <	*0.93	,,			_	-	_	-	_		-	v	_	-	_	+	v	5,92	\dagger	*0.52	╁	+		V		00R <
00R <	*0.37	*0.18	00R <	00R <	00R <	00R <	00R <	00R <	00R <	*1.48	00R <	*2.57	*1.35	00R <	00R <		*0.18	00R <	00R <	00R <	00R <	00R <	*0.28	ш	-		-	.,	-		_	-	_	00R <	_	00R <	_	-	OOR <	20,63	NON 4	0000	OOR	OOR <	+	-	*1.31	00R <
1,56	96'0	*0.40	00R <	*0.65	96'0	*0.32	1,85	*0.73	4,22	1,26	2,85	1,56	5,94	2,71	3,13	*0.49	1,26	1,85	*0.14	1,04	4,75	1,41	2,99	*0.65	6,4	00R <	00R <	5,15	7,23	2,57	*0.32	6,46	00R <	*0.88	00R <	3,54	*0.65	*0.32	*0.65	2,68	0.49	*0.65	OOR	00R <	*0.65	*0.49	*0.14	00R <
00R <	00R <	00R <	00R <	00R <	59,52	00R <	*0.38	00R <	00R <	00R <	*0.31	00R <	00R <	00R <	*0.27	00R <	00R <	00R <	00R <	00R <	00R <	00R <	00R <	00R <	00R <	00R <	00R <	00R <	*1.02	00R <	00R <	00R <	00R <	00R <	00R <	00R <	00R <	00R <	OOR <	*0.24	100K A	00B /	OOR	00R <	00R <	00R <	00R <	00R <
3,04	5,39	1,33	1,16	2,24	3,16	*0.29	1,13	6,3	4,77	2,18	9,08	4,19	5,34	00R <	4,77	*0.44	1,3	1,6	00R <	1,83	2,18	2,29	*0.77	2,53	2,9	1,19	00R <	3,1	3,94	*0.53	2,29	9,31	3,16	1,27	*0.71	3,74	*0.83	*0.26	*0.65	4,77	1,07	2,67	3.51	2,29	1,77	00R <	2,87	*0.41
14,32	7,66	11,15	7,97	6,61	18,9	8,27	10,56	5,08	18,47	8,67	11,51	14,29	12,79	12,06	13,05	89'8	8,67	20,29	13,67	9,64	10,54	99'6	88'9	16,07	10,77	7,2	7,24	8,78	7,67	7,3	9	2,6	7,3	6,97	8,27	12,13	8,35	7,37	6,95	13,25	68,11	9.47	12.08	12.97	6,75	8,39	6,53	7,39
17,37	15,93	4,96	16,57	6,12	12,28	28,25	11,54	11,62	15,98	8,17	15,74	9,05	13,95	12,28	16,94	12,35	14,96	8,54	8,28	13,43	11,93	4,78	5,55	5,81	6,93	3,89	10,48	7,36	8,02	11,3	8,11	9,92	8,17	11,56	7,63	14,86	8,15	6,11	4,04	11,39	15,11	3 92	4 12	16.79	7,21	4,18	2'6	4,7
46,94	43,88	28,39	36,62	25,69	156,63	96,39	127,12	7,61	28,39	284,63	35,96	30,18	80'59	9,53	58,21	67'6	32,96	23,43	161,51	24,78	82,51	29,73	33,74	94,08	22,06	46,94	35,52	24,11	26,59	32,19	23,88	479,3	22,97	26,59	31,52	18,41	22,52	16,1	14,24	56,48	172 40	58.64	102 24	35.96	31,74	11,43	28,83	24,56
		*0.45			2,34			*0.17	*0.93	*0.31	*0.96	*0.64		*0.31		*0.19	*0.11	*0.26	*0.31	*0.45	*0.65	1,09	*0.20					*			4,04							*0.32			1.20	Ľ.						*0.42
00R <										00R <	1,01									00R <																				1,97	000 800 800 800 800 800 800 800 800 800	_	_	_	_	00R <	_	_
00R <	00R <	00R <	13,59	00R <	213,72	*3.47	21,25	00R <	3,97	52,96	4,47	00R <	12,37	00R <	*1.58	00R <	00R <	00R <	40,19	*1.05	18,13	*2.45	*3.47	00R <	*1.14	00R <	00R <	00R <	*1.05	00R <	00R <	*0.68	00R <	00R <	8,72	00R <	00R <	00R <	OOR <	17,83	00K A	49,01	33.63	OOR <	OOR <	00R <	00R <	00R <
*0.08	*0.59	*0.22	1,11	*0.36	3,47	*0.08	3,53	*0.01	*0.24	4,48	2,26	*0.58	*0.69	00R <	*0.47	*0.14	1,3	*0.06	1,4	*0.47	1,35	*0.34	*0.42	1,88	1,23	00R <	00R <	00R <	00R <	00R <	1,09	OOR <	*0.16	00R <	00R <	00R <	*0.43	00R <	00R <	26,85	0.4	00R <	OOR	OOR <	*0.02	00R <	*0.23	OOR <
*	*	ш	٤	ш	Е	×	*	W	m	ш	ш	۸	ш	×	٤	Μ	W	ш	W	W	Μ	M	Α	Μ	٤	W	Μ	>	*	*	٤	٤	٤	٤	٤	×	>	٤	٤	€ 3	> 8	= >	: >	: >	: E	٤	Μ	Ε
40	34	39	37	33	32	33	37	37	33	31	37	34	32	34	37	34	36	39	33	32	32	38	31	37	39	40	39	33	33	35	47	47	43	42	41	46	46	45	47	42	47	44	49	42	47	41	20	42
40	44	39	37	36	32	34	38	37	33	31	41	36	33	34	49	34	36	33	33	33	32	38	38	54	39	44	39	33	33	39	47	47	45	42	42	46	48	20	54	4 5	74	44	. 6	42	48	46	25	42
3661	3755	3844	3866	3967	4075	4154	4209	4221	4222	4276	4285	4355	4508	4555	4580	4584	4934	4936	5118	5183	5254	5289	5304	5424	5513	5623	2679	5701	5713	5755	26	64	77	200	906	1085	1246	2952	2985	3071	3420	3578	3603	3724	3733	3781	3805	3883
93	94	92	96	6	86	66	100	101	102	103	104	105	106	107	108	109	110	111	112	113	114	115	116	117	118	119	120	121	122	123	124	125	126	127	128	129	130	131	132	133	134	136	137	138	139	140	141	142

107,55	104,75	96,73	59,2	32	131,72	2	50,64	46,18	68,05	69,57	107,05	92,36	90,95	68,97	90,17	81,97	71,53	66'08	83,42	62,58	123.48	95.93	59,43	84,1	98,3	46,14	66,47	67,62	80,25	33,58	92'9	102,8	74,09	36,32	41,81	43,92	99,74	90,83	68,39	76.40	130 77	71.31	59.83	144.55	127,8	66,23	99,3	38,39
Н	299,17	153,97	101,01	185,05	252,38	146,34	123,73	85,48	223,13	162,21	111,88	214,28	239,95	92,66	146,21	122,82	67,84	102,52	117,26	169,25	126.89	659.07	202,89	133,04	137,26	99,23	101,01	119,59	312,24	137,08	128,79	231,06	200,23	174,54	282,72	293,92	242,2	217,9	207,26	422 28	+	+	179.09	250,79	276,02	144,53	292,65	111,86
5,24	5,76	*3.62	00R <	7,52	12,35	*0.86	00R <	*2.01	6,02	*2.32	*2.47	00R <	00R <	00R <	00R <	00R <	00R <	*0.04	9,93	7,15	6.27	367.77	00R <	00R <	00R <	00R <	00R <	*2.62	00R <	00R <	*2.47	4,03	13,68	16,77	6,72	11,86	3,26	4,46	5,6	3,13	3,03	3.38	9.63	5,81	2,24	8,96	5,81	7,9
00R <	00R <	00R <	00R <	OOR <	21,88	00R <	00R <	1,49	00R <	00R <	00R <	00R <	00R <	00R <	00R <	48.93	00R <	1188.95	00R <	00R <	00R <	00R <	00R <	00R <	00R <	00R <	00R <	00R <	10,35	51,08	00R <	00R <	00R <	00R <	*1.76	× 400	202 205	OOR <	OOR <	4.53	*2.82	00R <	00R <	00R <				
11,49	00R <	*1.29	00R <	OOR <	1099,73	00R <	00R <	4,84	*2.90	*2.71	00R <	00R <	00R <	00R <	12,57	00R <	00R <	00R <	*0.88	*2.11	00R <	1000.51	00R <	00R <	00R <	00R <	00R <	00R <	00R <	00R <	00R <	00R <	00R <	6,72	00R <	*0.25	00R <	00R <	00R <	3.08	15 25 A	OOR <	OOR <	00R <	00R <	00R <	*1.33	00R <
1,55	*0.44	00R <	00R <	OOR <	29,6	00R <	00R <	00R <	*0.28	*0.28	00R <	00R <	00R <	*0.06	00R <	*0.52	*0.52	*0.02	1,4	*0.93	00R <	142.9	*0.11	00R <	00R <	00R <	00R <	00R <	00R <	00R <	00R <	00R <	*0.72	*0.65	1,62	*0.78	*0.65	1,49	*0.59	1,23	0.9 9.76	*0.33	*0.97	*0.88	*0.72	*0.91	1,94	*0.33
00R <	00R <	00R <	00R <	00R <	*3.12	00R <	00R <	00R <	00R <	*0.82	00R <	00R <	00R <	00R <	00R <	00R <	00R <	00R <	00R <	00R <	00R <	00R <	00R <	00R <	00R <	00R <	00R <	00R <	00R <	00R <	00R <	*2.19	4,28	*0.40	*2.12	*2.02	*1.79	*2.70	4,68	× × 0	× 77 C*	*1.18	*1.35	*1.45	3,94	*1.48	*3.20	00R <
16,69	00R <	20,45	00R <	00R <	12,23	*0.32	1,11	00R <	*0.88	3,27	*0.81	*0.40	*0.81	*0.49	1,11	2,85	00R <	00R <	7,11	*0.65	*0.23	314.27	1.26	*0.32	00R <	00R <	00R <	*0.65	*0.65	00R <	00R <	*0.78	4,32	2,95	*0.45	*0.78	*0.61	*0.61	1,25	1,14	2,00	*0.12	2.19	1.1	1,72	*0.61	2,11	1,25
00R <	00R <	9,87	00R <	00R <	8,92	00R <	00R <	00R <	00R <	> 800	00R <	00R <	00R <	00R <	5,84	00R <	> 800	00R <	*0.94	00R <	00R <	181.32	00R <	00R <	00R <	00R <	00R <	00R <	00R <	00R <	00R <	00R <	00R <	*0.15	00R <	00R <	00R <	00R <	00R <	0.42	V 400	OOR	00R <					
3,28	1,65	34,64	*0.53	*0.95	7,1	2,7	*0.38	00R <	2,12	2,64	1,83	00R <	*0.05	1,65	*0.14	3,79	*0.56	3,88	3,76	*0.35	*0.68	285.72	2.53	*0.83	1,45	1,36	00R <	00R <	1,94	1,07	3,74	6,07	2,66	49,41	*0.91	4,36	1,12	3,1	2,93	7,22	99,1	1.52	2.22	2.85	3,39	2	2,9	4,04
96'6	11,47	9,45	10,98	15,32	10,5	9,76	5,69	10,51	5,52	9,64	8,42	8'6	8,16	5,15	12,92	4,52	6,47	11,51	6'6	8,64	8.24	16.27	13,46	16,34	5,85	8,34	16,47	90'9	13,28	12,04	9,7	25,26	4,48	2	7,36	10,94	10,28	7,67	5,59	1,3/	3,35 12.05	4 17	5.71	8.4	7,89	3,69	13,21	9,22
17,06	13,99	15	21,34	7,2	14,23	2,06	3,6	3,95	9,41	19,05	17,51	3,84	6,2	10,38	4,33	7,81	9'8	6,05	7,11	11.42	7.74	66,45	8,35	9,28	6,71	11,32	6,22	3,39	8,78	7,81	13,48	17,37	5,76	12,38	9,2	11,53	11,41	12,3	9,6	1,62	15,02	6.13	12.57	23,85	11,15	8,96	5,21	5,57
83,35	45,85	29,51	13,77	34,41	24,33	10,48	25,69	32,19	49,77	36,4	21,15	17,95	13,31	12,13	129,59	12,84	20,24	16,1	38,17	184.21	50.85	1387.27	26,59	20,92	9,05	35,52	54,54	27,94	19,32	10,48	26,81	166,43	30,09	103,21	23,29	105,3	63,15	27,39	30,09	22,37	57.17	17.7	90.21	78.42	104,47	35,88	83,9	58,88
	_							*0.45	*0.31	*0.12	*0.64	1,04							*0.09												*0.47								*0.80	Ľ		Ĺ						Ш
00R <	00R <			_																																										00R <		
*1.76	OOR <	*0.49	00R <	OOR <	43,51	OOR <	00R <	-	-	-	_	_	_			_	_	_	_	_	_	_	_	_	_	_	_	_	_						_	_	_	_	_	_	_	_	-	-	00R <	00R <	00R <	OOR <
*0.41	*0.13	*0.31	00R <	*0.55	31,05	*0.06	00R <	*0.29	00R <	*0.22	*0.24	00R <	*0.06	00R <	*0.76	00R <	*0.29	00R <	2,07	3,68	*0.57	161.38	*0.06	00R <	00R <	00R <	00R <	*0.41	*0.22	00R <	*0.25	*0.63	*0.50	2,11	00R <	*0.37	*0.34	*0.39	*0.42	0.50	1.36	*0.26	*0.22	*0.52	*0.53	*0.43	*0.57	*0.36
М	>	»	>	>	٤	٤	^	E	m	Μ	٤	ш	W	W	Μ	Е	W	٨	٤	>	*	٤	*	*	٤	۸	W	*	٨	Μ	*	*	*	>	*	٤	>	>	> :	> 3	≥ 8	8	>	٤	٤	٤	٨	٤
20	42	42	49	41	41	46	47	20	47	41	49	47	48	41	47	44	41	20	42	43	44	42	49	49	43	20	99	22	09	99	53	75	29	26	52	62	26	52	55	24	0.04 0.04	52	64	20	69	55	22	52
50	42	42	49	42	41	22	47	20	54	44	49	22	22	42	48	44	41	22	43	4	44	42	20	49	43	20	22	22	61	71	53	26	62	26	54	64	29	52	55	60	8	25	64	92	73	64	26	52
3963	4002	4010	4079	4127	4288	4362	4447	4521	4582	4655	4808	4848	4878	4998	5054	5119	5188	5243	5249	5292	5392	5517	5537	5593	5724	5804	287	546	1171	1186	1241	2951	2983	3008	3105	3306	3216	3363	3378	3400	3413	3476	3639	3632	3818	3832	4076	4238
143	144	145	146	147	148	149	150	151	152	153	154	155	156	157	158	159	160	161	162	163	164	165	166	167	168	169	170	171	172	173	174	175	176	177	178	180	179	181	182	183	185 185	186	188	187	189	190	191	192

133,68	60'56	85,31	108,96	88,56	65,75	96,17	94,25	112,89	113,76	88,2	108,54	118,38	93	94,59	122,89	117,53	100,35	43,21	93,29	210,53	295,51	84,46	163,66	372,44	00R >	853,85	00R >	00R >	231,22	236.42	469.47	278,46	34,24	65,26	161,47	159,22	163,16	107,31	343,48	499 79	142.74	293,47	174,81	345,23	583,18	187,12
89'89	125,8	272,91	195,3	118,94	146,26	340,07	239,75	101,31	163,12	43,64	51,32	226,78	128,43	175,81	200,3	120,12	514,88	163,64	240,3	657,55	524,71	65,26	108,36	52,41	00R >	00R >	00R >	00R >	164,45	154 21	253.36	160,9	138,77	96,61	217,51	135,26	180,54	131,97	448,09	3071,39	250.89	274,77	231,65	1619,19	422,45	331,25
5,6	3,6	0,45	2	8,29	3,15	8	199,44	19,44	4,35	13,5	29,9	11,68	7,11	12,95	7,31	6,31	77,42	2,47	00R <	13,14	48,45	8,19	3,6	20,38	1198,45	47,63	2537,33	1070,47	21,71	201,90	13.94	11,4	4,24	33,16	1,88	8,86	3,81	00R <	16,16	1255,51 32.05	14.75	15,98	9,63	62,61	26,6	4,67
00R <	*0.02	00R <	00R <	*4.06	00R <	00R <	435,94	17,55	00R <	7,85	48,41	00R <	00R <	00R <	*2.44	00R <	175,56	00R <	00R <	00R <	108,55	00R <	*1.91	35,2	344,42	33,42	579,72	1236,21	24,47	453,47	9.78	6,42	00R <	67,26	*2.90	6,58	8,89	00R <	16,73	347,23	00R <	21,62	*2.98	52,81	45,05	00R <
00R <	00R <	00R <	*3.46	00R <	00R <	5,66	1073,39	16	> NOO	15,67	18,11	13,87	9,16	00R <	9,67	00R <	70,21	00R <	*0.25	37,7	79,02	00R <	9,33	79,44	582,8	113,19	730,1	769,92	58,99	7.07	42.51	9,16	*0.70	74,91	16,49	24,63	4,2	00R <	66,49	131 67	20.2	43,11	18,59	208,23	103,85	OOR <
*0.14	*0.72	00R <	*0.65	*0.27	*0.02	2,23	258,96	4,48	*0.65	*0.91	1,88	1,04	1,84	*0.85	1,49	*0.72	32,69	*0.24	*0.97	15,22	26,47	*0.02	2,75	13,38	255,46	27,89	532,1	402,8	5,22	1 65	24.46	3,37	1,36	25,08	3,6	3,92	6,89	*0.65	9,12	231,76	1.75	18,91	2,69	116,83	17,5	1,49
*2.23	*1.08	*0.67	00R <	4,14	Ĭ	*0.09	3,88	4,38	00R <	00R <	*3.64	*0.94	00R <	*2.87	*0.16	*0.16	5,42	*0.70	*1.18	17,04	17,81	00R <	*3.24	14,51	71,96	41,78	93,95	100,97	17,94	_	18.64	8,7	00R <	00R <	5,22	7,83	3,91	12,58	15,51	37,7	8.63	10,84	8,03	25,29	27,55	*3.67
*0.78	1,57		*0.12	1,49)	5,21	73,5	9,8	00R <	*0.03	*0.45	2,57									10,49	*0.61	2,42	4,84	25,82	13,81	31,26	34,23	-	*0.78	┸	5,06	Ц	35,82		_			4,24	14,87	2.11	3,11	10,57	10,78	Ш	1,49
00R <	00R <	00R <	00R <	*0.51	00R <	1,9	175,54	2,31	00R <	3,86	L	00R <	16,44	00R <	00R <		8,88	00R <	00R <	1,07	10,27	\dashv	12,02	+	2,41	+	2.34	*0.05	00R <	29,92	00R <	00R <	00R <	00R <	2,3	6,01	╄	*0.21	H	Н	3,22	00R <				
6,55	2,07	1,26	1,83	4,09	*0.61	5,24	177,17	8,77	2	26,59		7,31	00R <	4,39	5,94	1,59	25,52		5,89		16,09	1,57	2,95		Ш				_	3.47			Ľ	6,22			4	4	4	11,64	1	Ľ	Ľ	Ш		1,31
21,66	6,2	À		6,38	\dashv	13,87	10,37	9'9	1	14,56	10,57	22,24	15,41	7,55	7,75	13,22	10,51	5,14	21,54	00R >	00R >	14,04	9,26	00R >	H	00R >	00R>	00R	\$ 6 8 8 8 8	83 14 7 14	*1185.36	734,09	Н	8,76	699,18	00R	194,08	6,19	00 800 800 800 800 800 800 800 800 800	+	╁	00R >	00R >	00R >	00R >	12,34
7,93	68'6	23,32	10,33	16,82	4,88	10,96	_	13,75	15,04	10,82	14,9	15,81	10,59	7,9	6,16	12,6	Ì	_				5,52	2,95		Ù				2,76	┸	5.32	3,65	11,76	20,22	2,99	4,21	3,91		3,35	- [`		1,96	L	4 11,84	Н	4,96
25,12	7,32	68,68	30,54	46,39	29,19	95,67	2381	159,96	53,73	80,95	36,76	74,19	25,12	41,16	31,88	15,56	693,18	20,05	20,74	1268,94	3786,79	62,51	51,79	178,52	*24374.4	6321,47	*24795.32	*24132.8	287,79	68.47	149.13	90,63	24,2	89,79	63,58	119,52	65,28	66,13	638,17	3993 23	99.02	767,1	128,28	*23014.1	527,83	26,03
*0.75	*0.43				*0.50		-,	1,45	*0.66	2,17	*0.85	4,4	1,55	*0.66		*0.62	_			*0.85	1,3	*0.60	*0.68	1,11	Ш		2,79		CS:0.	┸	┸		Ш	3,07		_		_		1,51	Ĺ		Ш		Ш	*0.79
																									30,97															26,83		2.27	-		_	
00R <	Н				\neg			_	_	_	_			_	_	_	_	_	_	_	_	_	_		34,72	_	_	_	_	_	_	_	_		_	_	_	_	_	44,88 *7.41	_	17,28	00R <	-	ш	_
*0.60	*0.16	*0.16	*0.37	*0.28	*0.16	*0.86	111,21	1,7	*0.37	1,15	7,42	1,37	*0.52	*0.68	1,29	*0.32	35,32	00R <	*0.29	42,81	81,93	*0.26	1,15	223,61	00R >	130,72	00R >	00R >	35,74	240,43	59.81	7,36	*0.28	13,15	2,66	2,97	4,65	*0.16	35,7	OOR >	1.89	22,27	2,98	00R >	268,45	1,02
*	ш	Μ	W	٤	Μ	*	»	ш	۳	٤	>	ш	Μ	*	W	Μ	*	*	n.b.	ш	٤	Μ	W	٤	n.b.	n.b.	*	≥	ε :	≥ €	E E	>	8	W	*	*	≽	> -	n.b.	> >	* *	>	٤	٤	٤	*
65	99	22	7.1	28	09	72	22	09	51	22	52	22	64	28	62	62	63	47	20	45	28	53	64	48	49	29	61	61	90	20 02	51	99	46	46	54	46	62	70	53	48	55	52	72	62	63	54
99	28	20	71	29	61	75	22	69	51	29	53	29	64	63	62	63	63	47	20	45	28	23	64	48	49	29	61	61	9 5	ဂ္ဂ	51	89	46	46	54	46	62	2 2	23	49	55	52	72	62	63	54
4367	4554	4761	4718	4822	4835	4879	4883	4893	5104	5393	5313	5400	5409	5430	2202	5735	5758	4468	4482	4546	4547	4570	4596	4649	4813	4821	4837	4838	4883	4930	4949	4976	4987	5014	5029	5047	5085	5143	5264	5519	5398	2002	5630	5643	5672	5683
193	194	196	195	197	198	199	200	201	202	204	203	205	206	207	208	209	210	211	212	213	214	215	216	217	218	219	220	221	777	222	225	226	227	228	229	230	231	232	233	234	235	237	238	239	240	241

***Value not available / --- = Designated as an outlier

"Value extrapolated beyond standard range

OOR = Out of Range / OOR> = Out of Range Below

Exp Conc = Expected Concentration / Obs Conc = Observed Concentration

Ratio = Member/Reference

Danksagung

Mein besonderer und herzlicher Dank gilt *Prof. Dr. Bernhard O. Böhm*, Schwerpunktleiter Endokrinologie, Diabetes und Stoffwechsel der Universitätsklinik Ulm für die Bereitstellung des interessanten Themas und für die sehr hilfreiche und äußerst vielfältige Unterstützung während meiner Dissertation.

Ebenfalls einen besonderen Dank spreche ich *Prof. Dr. R. Holl*, Abteilung Epidemiologie, Universität Ulm aus, der eine sehr große Hilfe bei der Datenanalyse war und so nett war, einen Teil seines erstaunlichen und umfangreichen analytischen Wissens mit mir zu teilen. Auch danke ich recht herzlich für die Möglichkeit der Verwendung der Seren des ADBW.

Diese Arbeit wäre nicht entstanden ohne die große Hilfe von *Dr. Silke Rosinger*. Sie hat mir durch ihren fachlichen Rat und ihre konstruktive Kritik bei der Ausarbeitung und Formulierung der Arbeit geholfen. Ihre Unterstützung war unerlässlich bei der Durchführung meiner Experimente, vor allem dem Zytokin-Assay.

Weiterhin gilt mein Dank dem *Graduiertenkolleg "Molecular Diabetology and Endocrinology in Medicine"* für die wissenschaftliche Weiterbildung und finanzielle Förderung.

Für stets hilfreiche Ratschläge und organisatorische Unterstützung möchte ich Tina Locher einen großen Dank aussprechen.

Auch allen *Mitarbeitern und Doktoranden* der Arbeitsgruppe von Prof. Dr. B. O. Böhm, wie auch Silvia Höpfer, gilt mein Dank für die großzügige Unterstützung, für Tipps, Kniffe und aufmunternde Worte bei der praktischen Arbeit.

Den *Mitgliedern und Stipendiaten des Graduiertenkollegs* danke ich für ihre hilfreichen Ratschläge und die netten Abende, die wir zusammen erleben durften und die ich nie vergessen werde.

Für jegliche Hilfestellung, wie gute Ratschläge und Gespräche, möchte ich all meinen *Freunden und Studienkollegen* sehr danken.

Zuletzt gilt mein größter Dank meiner Familie, allen voran meinen *Eltern* und meiner *Schwester Verena*. Sie haben mich in guten und in schlechten Tagen immer sehr liebevoll unterstützt.

Lebenslauf

Name: Christiane Michaela Heinrich

Geburtsdatum: 06.04.1982

Geburtsort: Landsberg am Lech

Schulbildung: 1988 - 1992 Weststadt-Schule Landsberg a. Lech

1992 - 2002 Ignaz-Kögler-Gymnasium Landsberg a. Lech

♦ Abitur 2002

Studium: Seit Okt. 2002 Studium der Humanmedizin Universität Ulm

♦ Physikum Herbst 2004

Seit Aug. 2007 Praktisches Jahr

• 1.Tertial: Chirurgie

Klinik für Viszerale und Transplantationschirurgie

Inselspital Bern, Schweiz

2. Tertial: Radiologie
Klinikum Kempten-Oberallgäu

Famulaturen: • Innere Medizin

Klinikum Landsberg am Lech

Chirurgie

Franziskus-Krankenhaus

Akademisches Lehrkrankenhaus der Charité Berlin

 Praxis für Innere Medizin Endokrinologikum Ulm

Sonographische Ambulanz

Universitätsklinik Ulm

Emergency Medicine

Beth Iseal Medical Center, New York, USA

Landsberg am Lech, den 13.02.2008